

Vysoká škola strojní a textilná v Liberci
nositeľka Radu práce

Fakulta textilná
Obor 31-12-8

Technológia textilu a odievania

zameranie
textilné materiály a pradenie

Katedra pradiarstva a ekonomiky

MERANIE VNÚTORNÝCH TLAKOV V KONCOVOM NÁVINE

KPE PR - 110

Libuša I b e h e j o v á

Vedúci diplomovej práce: s. Doc., Ing. Peter Ursíny, CSc.
VŠST Liberec

Konzultant : s. Doc. Ing. Peter Ursíny, CSc.
VŠST Liberec

Rozsah prác a príloh:

Počet strán : 82

Počet príloh : 5

Počet tabuliek: 22

Počet obrázkov: 24

Liberec, máj 1985

Vysoká škola: Vysoká škola strojní
a textilní v Liberci

Katedra: přádelnictví a ekonomiky

Fakulta: textilní

Školní rok: 1984/85

ZADÁNÍ DIPLOMOVÉ PRÁCE

(PROJEKTU, UMĚLECKÉHO DÍLA, UMĚLECKÉHO VÝKONU)

pro Libuši I b e h e j o v o u
obor 31-12-8 technologie textilu a oděvnictví

Vedoucí katedry Vám ve smyslu nařízení vlády ČSSR č. 90/1980 Sb., o státních závěrečných zkouškách a státních rigorózních zkouškách, určuje tuto diplomovou práci:

Název tématu: Měření vnitřních tlaků v koncovém návinu

Zásady pro vypracování:

- 1) Prostudujte teorii vnitřních tlaků v návinech s křížovým vinutím.
- 2) Na výběru cívek ze stroje BD 300 provedte zkušební měření vnitřního radiálního tlaku na vymezené vrstvě návinu.
- 3) Provedte měření pevnosti a tažnosti příze z vrstvy, kde bylo provedeno měření vnitřního radiálního tlaku a z vrstvy, kde nebyl měřen vnitřní tlak.
- 4) Statisticky vyhodnotěte rozdíly u obou měření jak pro pevnost, tak pro tažnost a formulujte závěr o vlivu měřící techniky na zmíněné užitné vlastnosti příze. Zároveň prověřte experimentálně rozložení radiálního tlaku a porovnejte s teorií.

VYSOKÁ ŠKOLA STROJNÍ A TEXTILNÍ
Ústřední knihovna
LIBEREC 1, STUDENTSKÁ 6
PSČ 461 17

V 69 / 857

OBSAH

1. PREDHOVOR
2. ÚVOD
3. SÚČASNÝ STAV DOPRIADACÍCH STROJOV VO SVETE
4. CIEĽ PRÁCE
5. VLASTNÉ RIEŠENIE *11*
- 5.1. Použitý materiál
6. TEÓRIA VNÚTORNÝCH TLAKOV V NÁVINOCHE S KRÍŽOVÝM VINUTÍM
A PREDPOKLADY K TEORETICKÉMU RIEŠENIU *12*
- 6.1. Postup teoretického riešenia
- 6.2. Zistenie priebehu navíjacieho napäťia $q(r)$ v návine
- 6.2.1. Konštantné navíjacie napätie
- 6.2.2. Faktory, ktoré ovplyvňujú priebeh napäťia cievok
7. SKÚŠOBNÉ MERANIE VNÚTORNÉHO RADIÁLNEHO TLAKU NA VYMEDZENEJ VRSTVE NÁVINU DANÝCH CIEVOK ZO STROJA BD - 200 *2*
- 7.1. Prístroj E-KVÚ
8. MERANIE PEVNOSTI A ŤAŽNOSTI PRIADZE *24*
- 8.1. Multimat FY-36
- 8.2. Meranie pevnosti a ťažnosti priadze z cievky kde nebolo prevedené vpichovanie prístrojom E-KVÚ
- 8.3. Meranie pevnosti a ťažnosti priadze z cievky, kde bolo prevedené vpichovanie prístrojom E-KVÚ
9. ŠTATISTICKÉ VYHODNOTENIE ROZDIELOV V MERANÍ PRE
PEVNOSŤ a ŤAŽNOSŤ *30*
- 9.1. Posúdenie významnosti rozdielov dvoch rozptylov
- 9.2. Posúdenie významnosti rozdielov dvoch aritmetických priemerov
- 9.3. Vlastné vyhodnotenie
- 9.4. Záver o vplyve meracej techniky na úžitkové vlastnosti priadze
10. EXPERIMENTÁLNE PREVERENIE ROZLOŽENIA RADIÁLNEHO TLAKU
A POROVNANIE S TEÓRIOU *38*
- 10.1. Cejchovanie prístroja E-KVÚ
- 10.2. Meranie radiálneho tlaku

- 10.2.1. Výsledky a zhodnotenie merania radiálneho tlaku vo valcovej cievke
- 10.3. Miera anizotropie valcového križového návinu
- 10.3.1. Porovnanie priebehu nameraného radiálneho napäťa s teoretickými hodnotami
- 10.3.1.1. Hodnoty potrebné k porovnaniu priebehu nameraného radiálneho napäťa s teoretickými hodnotami
- 10.3.1.2. Zhodnotenie porovnania priebehu nameraného napäťa σ_r^* s teoretickým napäťom
- 10.3.2. Stanovenie miery anizotropie z hodnôt modulu pružnosti
- 10.3.2.1. Teória zistenia modulu pružnosti návinu v radiálnom smere E_r
- 10.3.2.1.1. Meranie modulu pružnosti v radiálnom smere vo valcovej cievke s križovým vinutím
- 10.3.2.1.2. Spracovanie nameraných hodnôt
- 10.3.2.1.3. Zhodnotenie merania modulu pružnosti E_r
- 10.3.2.2. Zistovanie modulu pružnosti v obvodovom smere E_t
- 10.3.2.2.1. Stanovenie E_t pomocou ľahovej skúšky
- 10.3.2.3. Výpočet miery anizotropie
- 10.3.3. Zhodnotenie metód určovania miery anizotropie
- 11. ZÁVER

ZOZNAM SKRATIEK A SYMBOLOV

POUŽITÁ LITERATÚRA

ZOZNAM PRÍLOH

1. PREDHOVOR

Ďalší rozvoj nášho národného hospodárstva a tým i trvalý rast životnej úrovne, uspokojovanie potrieb vnútorného trhu je podmienený rastom spoločenskej produktivity práce. Zvýšenie produktivity možno dosiahnuť rekonštrukciou a modernizáciou stavajúcich kapacít. To vyžaduje sústrediť výskumné kapacity na rozhodujúce kapacity vedecko-technického rozvoja, dôslednejšie využívanie možnosti integrácie socialistickej vedy a uplatňovať nové, efektívnejšie formy uvádzania vedeckých výsledkov do spoločenskej praxe.

Ako vytýčil ciele a úlohy XVI. zjazd KSČ vo sfére hospodárskej politiky, ktorá má pre výstavbu rozvinutej socialistickej spoločnosti rozhodujúci význam, ide predovšetkým o plné využitie stavajúcich kapacít a výrobu v pradiarňach zvyšovaním zavádzania novej techniky.

Československo je zemou s vyspelým textilným priemyslom. Ak si chce toto postavenie udržať, musí brať na zretel stavačí vývoj textilného priemyslu na celom svete, zvlášť potom na zeme, ktorých textilný priemysel má vysokú úroveň.

S ohľadom na súčasný stav a očakávaný vývoj výroby pradiarskych produktov sa ukazujú zaujímavé oblasti a široké možnosti použitia výkonnej, modernej pradiarskej techniky. Súčasný vývoj pradiarskej techniky, hlavne usek dopriadania, ide skôr cestou dôsledného prepracovania známych princípov zamieraných na najvyššie využitie všetkých technických a obchodných možností, než cestou realizácie prevratných noviniek. Trvanie tohto zásadného trendu rozvoja dopriadacích strojov je možno očakávať až do roku 2000.

Súčasné obdobie vedecko-technického rozvoja má i konkrétnu podobu na úseku pradiarskej technológie. Vývoj pradiarstva ako vednej disciplíny možno charakterizovať na časovom období podstatne kratšom, v porovnaní s celkovým vývojom oboru. V pris-

tupe k riešeniu otázok pradiarskej technológie prevažoval prístup rýdzo empirický. Vedome uplatnenie vedeckých poznatkov prírodných vied pri riešení technologických pradiarskych problémov bolo mizivé.

Ďalší pokrok v tomto obore v období vedecko-technickej revolúcie nie je mysliteľný bez vedeckých prístupov k riešeniu problematiky. Sú budované základy teórie pradenia s cieľom fyzikálne objaviť zákonitosti pradiarskych procesov za účelom ich vedomého riadenia a zdokonalovania.

Súčasnosť prináša doslova záplavu vedeckých poznatkov a informácií. Vedecký prístup riešenia problematiky sa stal zákonitostou a podmienkou pokroku pradiarskej technológie. Využívanie poznatkov základných prírodovedeckých disciplín, modernej prístrojovej techniky a racionálnych vyhodnocovacích spôsobov sú podmienkou.

Praktické riešenie vedeckej problematiky je v súčasnosti možné využívať výsledky vedeckej práce v oblastiach rôznych prácoví činností výroby, v ktorých sa využívajú moderné technické výrobky.

Klasické riešenie vedeckej problematiky je v súčasnosti možné využívať výsledky vedeckej práce v oblastiach rôznych prácoví činností výroby, v ktorých sa využívajú moderné technické výrobky.

Moderné riešenie vedeckej problematiky je v súčasnosti možné využívať výsledky vedeckej práce v oblastiach rôznych prácoví činností výroby, v ktorých sa využívajú moderné technické výrobky.

2. ÚVOD

Počiatky vzniku výroby priadze spadajú do ďalekej minulosti, výroba textílií je najstaršia výrobná činnosť ľudstva. Dlhé historické obdobie prinieslo postupne radu zdokonalení pri výrobe priadze. Veľký rozvoj textilného obooru nastáva v počiatkoch priemyselnej revolúcie v 18. storočí. Vznikajú strojové zariadenia pre spracovanie vlákenných surovín a spriadenie priadzí. Pradiarne vznikajú ako priemyselné závody, hlavne pre spracovanie bavlny. Ďalšie obdobie je potom charakterizované snahou o technické zdokonaľovanie strojného zariadenia, pri súčasnom hľadaní nových princípov hlavne na úseku dopriadania.

V československom národnom hospodárstve je textilný priemysel jedným z tradičných odvetví. Rozsah výroby, jej rast a rozvíjajúca sa štruktúra zodpovedá náročnej potrebe obyvateľstva. Svojimi kvalitnými výrobkami sa zároveň v nemalej miere uplatňuje na zahraničnom trhu.

Klúčovým odvetvím textilného priemyslu sú pradiarne. Na ich výrobnosti závisí objem a plynulosť výroby všetkých ostatných oborov textilnej výroby, ktoré sa zaobrajú spracovaním priadzí na textilné výrobky.

Dôležitým procesom a aj jedným z posledným operácií pri výrobe dĺžkových textílií je navíjanie. Hlavným faktorom, ktorý ovplyvňuje vnútornú napäťosť návinu je navíjacie napätie. Má vplyv i na celkovú stavbu tvaru návinu a na vznik niektorých nežiadúcich deformácií cievky. Kvalita návinu a tlakové pomery vo vnútri návinu majú vplyv na spracovanie cievky v ďalších operáciach ako napríklad skanie, snovanie, tkanie, ale zvlášť u cievok určených k farbeniu. Úlohou je dosiahnuť takého návinu, v ktorom by boli tlakové pomery v požadovaných medziach na celom polomere cievky. Je to možné dosiahnuť vhodne sa meniacim navíjacím napätim, v priebehu navíjania. Udržovaním tlaku v radiálnom smere cievky v požadovaných medziach odstránime záporné vplyvy pôsobiace na vlastnosti navinutej priadze a zlepší sa tvar celkového telesa návinu.

Goničosť?

3. SÚČASNÝ STAV DOPRIADACÍCH STROJOV VO SVETE

Medzinárodné výstavy textilných strojov ITMA sú priležitosťou k zhromažďovaniu poznatkov a podkladov o hlavných smeroch vývoja textilného strojárenstva. Od roku 1967 bol po prvýkrát vystavený československý rotorový stroj BD 200. Nasledujúce výstavy potom dokumentovali prudký rozvoj techniky rotorového pradenia. V súčasnej dobe hovoríme o rotorových strojoch vyšej generácie so zvýšenými technologickými parametrami.

Na poslednej výstave ITMA 83, ktorá bola v Miláne sa Československo predstavilo s dvoma bezvretenovými rotorovými strojmi rady A. Jedná sa o stroje BD A-10 a BD A-11. Stroj BD A-11 od stroja BD A-10 sa líši aplikáciou automatu pre smekanie a zapriadanie usporiadanej do jedného bloku, vyvinutého v spolupráci s talianskou firmou Savio.

Svojimi textilno-tehnickými parametrami, automatizáciou a riešením riadenia sa obidva československé stroje zaraďujú medzi stroje, udávajúce trend vývoja rotorového pradenia.

4. CIEĽ PRÁCE

Cieľom tejto diplomovej práce je meranie vnútorných tlakov v koncovom návine a overenie vplyvu prístroja E-KVÚ na úžitkové vlastnosti (pevnosť a ľažnosť) priadze v koncovom návine s križovým vinutím. Ďalej previesť experimentálne rozloženie radiálneho tlaku a porovnať s teóriou.

5. VLASTNÉ RIEŠENIE

Vlastné riešenie pozostáva z teoretickej časti, v ktorej sa zameriavam na vysvetlenie vnútorných tlakov v návinoch s križovým vinutím.

Experimentálna časť práce pojednáva o meracej technike a jej vplyve na priadzu v cievke s križovým vynutím, ďalej o meracej metóde radiálneho tlaku a taktiež sledujem mieru anizotropie priadzového telesa od dutinky k povrchu návinu.

5. 1. Použitý materiál

K vlastnému meraniu som používala valcové cievky s križovým vinutím zo stroja BD 200 M-69 s použitou menou navijania MN = 108 zubov. Použitá priadza bola zo 100 % bavlny o jemnosti T = 29,79 tex. Jemnosť priadze som zistila metódou váženia sto metrových úsekov z každej cievky. Jednotlivé hodnoty hmotnosti týchto úsekov ako aj výsledná hodnota jemnosti priadze sú uvedené v tabuľke č. 1.

Jemnosť priadze som stanovila z hodnôt z tabuľky č. 1 podľa vzťahu

$$T = \frac{\bar{m}}{l} \cdot 10^3 \quad [\text{tex}] \quad (1)$$

kde \bar{m} ... je priemerná hmotnosť stometrového úseku u priadze [g]
l ... dĺžka váženého úseku priadze [m]

a \bar{m} som vypočítala zo vzťahu:

$$\bar{m} = \frac{1}{n} \cdot \sum_{i=1}^n m_i \quad [g] \quad (2)$$

pričom m_i ... hmotnosť i-tého úseku $[g]$
 n ... počet úsekov $[1]$

Tab. 1: Výpočet jemnosti priadze

cievka	m_i [g]		\bar{m} [g]	T [tex]
	m_1	m_2		
1	2,9840	2,9949		
2	2,8925	2,9337		
3	2,9599	2,9413		
4	3,0697	3,0433		
5	3,0616	3,0652	2,9793	29,79
6	2,9264	2,9201		
7	2,8780	2,9235		
8	3,0403	3,0442		
9	2,9736	2,9739		
10	2,9926	2,9721		

6. TEÓRIA VNÚTORNÝCH TLAKOV V NÁVINOCH S KRÍŽOVÝM VINUTÍM A PREDPOKLADY K TEORETICKÉMU RIEŠENIU

Priadzové teleso / návinu v súvislosti s jeho mechanickou štruktúrou sa chápe jednak ako útvar charakterizovaný priamo hustotou ovinov a vrstiev, jednak ako hmotné kontineum.

Pre odvodenie priebehu napäťia je návin považovaný ako hrubostenný anizotropný valcový obal, majúci nelineárne vlastnosti závislosti na jeho polomere po radiálnom a obvodovom smere. Riešenie sa opiera o vzťahy platné pre valcové, pružné teleso podľa práce [2].

6. 1. Postup teoretického riešenia

Teoretické riešenie vychádza zo vzťahov:

hore? vzd

$$\zeta_r = \frac{\frac{pr_1}{2k} - \frac{qv^r_2}{2k}}{r_2 - r_1} r^{k-1} + \frac{\frac{qv^r_1}{2k} - \frac{pr_2}{2k}}{r_2 - r_1} r^{k-1} r_1^{-k+1} r_2^{-k+1} r^{-k-1} \quad (3)$$

$$\zeta_t = \frac{\frac{pr_1}{2k} - \frac{qv^r_2}{2k}}{r_2 - r_1} kr^{k-1} - \frac{\frac{qv^r_1}{2k} - \frac{pr_2}{2k}}{r_2 - r_1} kr_1^{-k+1} r_2^{-k+1} r^{-k-1} \quad (4)$$

$$\text{kde } k = \sqrt{\frac{E_r}{t}} \quad (5)$$

k ... miera anizotropie priadzového telesa návinu,
obecne

p ... je vnútorný tlak dutinky [MPa]

q_v ... vonkajší prítlak [MPa]

r_1 ... vnútorný polomer cievky [mm]

r_2 ... vonkajší polomer cievky [mm]

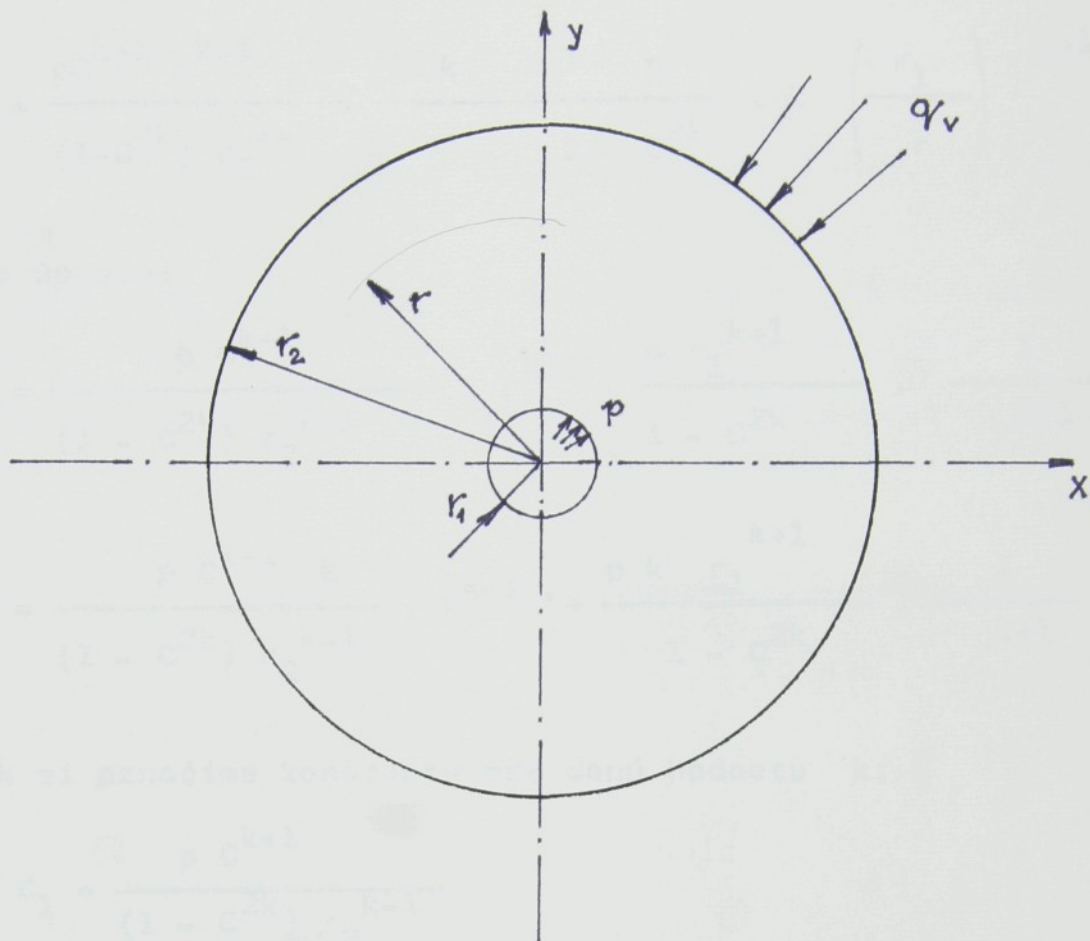
r ... obecný polomer návinu, pre ktorý platí podmienka

$r_1 \leq r \leq r_2$ [mm]

$\zeta_r, \zeta_t, E_r, E_t, p, q_v, k$... sú spojité v intervale

$\langle r_1, r_2 \rangle$ čo je znázornené na obrázku 1.

- relietky užom súčinného 'popisané'



Obr. 1: Schéma zaťaženia telesa s valcovou anizotropiou.

Stav napäťosti návinu sa sleduje v tvare zodpovedajúcim podmienkam merania, t. j. bez príavného vonkajšieho prítlaču. Pri úvahе nulového vonkajšieho zaťaženia $q_v = 0$, a použitím

$$c = \frac{r_1}{r_2}$$

dostaneme:

$$\sigma_r = \frac{p c^{k+1}}{1 - c^{2k}} \cdot \left(\frac{r}{r_2} \right)^{k-1} - \frac{p}{1 - c^{2k}} \cdot \left(\frac{r_1}{r} \right)^{k+1} \quad (6)$$

$$\zeta_t = \frac{pc^{k+1} r^{k-1}}{(1-c^{2k}) r_2^{k-1}} \cdot \frac{k}{1} + \frac{p}{1-c^{2k}} \cdot k \left(\frac{r_1}{r} \right)^{k+1} \quad (7)$$

po úprave:

$$\zeta_r = \frac{p c^{k+1}}{(1 - c^{2k}) r_2^{k-1}} \cdot r^{k-1} - \frac{p r_1^{k+1}}{1 - c^{2k}} \cdot \frac{1}{r^{k+1}} \quad (8)$$

$$\zeta_t = \frac{p c^{k+1} k}{(1 - c^{2k}) r_2^{k-1}} \cdot r^{k-1} + \frac{p k r_1^{k+1}}{1 - c^{2k}} \cdot \frac{1}{r^{k+1}} \quad (9)$$

Ak si označíme konštanty pre danú hodnotu k :

$$c_1 = \frac{p c^{k+1}}{(1 - c^{2k}) r_2^{k-1}} \quad (10)$$

$$c_2 = \frac{p r_1^{k+1}}{1 - c^{2k}} \quad (11)$$

Potom vzťahy (3) a (4) nadobúdajú tvar:

$$\zeta_r = c_1 r^{k-1} - c_2 \frac{1}{r^{k+1}} \quad (12)$$

$$\zeta_t = c_1 k r^{k-1} + c_2 k \frac{1}{r^{k+1}} \quad (13)$$

Vzťahy (12) a (13) sú východiskové vzťahy pre priebehy ζ_r a ζ_t

pre valcové teleso návinu, charakterizované valcovou anizotropiou.

Určenie konštant C_1 a C_2 vychádza z dvoch okrajových podmienok.

1. podmienka je deformáčná. Predpokladáme, že deformácia dutinky je nulová a zároveň uvažujeme axiálne napätie $\sigma_a = 0$.

Pre pomerné predĺženie v obvodovom smere platí známy vzťah

$$\varepsilon_t = \frac{u}{r} \quad (14)$$

kde u ... absolútny radiálny posuv priadze na polomere r [mm]

Rovnica vyjadrujúca obecný Hookov zákon aplikovaný na prípad anizotropného telesa má tvar:

$$\varepsilon_t = -\frac{\mu_{rt}}{E_r} \cdot \sigma_r + \frac{\sigma_t}{E_t} \quad (15)$$

kde μ_{rt} ... Poissonovo číslo charakterizujúce preťaženie telesa návinu v obvodovom smere pri stlačení v radiálnom smere na polomere r .

Na polomere r_1 bude platiť:

$$\varepsilon_t = -\frac{\mu_{rt}}{E_r} \cdot \sigma_r + \frac{\sigma_t}{E_t} = 0 \quad (16)$$

Ak dosadíme vzťahy (12) a (13) do vzťahu (16) potom platí:

$$\frac{1}{E_t} (C_1 k r^{k-1} + k C_2 \frac{1}{r^{k+1}}) - \frac{\mu_{rt}}{E_r} (C_1 r^{k-1} - C_2 \frac{1}{r^{k+1}}) = 0 \quad (17)$$

Po úprave odvodíme vzťah medzi konštantami C_1 a C_2

$$c_1 = \frac{c_2}{r_1^{2k}} \cdot \frac{\frac{k}{E_t} + \frac{\mu_{rt}}{E_r}}{\frac{k}{E_t} - \frac{\mu_{rt}}{E_r}} \quad (18)$$

Po zjednodušení

$$c_1 = -\frac{c_2}{r_1^{2k}} \cdot \frac{1 + k \mu_{rt}}{1 - k \mu_{rt}} \quad (19)$$

Zavedieme si konštantu A^2

$$A^2 = r_1^{2k} \cdot \frac{1 - k \mu_{rt}}{1 + k \mu_{rt}} \quad (20)$$

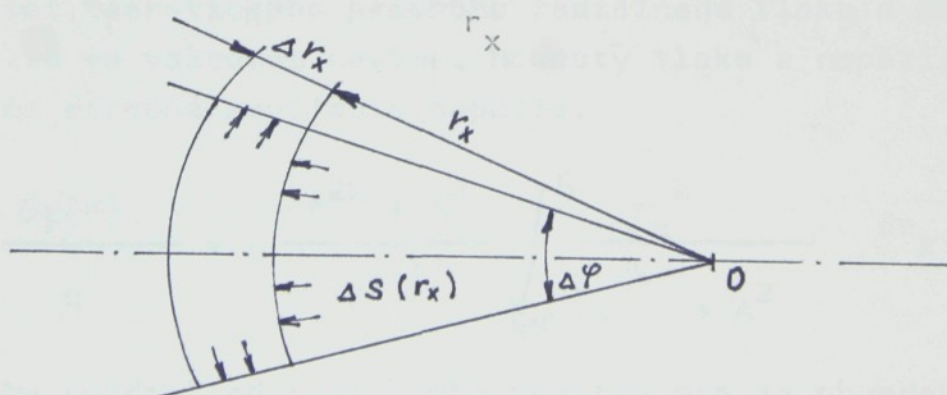
a potom dostávame

$$c_1 = -\frac{c_2}{A^2} \quad (21)$$

2. podmienka vychádza zo špecifíky vlastného procesu návinu.

Predpokladáme, že na okamžitom polomere r_x pôsobí napätie pri navíjaní $q(r_x)$, ktoré vyvodzuje elementárny radiálny tlak

$$\Delta s(r_x) = q(r_x) \cdot \frac{\Delta r_x}{r_x} \quad \text{ako znázorňuje obrázok 2.}$$



Obr. 2: Schéma zatiazenia elementárneho hranolku v návime

- r_x ... okamžitá hodnota polomeru, na ktorom sa navíja priadza
 leží v intervale $r \leq r_x \leq r_2$ [mm]
 Δr_x ... elementárna hrúbka, ktorou sa mení polomer r_x [mm]
 $q(r_x)$... navíjacie napätie v ďalších prídavných vrstvách pria-
 dze [MPa]
 $q(r)$... navíjacie napätie pri navijaní na polomere r [MPa]
 $q(r_x)$ a $q(r)$ sú spojité v intervale $\langle r_1, r_2 \rangle$ a $\langle r, r_2 \rangle$

Vlastná 2. podmienka znie:

Ak $r = r_x$, potom platí:

$$\sigma_r(r) = - \Delta s(r_x)$$

Dosadením výrazu pre konštantu C_1 podľa vzťahu (21) do vzťahov (12) a (13) získame výsledné vyjadrenie pre konštanty C_1 a C_2 .

$$C_1 = \frac{r_x^k \cdot q(r_x)}{r_x^{2k} + A^2} \cdot \Delta r_x \quad (22)$$

$$C_2 = \frac{r_x^k \cdot A^2 \cdot q(r_x)}{r_x^{2k} + A^2} \cdot \Delta r_x \quad (23)$$

Dosadením vzťahov (22) a (23) do vzťahov (12) a (13) a za pred-
 pokladu $q(r_x) = q = \text{konečná}$ dostávame konečné vzťahy pre výpo-
 čet teoretického priebehu radiálneho tlaku a obvodového napä-
 tia vo valcovom návine. Hodnoty tlaku a napäcia sú vzťahnuté
 na stredné navíjacie napätie.

$$\frac{\sigma_F(r)}{q} = - \frac{r^{2k} + A^2}{r^{k+1}} \int_{r_x=r}^{r_2} \frac{r_x^k}{r_x^{2k} + A^2} dr_x \quad (24)$$

Na rozdiel od radiálneho napäcia nie je obvodové napätie na

vonkajšom polomere nulové, ale je rovné navíjacemu napätiu

$$\zeta_t(r_2) = q(r_2)$$

$$\frac{\zeta_t(r)}{q} = 1 - \frac{r^{2k} - A^2}{r^{k+1}} \int_{r_x=r}^{r_2} \frac{r_x^k}{r_x^{2k} + A^2} \cdot dr_x \quad (25)$$

Vzťahy (24) a (25) pre ich zložitosť a za predpokladu, že uvažujeme valcový návin ako anizotropné teleso, možno riešiť približnou numerickou metódou - Simpsonovou metódou numerického integrovania podľa publikácie [4]. Výsledky spracujeme na počítači. Získané hodnoty $\zeta_r(r)$ $\zeta_t(r)$

$$\frac{\zeta_r}{q} \quad a \quad \frac{\zeta_t}{q}$$

sú pomerné hodnoty tlaku a napäťia vo vnútri návinu a pomôžu nám k stanoveniu konečných priebehov vo vnútri návinu.

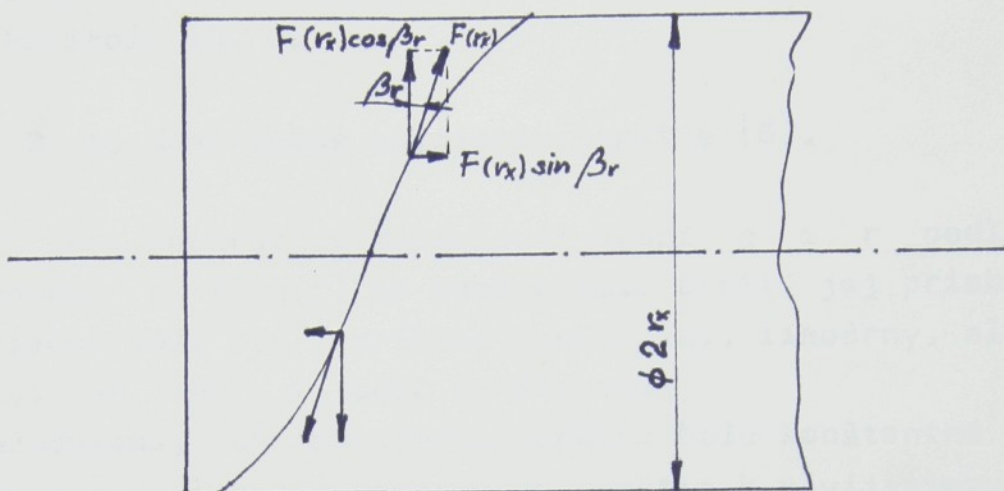
V prílohe, 1. sú uvedené hodnoty k , $\frac{\zeta_r}{q}$ a $\frac{\zeta_t}{q}$

na daných polomeroch cievky, ktoré budem zrovnávať s hodnotami radiálneho tlaku.

6. 2. Zistenie priebehu navíjacieho napäťia $q(r)$ v návine [1].

Pri procese pradenia je priadza jednotlivých zón namáhaná určitou osovou silou, ktorá sa mení po dĺžke odťahovej cesty. Z napínacej sily pri navíjani odvodzujeme navíjacie napätie, na ktorom je bezprostredne závislá tvrdosť cievky.

Ak uvažujeme uhol stúpania krivky navijanej nite β_r a napínaci silu pri navíjani $F(r_x)$, potom strednú hodnotu napäťia pri navíjani $q(r_x)$ na okamžitom vonkajšom polomere r_x a v smere kolmom k ose cievky si môžeme znázorniť na obrázku 3.



Obr. 3: Schéma rozkladu napínacej sily pri navíjaní

Z tohto obrázku potom plynie rovnica pre navíjacie napätie

$$q(r_x) = \frac{F(r_x) \cdot \cos^2 \beta_r}{S} \quad \text{fotl} \quad \frac{F(r_x) \cdot \cos \beta_r}{S / \cos \beta_r} \quad (26)$$

kde $F(r_x)$... napínacia sila pri navíjaní [N]

β_r ... uhol stúpania krivky navíjanej nite [$^\circ$]

S ... plocha priečného rezu nite [mm^2]

Navíjacie napätie $q(r_x)$ je možno určiť niekoľkými metódami:

1. Osová sila vypočítaná podľa schémy odťahových ciest.
2. Čahová sila F , ktorá sa meria prístrojom Kovostav.
3. Modul E_p priadze vypočitaný z pracovnej krivky "zaťaženie - predĺženie" na trhacom stroji.
4. Hodnota napäťia q^t , ktorá pretrváva v cievke po dobu jej tvorby.

Pre túto prácu bližšie uvádzam metódu 4., ktorá je popísaná v kapitole 10. 3.

6. 2. 1. Konštantné navíjacie napätie [5].

Pri konkrétnej závislosti medzi q a r podľa určitej funkcie $q = q(r)$ sa musí riadiť určitý jej priebeh. Tento priebeh môže byť napríklad konštantný, lineárny, alebo premenlivý tak, aby σ_t bolo konštantné.

Požadujeme, aby navíjacie napätie bolo konštantné $q(r_x) = q$. Pomer radiálneho a obvodového napäťia k navíjaciemu napätiu je:

$$\frac{\sigma_r(r)}{q} = - \frac{A^2 + r^{2k}}{r^{k+1}} \int_{r_x=r}^{r_2} \frac{r_x^k}{r_x^{2k} + A^2} \cdot dr_x \quad (27)$$

$$\frac{\sigma_t(r)}{q} = 1 + \frac{A^2 - r^{2k}}{r^{k+1}} k \int_{r_x=r}^{r_2} \frac{r_x^k}{r_x^{2k} + A^2} \cdot dr_x \quad (28)$$

kde

$$A^2 = r_1^{2k} \frac{1 - k \mu_{rt}}{1 + k \mu_{rt}} \quad (29)$$

Pre prípad izotropie telesa, kedy izotropné teleso má vo všetkých smeroch rovnaké pružné vlastnosti $E_t = E_r$

$$k = 1$$

získame integráciou rovnic (27) a (28):

$$\frac{\sigma_r(r)}{q} = - \frac{1}{2} \left(1 + \frac{A^2}{r^2} \right) \ln \frac{A^2 + r_2^2}{A^2 + r^2} \quad (30)$$

$$\frac{\sigma_t(r)}{q} = 1 + \frac{A^2 - r^2}{2r^2} \ln \frac{A^2 + r^2}{A^2 - r^2} \quad (31)$$

potom konštantu A^2 sa rovná:

$$A^2 = r_1^2 \frac{1 - \mu_{rt}}{1 + \mu_{rt}} \quad (32)$$

6. 2. 2. Faktory, ktoré ovplyvňujú priebeh napäťia cievok

Pri konštantnom navíjacom napäti platí zákonitosť, že čím väčšia miera anizotropie telesa návinu, tým menšia hodnota radiálneho napäťia.

V snahe o najlepšiu tvorbu cievky vystupujú do popredia dve protichodné požiadavky:

- navíjacie napätie
- tvar cievky

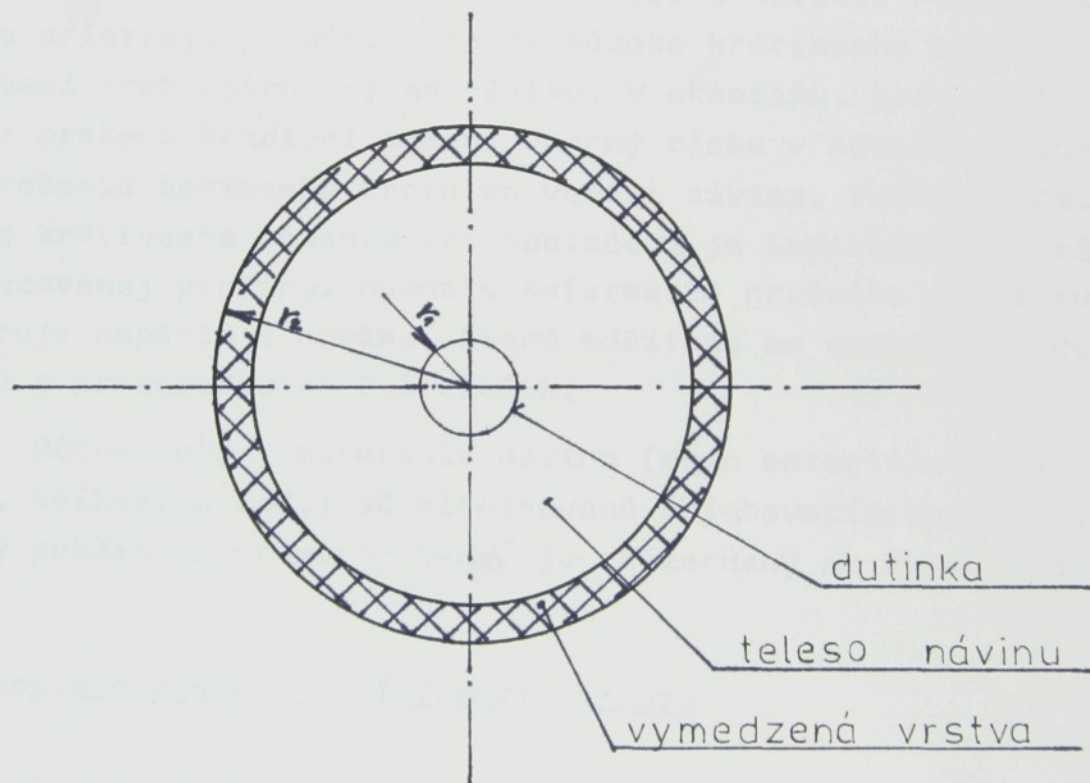
aby navinutá priadza na cievke vytvárala pevný a súdržný celok, musí sa navíjať vysokým navíjacím napäťim. Lenže priliš veľké napätie spôsobuje trvalé ľažné napätie priadze a tým i chyby pri ďalšom spracovaní. Tieto chyby sú zvlášť závažné, ak sa ľahové napätie cyklicky mení pozdĺž priadze. Navíjanie s vysokým napäťim môže zmeniť pevnosť priadze a to takým smerom, že sa zniží jej odolnosť proti mnohokrát opakovaným deformáciám na tkacom či pletiarskom stroji. Možno zdôrazniť, že deformácia navinutej priadze je ovplyvňovaná hlavne rastom plastickej deformácie a k tomu dochádza v dôsledku toho, že vo vnútri prebieha nevratné premiestňovanie vlákien, ktoré zhoršujú štruktúru priadze.

Ak má návin malú mieru anizotropie telesa k , potom čím je väčší vonkajší polomer, tým je väčšie napätie σ_r u dutinky (σ_t je menšie na dutinke). To vedie k tomu, že u dutinky cie-

vok s väčším vonkajším polomerom môžu vznikať uvolnené oviny a práve táto otázka obmedzuje možnosť zväčšovania objemu priazového telesa návinu.

7. SKÚŠOBNÉ MERANIE VNÚTORNÉHO RADIÁLNEHO TLAKU NA VYMEDZENEJ VRSTVE NÁVINU DANÝCH CIEVOK ZO STROJA BD 200

K riešeniu tohto zadania som použila 8 cievok zo stroja BD 200, ktoré som náhodne vybrala z celkového počtu 10 cievok určených pre túto prácu. Na každej z týchto 8 cievok som na vonkajšom polomere r_2 po celom obvode cievky vyhradila vrstvu navinutej priadze o šírke asi 5 - 8 mm, do ktorej som náhodile vpichovala hrotom vpichovacieho prístroja E-KVÚ.



Obr. 4: Koncový návin s vymedzenou vrstvou určenou pre vpichovanie prístroja E-KVÚ

Jednotlivé vpichy do vymedzenej vrstvy návinu som prevádzala s konštantnou hĺbkou vpichu $h_{vp} = 34 \text{ mm}$, ktorú som si predom nadstavila nadstavovacím krúžkom. Vpichovanie hrotom prístroja E-KVÚ do vymedzenej vrstvy som neprevádzala za účelom merania radiálneho tlaku, ale preto, aby som zistila, či vpichovaním meracím prístrojom E-KVÚ dôjde k zníženiu úžitkových vlastností (pevnosť, ťažnosť) priadze. Vo vymedzenej vrstve na každej z 8 cievok som previedla približne 100 - 150 vpi-

chov.

7. 1. Prístroj E-KVÚ

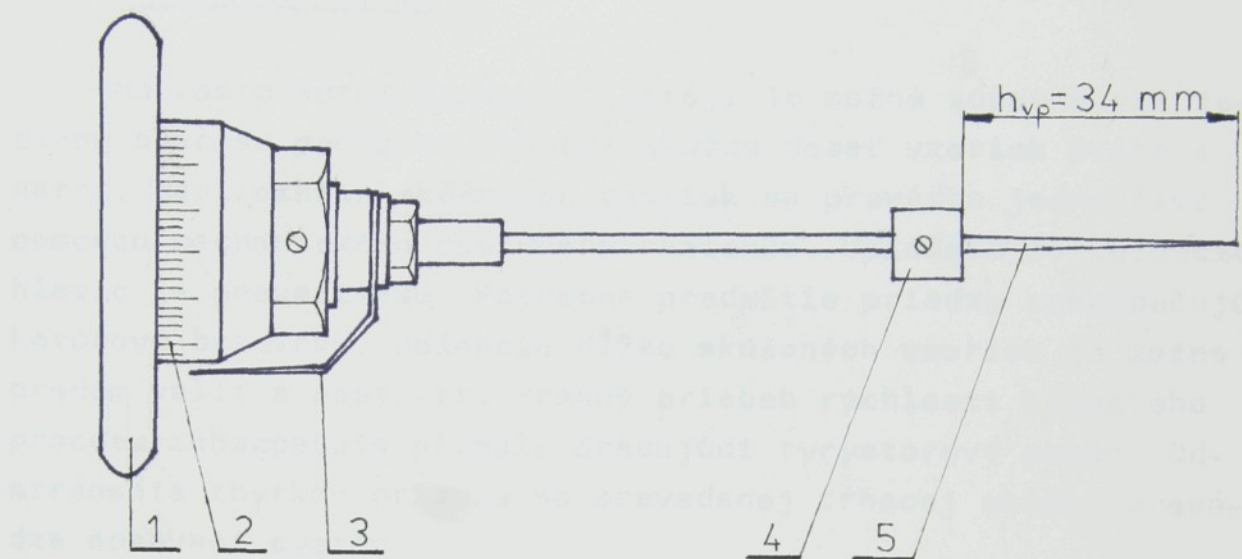
E-KVÚ je prístroj vyvinutý v ČSSR, ktorý je chránený autorským osvedčením č. 183 901 zo dňa 19. 12. 1976. Je určený k meraniu vnútornej napäťosti valcového návinu. Podstatou tohto prístroja je pôsobenie rastúceho krútiaceho momentu na meriaci hrot vpichnutý do návinu. V okamžiku, kedy tento moment prekoná brzdiaci moment úmerný tlaku v návine, dôjde k pootočeniu meracieho hrotu vo vnútri návinu. Veľkosť pôsobia ceho krútiaceho momentu pri pootočení je indikovaná natočením skrucovanej pružiny. Hodnotu deformácie pružného elementu vyjadruje napätie v návine, ktorú odčítame na stupnici v dielikoch s presnosťou na 0,1 dielik.

Rôzne vplyvy materiálu návinu (druh materiálu, preparácia, veľkosť a pod.) sú eliminované cejchovacím postupom. Celkový pohľad na prístroj E-KVÚ je znázornnený na obrázku 5.

8. MERANIE PEVNOSTI A ŤAŽNOSTI PRIADZE

K stanoveniu hodnôt úžitkových vlastností a to pevnosti a ťažnosti priadze som použila kontinuálne pracujúci desaťmiestny elektronický automatický prístroj na skúšanie tržnej pevnosti

Prístroj E-KVÚ je využívaný na výrobu súprav pre výškové práce.



Pri stroji E-KVÚ sú využívané výrobky, ktoré sú využívané na výškové práce. Sú matematicky presné a majú jednojednoznačnú skladobnosť a zároveň posúvacie schopnosti, ktoré umožňujú pravdepodobnosť a rýchlosť v určovaní výšky. V prípade, že zo skôrku výšku niektoré hodnoty určíme, môžeme s nimi využiť až do konca určovania. Tento prístroj je určený pre výškové práce, ktoré sa využívajú pri výstavbe, výrobe a prevedení výškovej súpravy. Využíva sa aj pri určovaní výšky vysokých objektov, ktoré sú vysoko nad zemou.

- 1 - otočná rukoväť
- 2 - stupnica
- 3 - ručička, ktorá indikuje mieru napäťia návinu
- 4 - nadstavovací krúžok
- 5 - kuželový hrot prístroja

Obr. 5: Prístroj E-KVÚ

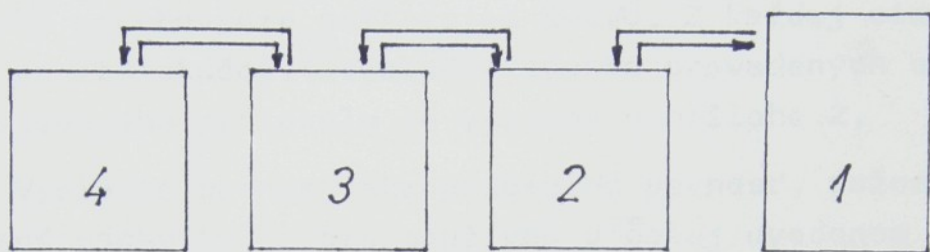
priadze Multimat typ FY-36, ktorý bol vyrobený vo Výskumnom ústave textilnom v Budapešti.

8. 1. Multimat FY-36

Na tomto automatickom prístroji je možné súčasne pri jednom procese podrobiť trhacej skúške desať vzoriek priadze naraz. Navliekanie skúšaných vzoriek sa prevádzza jednotlivo pomocou mechanického posuvného ramienka. Upínanie do upínacích hlavic je pneumatické. Potrebné predpätie priadze zabezpečujú kotúčové brzdičky. Upínaciu dĺžku skúšaných vzoriek je možno predom voliť a nastaviť. Presný priebeh rýchlosťi trhacieho procesu zabezpečuje plynule pracujúci tyristorový pohon. Odstránenie zbytkov priadze po prevedenej trhacej skúške prevádzka odsávací systém..

Podľa programu, ktorý je v počítacom stroji uložený dostáva prístroj príkazy, aby automaticky previedol predpísaný počet tržných skúšok a zároveň porovnáva skúškami získané hodnoty tržnej pevnosti a ľažnosti so stanovenými hodnotami limitnými. V prípade, že zo skúšok vyjdu niektoré hodnoty, ktoré vybočujú z prípustného limitu, počítač eviduje ich celkový počet a po prevedení všetkých skúšok, dostáva od počítača príkaz previesť ešte toľko náhradných doplňujúcich skúšok, kolko ich bolo zaregistrovaných ako nevyhovujúce hodnoty. Hodnoty tržnej pevnosti a ľažnosti vytriedené podľa jednotlivých skúšobných hlavic sú vytlačené tlačiarňou. Počítač medzi tým podľa vloženého programu vypočíta priemerné hodnoty, ich rozptyl, hodnoty variačného koeficientu a ďalšie programom predpísané matematicko-statistické hodnoty. Všetky tieto výsledky sú tiež vytlačené vo forme adresného datovaného protokolu.

Na obrázku 6 je znázornená schéma prístroja Multimat typ FY-36.



Obr. 6

1 ... Multimat - Interface, prevodník a pamäť

Siet': 220 V, 50 Hz, asi 100 VA

Rozmery: asi 550 x 550 x 320 mm

Hmotnosť netto: asi 25 kg

2 ... Multimat - analogové meracie zariadenie

Siet': 220 V, 50 Hz, asi 50 VA

Rozmery: asi 550 x 320 x 320 mm

Hmotnosť netto: asi 15 kg

3 ... Stolný počítač typ EMG - 666

Siet': 220 V, 50 Hz, asi 150 VA

Rozmery: asi 470 x 600 x 250 mm

Hmotnosť netto: asi 25 kg

4 ... Tlačiareň dat Villati - Prepamat, typ PR - 102

Siet': 220 V, 50 Hz, asi 500 VA

Rozmery: asi 1 450 x 650 x 1 050 mm

Hmotnosť netto: asi 150 kg

8. 2. Meranie pevnosti a ťažnosti priadze z vrstvy, kde neboľo prevádzané vpichovanie prístrojom E-KVÚ

Na prístroji Multimat typ FY - 36 som vyhodnotila zmienené úžitkové vlastnosti z dvoch cievok, na ktorých som neprevádzala vpichovanie prístrojom E-KVÚ. Z každej cievky som získala po 150 skúšok. Výsledky týchto prevedených skúšok vo forme datovaného protokolu sú uvedené v prílohe 2.

Výsledné hodnoty ako priemernú pevnosť, ťažnosť a ich smerodatné odchyly, ktoré používam v ďalej uvedenom štatistickom vyhodnotení som pre lepší prehľad vyňala do tabuľky 2. a 3.

Tab.: 2

		Pevnosť	
		1	2
\bar{x} [N]	2,90	2,86	
s [N]	0,48	0,51	

Tab.: 3

		Ťažnosť	
		1	2
\bar{x} [%]	7,23	7,14	
s [%]	5,47	5,13	

kde \bar{x} ... priemerná hodnota pevnosti, ľažnosti
s ... smerodatná odchýlka pevnosti, ľažnosti

8. 3. Meranie pevnosti a ľažnosti priadze z vrstvy kde bolo prevádzané vpichovanie prístrojom E-KVÚ

Meranie zmienených úžitkových vlastností priadze z vymedzenej vrstvy, kde som prevádzala vpichovanie prístrojom E-KVÚ som taktiež prevádzala na prístroji Multimat typ FY - 36. V tomto prípade som skúšky prevádzala na výbere 8 cievok, na ktorých som vymedzila vrstvu širokú 5 - 8 mm pre vpichovanie hrotom prístroja E-KVÚ. Zo všetkých 8 cievok som získala na prístroji Multimat po 150 meraní, takže celkom bolo prevedených 1 200 skúšok, z ktorých získané hodnoty vo forme datovaného protokolu sú uvedené v prílohe 3. Takého veľkého počtu skúšok som prevádzala z toho dôvodu, aby bola väčšia pravdepodobnosť pre merania úseku priadze, do ktorého bol vpichnutý hrot prístroja E-KVÚ.

Aj z týchto meraní som vyňala do tabuľky 4. a 5. výsledné hodnoty ako priemernú pevnosť, ľažnosť a ich smerodatné odchýlky.

Tab. 4

		Pevnosť							
		1	2	3	4	5	6	7	8
\bar{x} [N]		2,88	2,98	2,94	2,96	2,88	2,89	3,85	3,00
s [N]		0,54	0,75	0,61	0,48	0,65	0,52	0,73	0,50

Tab. 5

	Ťažnosť							
	1	2	3	4	5	6	7	9
\bar{x} [%]	7,21	7,24	7,20	7,23	7,16	7,26	7,56	7,51
s [%]	5,17	5,39	6,22	5,10	6,67	6,19	5,55	5,99

9. ŠTATISTICKÉ VÝHODNOTENIE ROZDIELOV U MERANÍ PRE PEVNOSŤ A ŤAŽNOSŤ [6].

Získané hodnoty ako pre pevnosť, tak pre tăžnosť z predchádzajúcej kapitoly 8. som vyhodnocovala t - testom: "Posúdenie významnosti rozdielu dvoch aritmetických priemerov". Aby som vedela, ktorú testovú charakteristiku budem musieť použiť, musela som najskôr previesť F - test: "Posúdenie významnosti rozdielov dvoch rozptylov".

9. 1. Posúdenie významnosti rozdielov dvoch rozptylov

Základnými podmienkami F - testu sú:

- dva náhodné výbery, z ktorých pre každý dostávame množinu nameraných hodnôt
- z každého náhodného výberu môžeme charakterizovať charakteristiky polohy \bar{x}_1 , \bar{x}_2 a rozptylu s_1 , s_2 .

Postup testovania:

1. Nulová hypotéza H_0 :

Rozdiel rozptylov pevnosti (ťažnosti) priadze z cievky, na ktorej som neprevádzala vpichovanie (označíme ho σ_1^2)

a z cievky, na ktorej som vpichovanie prevádzala vo vymedzenej vrstve (označím si ho σ_2^2) sú štatisticky nevýznamné.

$$\sigma_1^2 = \sigma_2^2$$

stoje!

2. Alternatívna hypotéza H_1 :

$$\sigma_1^2 \neq \sigma_2^2$$

3. Výpočet testovej charakteristiky:

max.smerodatná odchylka (s_1^2, s_2^2)

$$F = \frac{\text{max.smerodatná odchylka } (s_1^2, s_2^2)}{\text{min.smerodatná odchylka } (s_2^2, s_1^2)}$$

4. Určenie kritického oboru:

$$F > F_{\underline{\alpha}} (n_1 - 1, n_2 - 1)$$

kde F ... testová charakteristika

$F_{\underline{\alpha}}$... kritická hodnota

$\underline{\alpha}$... hladina významnosti, kde $\alpha = 0,05$

n_1, n_2 ... počet meraní, v tomto prípade sa
 $n_1 = n_2 = 150$

V prípade, že vypočítaná hodnota testovej charakteristiky F padne do kritického oboru, zamietnem nulovú hypotézu H_0 a prijímam zodpovedajúcu variantu alternatívnej hypotézy H_1 . Tri možné varianty hypotézy H_1 sú uvedené v tabuľke 6.

Tab. 6

H_0	H_1	TCH	KO
$\sigma_1^2 = \sigma_2^2$	$\sigma_1^2 > \sigma_2^2$	$F = \frac{s_1^2}{s_2^2}$	$F > F_\alpha(n_1-1, n_2-1)$
$\sigma_1^2 = \sigma_2^2$	$\sigma_1^2 < \sigma_2^2$	$F = \frac{s_2^2}{s_1^2}$	$F > F_\alpha(n_1-1, n_2-1)$
$\sigma_1^2 = \sigma_2^2$	$\sigma_1^2 \neq \sigma_2^2$	$F = \frac{\max(s_1^2, s_2^2)}{\min(s_1^2, s_2^2)}$	$F > \frac{F_\alpha}{2}(n_h-1, n_d-1)$

9. 2. Posúdenie významnosti rozdielov dvoch aritmetických priemerov

V tomto teste sú dve testové charakteristiky, ktorú z nich práve použijem, som zistila predchádzajúcim F -testom. Pretože postup testovania je obdobný, zhrniem jednotlivé varianty alternatívnej hypotézy pre obidve testové charakteristiky do tabuľky 7. a 8.

Testová charakteristika pre $\sigma_1^2 \neq \sigma_2^2$:

$$t = \frac{\bar{x}_1 - \bar{x}_2}{\sqrt{\left[\frac{s_1^2}{n_1} + \frac{s_2^2}{n_2} \right]^{1/2}}}$$

Tab. 7

$\sigma_1^2 \neq \sigma_2^2$			
H ₀	H ₁	TCH	KO
$\mu_1 = \mu_2$	$\mu_1 > \mu_2$		$t > t_{2\alpha}(v)$
$\mu_1 = \mu_2$	$\mu_1 < \mu_2$	t	$t < -t_{2\alpha}(v)$
$\mu_1 = \mu_2$	$\mu_1 \neq \mu_2$		$ t > t_\alpha(v)$

Tab. 8

$\sigma_1^2 = \sigma_2^2$			
H ₀	H ₁	TCH	KO
$\mu_1 = \mu_2$	$\mu_1 > \mu_2$		$t > t_{2\alpha}(n_1+n_2-2)$
$\mu_1 = \mu_2$	$\mu_1 < \mu_2$	t	$t < -t_{2\alpha}(n_1+n_2-2)$
$\mu_1 = \mu_2$	$\mu_1 \neq \mu_2$		$ t > t_\alpha(n_1+n_2-2)$

Testová charakteristika pre $\sigma_1^2 = \sigma_2^2$:

$$t = \frac{\bar{x}_1 - \bar{x}_2}{[s_1^2 (n_1 - 1) + s_2^2 (n_2 - 1)]^{1/2}} \left[\frac{n_1 n_2 (n_1 + n_2 - 2)}{n_1 + n_2} \right]$$

- kde μ_1 ... priemerná hodnota pevnosti (ťažnosti) priadze z cievky, kde nebolo prevedené vpichovanie prístrojom E-KVÚ
- μ_2 ... priemerná hodnota pevnosti (ťažnosti) priadze z cievky, kde bolo prevedené vpichovanie prístrojom E-KVÚ
- t ... testová charakteristika
- $t_{2\alpha}$... kritická hodnota
- α ... hladina významnosti, $\alpha = 0,05$
- n_1, n_2 ... počet meraní, v tomto prípade $n_1 = n_2 = 150$
- s_1, s_2 ... smerodatná odchylka hodnôt pevnosti (ťažnosti) z cievok, kde bolo a nebolo prevedené vpichovanie prístrojom E-KVÚ
- v ... stupeň volnosti, ktorý sa vypočíta zo vzťahu:

$$v = \frac{\left(\frac{s_1^2}{n_1} + \frac{s_2^2}{n_2} \right)^2}{\frac{\left(\frac{s_1^2}{n_1} \right)^2}{n_1 - 1} + \frac{\left(\frac{s_2^2}{n_2} \right)^2}{n_2 - 1}} \quad (33)$$

Ak príslušná výpočítaná testová charakteristika t padla do daného kritického oboru, zamietla som nulovú hypotézu a prijala zodpovedajúcu variantu alternatívnej hypotézy. Podľa prijatej varianty alternatívnej hypotézy (alebo prijatej nulovej

hypotézy) som určila aké sú úžitkové vlastnosti (pevnosť, ľažnosť) priadze z cievok, v ktorých som do vymedzenej vrstvy prevádzala vpichovanie hrotom prístroja E-KVÚ v porovnaní s priadzou z cievok, v ktorých som vpichovanie neprevádzala.

9. 3. Vlastné vyhodnotenie

Pre túto prácu som prevádzala štatistické vyhodnotenie rozdielov (pre pevnosť a ľažnosť zvlášť šestnásťkrát), t. j. vyhodnocovala som každú cievku, do ktorej som vpichovanie neprevádzala s každou cievkou, do ktorej som vpichovala hrotom prístroja E-KVÚ. Výsledky štatistických testov som zrovnala do tabuľky 9. a 10.

Tab. 9 Výsledky štatistických testov pre pevnosť priadze

cievky, v ktorých nebolo prevádzané vpichovanie	cievky, v ktorých bolo prevádzané vpichovanie							
	1	2	3	4	5	6	7	8
1	$\mu_1 > \mu_2$	$\mu_1 = \mu_2$	$\mu_1 = \mu_2$	$\mu_1 = \mu_2$	$\mu_1 = \mu_2$	$\mu_1 > \mu_2$	$\mu_1 < \mu_2$	$\mu_1 < \mu_2$
2	$\mu_1 = \mu_2$	$\mu_1 = \mu_2$	$\mu_1 = \mu_2$	$\mu_1 < \mu_2$	$\mu_1 = \mu_2$	$\mu_1 = \mu_2$	$\mu_1 < \mu_2$	$\mu_1 < \mu_2$

Z prevedených meraní som získala tieto výsledky:

$$\mu_1 = \mu_2 \dots 9$$

$$\mu_1 > \mu_2 \dots 5$$

$$\mu_1 < \mu_2 \dots 2$$

Tab. 10 Výsledky štatistických testov pre ťažnosť priadze

cievky, v ktorých nebolo prevádzkané vpichovanie	cievky, v ktorých bolo prevádzkané vpichovanie							
	1	2	3	4	5	6	7	8
1	$\mu_1 = \mu_2$	$\mu_1 = \mu_2$	$\mu_1 = \mu_2$	$\mu_1 = \mu_2$	$\mu_1 = \mu_2$	$\mu_1 = \mu_2$	$\mu_1 = \mu_2$	$\mu_1 = \mu_2$
2	$\mu_1 = \mu_2$	$\mu_1 = \mu_2$	$\mu_1 = \mu_2$	$\mu_1 = \mu_2$	$\mu_1 = \mu_2$	$\mu_1 = \mu_2$	$\mu_1 > \mu_2$	$\mu_1 = \mu_2$

Z prevedených meraní som získala tieto výsledky:

$$\mu_1 = \mu_2 \dots 15$$

$$\mu_1 > \mu_2 \dots 1$$

$$\mu_1 < \mu_2 \dots 0$$

9. 4. Záver o vplyve meracej techniky na úžitkové vlastnosti priadze

Úžitkové vlastnosti ako pevnosť a tăžnosť sa radia medzi najdôležitejšie vlastnosti, ktoré charakterizujú priadzu a ovplyvňujú jej ďalšie spracovanie. Preto sa tu vyskytuje nutnosť sledovať ich hodnoty aj z hľadiska vplyvu iných prístrojov, ktorými sa vyhodnocujú iné parametre priadze, prípadne parametre návinu priadze. V tomto prípade som sa venovala konkrétnemu vyhodnocovaniu vplyvu vpichovacieho prístroja na zmienené úžitkové vlastnosti. Toto vyhodnocovanie som prevádzala skúšobným meraním radiálneho tlaku koncového návinu, meraním týchto úžitkových vlastností z oblastí, kde to meranie nebolo a bolo prevádzkané. Z výsledných hodnôt, ktoré som získala meraním som prevádzala štatistické vyhodnotenie. Z hodnôt získaných štatistickým testovaním (tabuľka 9. a 10.) som mohla vysloviť záver o vplyve zmienenej meracej technike na úžitkové vlastnosti ako pevnosť a tăžnosť.

Výsledky štatistických testov prevádzaných pre tăžnosť priadze ukazujú takmer jednoznačne až na 1 prípad, že priemerné hodnoty tăžnosti priadze z cievok, v ktorých som neprevádzala vpichovanie prístrojom E-KVÚ sa rovnajú priemerným hodnotám tăžnosti priadze z cievok, v ktorých som vpichovanie hrotom prístroja E-KVÚ prevádzala. Možno teda konštatovať, že vpichovaním sa tăžnosť priadze nemení.

Výsledky zo štatistického testovania pre pevnosť priadze už tak jednoznačne nie sú. Zo šestnástich prevedených testov dva ukazujú, že priemerná hodnota pevnosti priadze z cievok, kde som vpichovanie prístrojom neprevádzala je väčšia ako priemerná hodnota pevnosti z cievok, v ktorých som prevádzala skúšobné meranie radiálneho tlaku vpichovacím prístrojom E-KVÚ. Ďalších deväť testov ukazuje, že sa tieto zmienené priemerné hodnoty pevnosti priadze rovnajú. Len zostávajúcich päť testov

ukazuje, že priemerná hodnota pevnosti priadze z cievok, kde bolo prevádzané vpichovanie prístrojom je menšia ako priemer- ná pevnosť priadze z cievok, kde nebolo prevedené vpichovanie. I napriek tomu možno z dosiahnutých výsledkov povedať, že vpi- chovací prístroj E-KVÚ nemá podstatný vplyv na pevnosť priadze čo potvrdzujú výsledky štatistických testov, kedy $\mu_1 > \mu_2$ bolo 5 x a $\mu_1 = \mu_2$ bolo 11 x.

10. EXPERIMENTÁLNE PREVERENIE ROZLOŽENIA RADIÁLNEHO TLAKU A POROVNANIE S TEÓRIOU

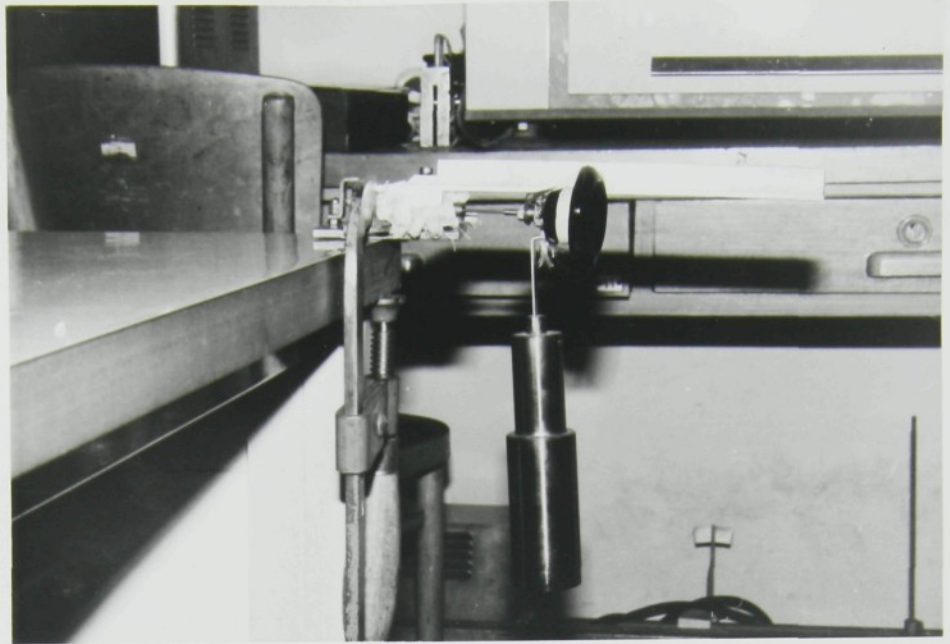
K experimentálnemu prevereniu rozloženia radiálneho tla- ku som použila tri valcové cievky s krížovým vinutím zo stroja BD 200 M-69, ktoré som náhodne vybrala z celkového počtu de- siatich cievok používaných k predchádzajúcemu meraniu a výhod- noteniu. Parametre týchto cievok sú uvedené v kapitole 5.

Pre meranie radiálneho tlaku vo valcových cievkach som použila prístroj E-KVÚ s kuželovým hrotom, ktorý je popísaný v kapitole 7.

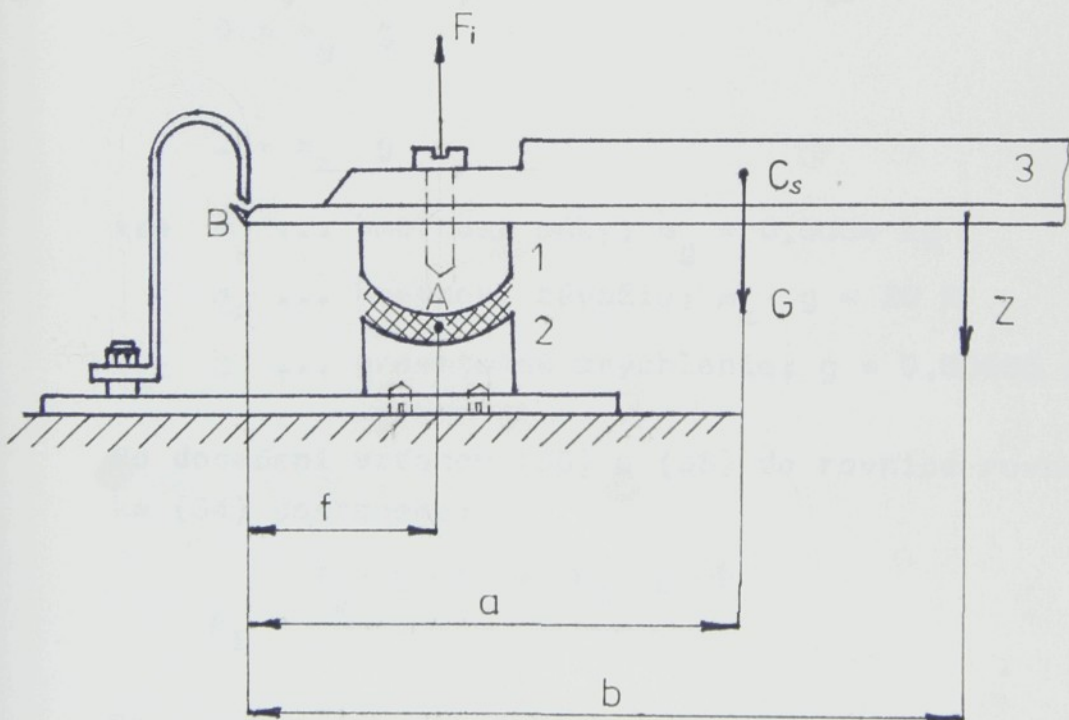
10. 1. Cejchovanie prístroja E-KVÚ

Ako som už uviedla, cejchovaním sa eliminujú rôzne vply- vy materiálu návinu. Princíp cejchovania spočíva v tom, že sa odvinutý materiál zo skúmaného návinu vloží medzi dve čeluste 1, 2 a cez pákovú konštrukciu 3 sa stimulujú rovnaké tlakové sily F_i , aké sú vo vnútri návinu. Túto situáciu zobrazuje ob- rázok 11.

Princíp cejchovania je znázornnený na obrázku 12.



Obr. 11: Cejchovanie prístroja E-KVÚ



Obr. 12: Princíp cejchovania

je je oliv
zaoklum' celisB
na počkaj b'y?

- A ... merací bod (miesto vpichnutia hrotu)
 B ... operný bod
 Cs ... ťažisko páky
 a, b, f ... vzdialenosť sôl k bodu B
 F_i ... sila pôsobiaca na hrot prístroja E-KVÚ
 G ... tiažová sila páky
 Z ... sila vyvolaná závažím

V bode A sa vpichuje hrot prístroja E-KVÚ a určí sa deformácia pružného elementu Δl_i pre rôzne sily $F_i = f(Z, b)$.
 Z rovnice rovnováhy na páke dostaneme silu F_i pôsobiacu na hrot prístroja.

$$F_i = \frac{G a + Z b}{f} \quad (34)$$

Veľkosť síl G a Z dostaneme zo vzťahov:

$$G = m_g g \quad (35)$$

$$Z = m_z g \quad (36)$$

kde m_g ... hmotnosť páky; $m_g = 0,5584 \text{ kg}$

m_z ... hmotnosť závažia; $m_z \cdot g = 20 \text{ N}$

g ... gravitačné zrýchlenie; $g = 9,80665 \text{ ms}^{-2}$

Po dosadení vzťahov (35) a (36) do rovnice rovnováhy na páke (34) dostaneme:

$$F_i = \frac{m_g \cdot g \cdot a + m_z \cdot g \cdot b}{f} \quad (37)$$

Po úprave má vzťah (37) tvar:

$$F_i = \frac{g}{f} (m_g \cdot a + m_z \cdot b) \quad (38)$$

kde $a = 0,163 \text{ m}$

$f = 0,043 \text{ m}$

Dosadením všetkých známych hodnôt do vzťahu (38) získame

$F_i :$

$$F_i = 465,12 b + 20,785$$

kde $b \dots$ je rameno sily vyvolanej závažím

Zmenou dĺžky ramena b sa mení veľkosť sily F_i . Výsledky sily F_i pri konštantnej hĺbke vpichu sú uvedené v tabuľke 11.

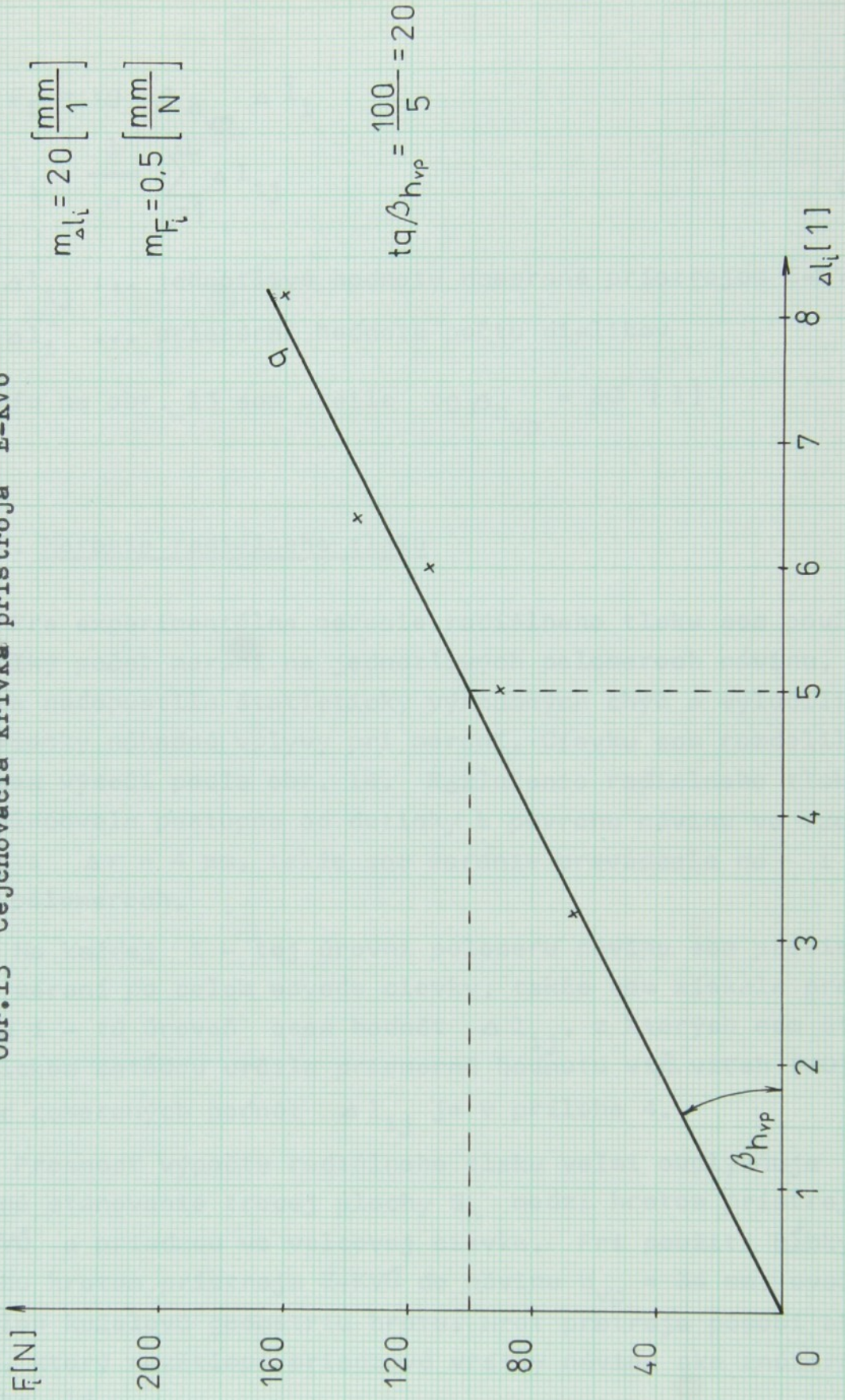
Tabuľka 11

$b [\text{m}]$	0,10	0,15	0,20	0,25	0,30
$\Delta l_i [1]$	3,2	5,0	6,0	6,4	8,2
$F_i [\text{N}]$	67,297	90,553	113,809	137,065	160,321

Pri konštantnej hĺbke vpichovania prístrojom $h_{vp} = 34 \text{ mm}$ som stanovila množinu bodov P_i (Δl_i , F_i), ktoré zakreslujem do súradnicového systému: na vodorovnú os hodnoty Δl_i a na zvislú os hodnoty P_i . Tým získam závislosť $F = f(\Delta l_i)$.

Spojnicu bodov P_i tvorí priamka q prechádzajúca počiatkom súradnicového systému a je obrazom lineárnej charakteristiky pružného elementu. Z tejto krvky na obr. 13 priamo odčítam hodnoty P_i pre Δl_{ij} , ktoré boli experimentálne namenané na návime. Pre zjednodušenie si zmeriam z grafu uhol stúpania krvky a potom pre F_i platí nasledujúci vzťah:

Obr.13 Cieľovovacia križka prístroja E-KVÚ



$$F_i = \operatorname{tg} \beta_{h_{vp}} \cdot \Delta \bar{l}_i \quad (39)$$

$$\Delta \bar{l}_i = \frac{1}{n} \sum_{j=1}^n \Delta l_{ij} \quad (40)$$

kde Δl_{ij} ... jednotlivé hodnoty namerané prístrojom E-KVÚ

$\Delta \bar{l}_i$... priemerná hodnota počtu dielikov

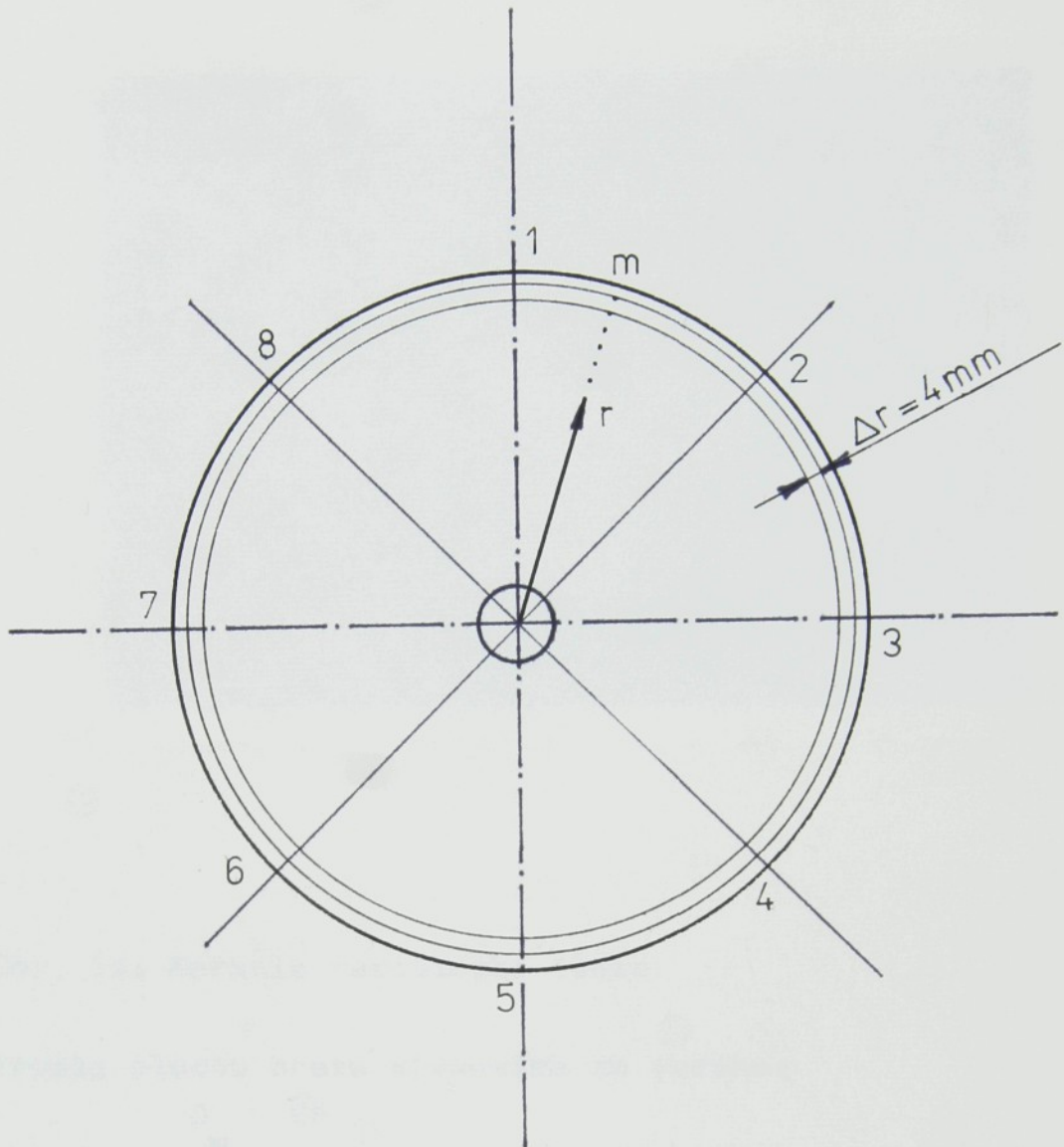
Z grafu na obr. 13 som určila $\operatorname{tg} \beta_{h_{vp}} = 20$ [1]

10. 2. Meranie radiálneho tlaku

Pre experimentálne meranie radiálneho tlaku som použila veľký počet meraní na jednotlivých polomeroch návinu, aby som sa nedopustila štatisticky významných chýb a vylúčili sa tak všetky náhodné vplyvy pri meraní. Cievku som rozdelila na osem výsečí podľa obr. 14. Rozloženie radiálneho tlaku som sledovala postupne od dutinky k povrchu návinu vo vzdialnosti $\Delta r = 4$ mm, takže som meranie prevádzala na i rôznych polomeroch.

Na každej i - tej úrovni polomeru návinu som previedla osem meraní po celom obvode cievky, takže som získala pre každú i - tú úroveň osem hodnôt Δl_{ij} , z ktorých som štatistickom metódou určila priemernú hodnotu viď. vzťah (40). Súbor nameraných hodnôt Δl_{ij} je v prílohe 4.

Presnosť výpočtu radiálneho tlaku veľmi ovplyvňuje presné stanovenie trecej plochy S_h medzi hrotom prístroja E-KVÚ a priadzou vo valcovej cievke. Pri použití húbky vpichu hrotom prístroja E-KVÚ do návinu $h_{vp} = 34$ mm, uvažujem len kuželovú geometriu hrotu. Hrot prístroja pôsobí ako klin, ktorý rozštiepi priadzové vrstvy návinu ako znázorňuje obr. 16.



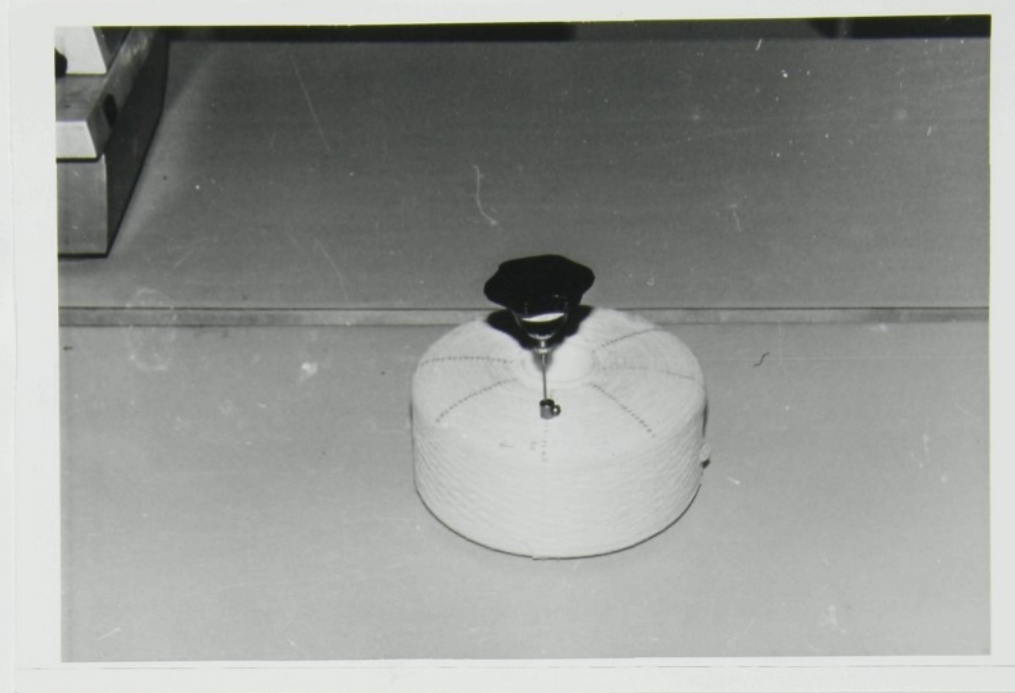
Obr.14: Schéma meracích bodov na cievke

$j = 1, 2, \dots n$

$n \dots$ počet miest na jednotlivých úrovniach polomeru,
 $n = 8$

$i = 1, 2, \dots m$

$m \dots$ počet úrovni polomeru r_i



Óbr. 15: Meranie radiálneho tlaku

Treći plochu hrotu stanovíme zo vzťahu:

$$S_h = \frac{M}{\pi d_h} \quad (41)$$

S_M ... plocha plášťa kužela, ktorú určíme zo vzťahu:

$$S_M = \frac{\pi d_h \cdot S_1}{2} \quad (42)$$

Dĺžku kuželovej strany získame:

$$S_1 = \sqrt{\left(\frac{d_h}{2}\right)^2 + h_{vp}^2} \quad (43)$$

Dosadením vzťahu (43) do vzťahu (42) dostaneme:

$$S_M = \frac{\pi d_h}{2} \cdot \sqrt{\left(\frac{d_h}{2}\right)^2 + h_{vp}} \quad (44)$$

Vzťahy pre výpočet uhlu opásania τ a dĺžky oblúku \widehat{EF} :

$$\tau = \arcsin\left(\frac{d_h}{e}\right) \quad (45)$$

$$\widehat{EF} = \frac{\pi d_h \cdot \arcsin\left(\frac{d_h}{e}\right)}{180^\circ} \quad (46)$$

Po dosadení vzťahov (45) a (46) do vzťahu (41) dostaneme:

$$S_h = \frac{\pi d_h}{360^\circ} \arcsin\left(\frac{d_h}{e}\right) \sqrt{\left(\frac{d_h}{2}\right)^2 + h_{vp}} \quad (47)$$

Úpravou vzťahu (47) získame konečný vzťah, podľa ktorého budeme počítať tretiu plochu S_h :

$$S_h = 0,53398471 \arcsin\left(\frac{d_h}{e}\right) \quad (48)$$

Teraz už môžeme stanoviť radiálny tlak σ_{r_i} na rôznych polomeroch návinu, pre ktorý platí vzťah:

$$\sigma_{r_i} = \frac{F_i}{S_h} \quad (49)$$

Smerodatnú odchylku nameraných dielikov určíme vo vzťahu:

$$s_{l_i} = \sqrt{\frac{1}{n-1} \sum_{j=1}^n (\Delta l_{ij} - \bar{l}_i)^2} \quad (50)$$

a variačný koeficient:

$$v_{\sigma_{r_i}} = \frac{s}{\Delta \bar{l}_i} \cdot 10^2 \quad (51)$$

Intervalový odhad radiálneho tlaku v návine sa stanovi:

$$\sigma_r = \sigma_{r_i} \pm s\sigma_r \quad (52)$$

$$\text{kde } s\sigma_r = t_\alpha (n - 1) \frac{s\sigma_r}{\sqrt{n}} \quad (53)$$

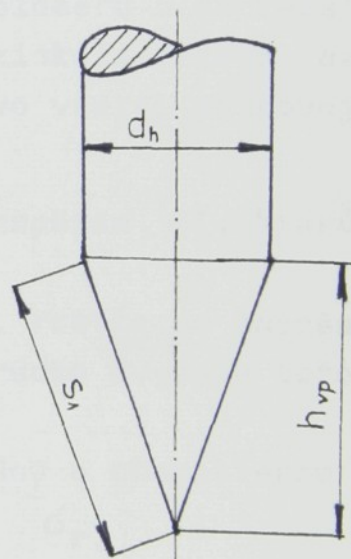
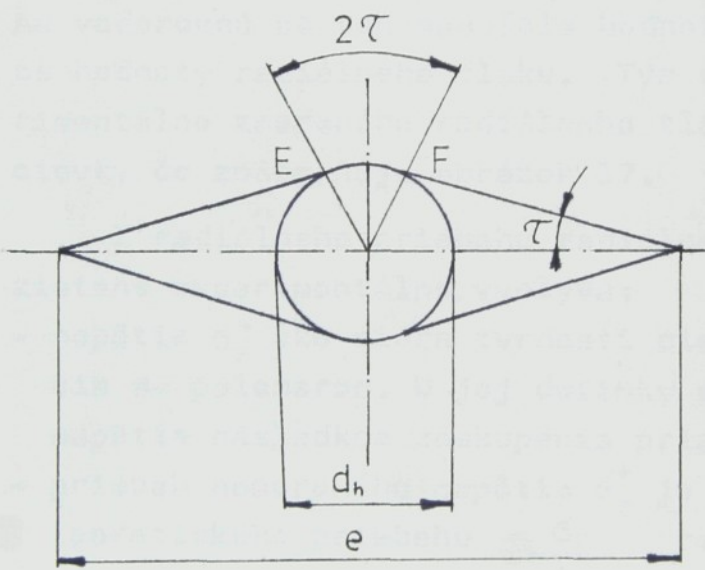
$$t_\alpha (n - 1) = 1,8946$$

pre $\alpha = 0,05$

$n = 8$

kde t_α ... kritická hodnota Studentovho rozdelenia

$s\sigma_r$... smerodatná odchylka prepočítaná na tlakovú jednotku



Obr. 16: a/ Útvor vytvorený hrotom v telesu návinu po radiálnom smere
b/ Hrot vpichovacieho prístroja E-KVÚ

kde \widehat{EF} ... dĺžka oblúku [mm]

e ... priemerná dĺžka vzniknutého otvoru na i -tom polomere návinu [mm]

2τ ... uhol opásania na i -tom polomere návinu

d_h ... priemer hrotu [mm]

s_l ... dĺžka kuželovej strany [mm]

10. 2. 1. Výsledky a zhodnotenie merania radiálneho tlaku vo valcovej cievke

Všetky namerané a vypočítané hodnoty radiálneho tlaku vo valcovej cievke uvádzam v tabuľkách 12, 13, 14.

Výsledné hodnoty merania radiálneho tlaku vo vnútri valcovej cievky som zakreslila do súradnicového systému: na vodorovnú os som nanášala hodnoty polomeru a na zvislú os hodnoty radiálneho tlaku. Tým som získala priebeh experimentálne zmeraného radiálneho tlaku vo vnútri valcovej cievky čo znázorňuje obrázok 17.

Z radiálneho priebehu radiálneho napäťia σ_r^+ , ktoré je zistené experimentálne, vyplýva:

- napätie σ_r^+ ako miera tvrdosti cievky, rastie so zmenšujúcim sa polomerom. U jej dutinky sa prudko zvyšuje toto napätie následkom zoskupenia priadze
- priebeh nameraného napäťia σ_r^+ je zhodný s charakterom teoretického priebehu $\frac{\sigma_r}{r}$ resp. σ_r .

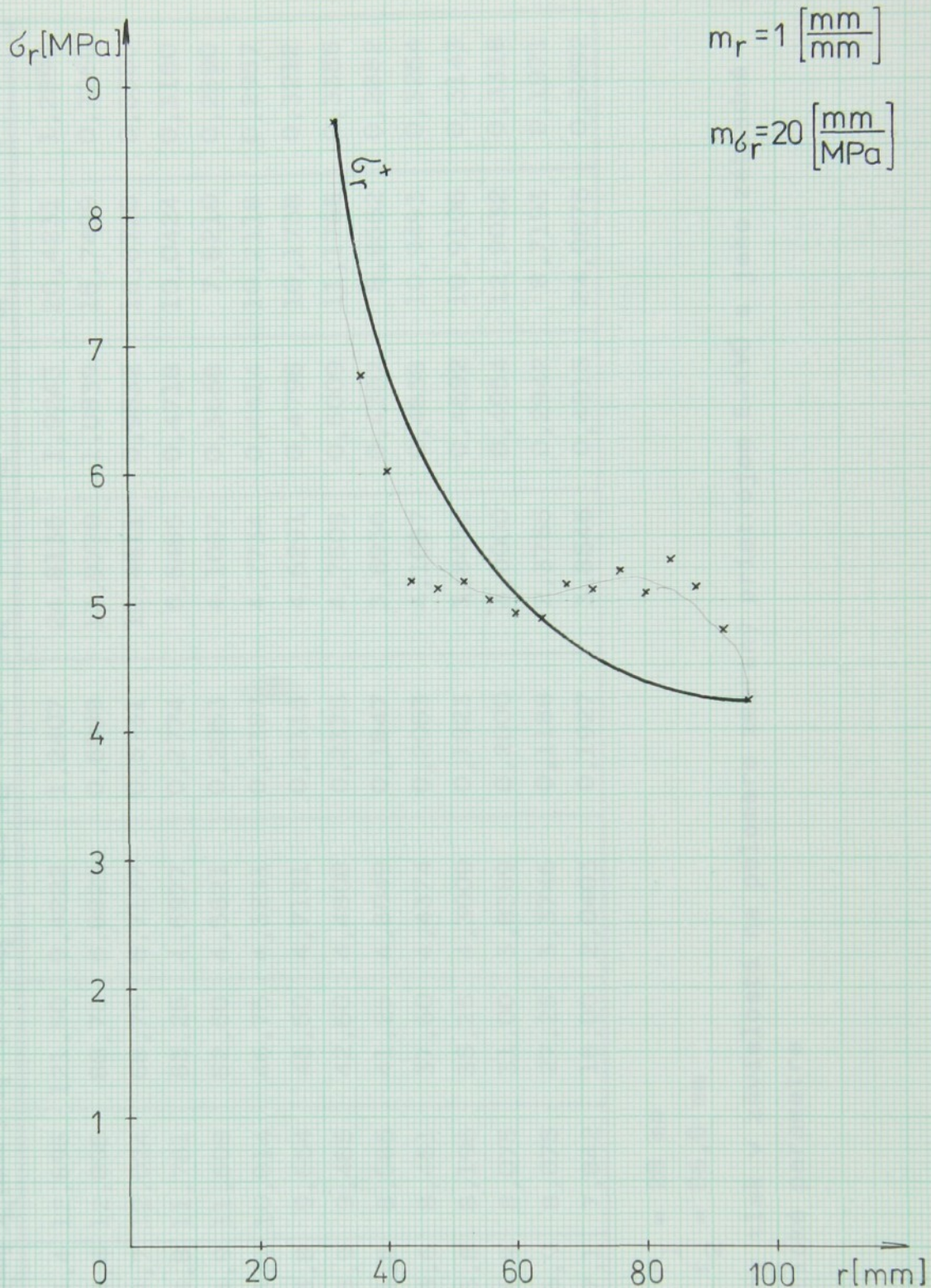
Prístroj E-KVÚ charakterizuje vnútorný stav napäťostí σ_r v cievke, ale pritom je nutné brať do úvahy faktory, ktoré ovplyvňujú namerané hodnoty. Aby namerané hodnoty boli čo najpresnejšie, zhrniem teraz najdôležitejšie faktory, ktoré pri meraní prístrojom E-KVÚ vznikajú.

1. Fixácia húbky vpichu.

i	r_i [mm]	$\Delta \bar{t}_i$ [1]	e_i [mm]	S_{h_i} [mm^2]	F_i [N]	σ_r [MPa]	s_{t_i} [1]	s_{r_i} [N]	s_{g_i} [MPa]	ν_{g_i} [%]	δ_{g_i} [MPa]
1	32	6,5750	3,8	15,098	131,50	8,7098	0,8515	17,0294	1,1279	12,9506	0,7555
2	36	4,8250	4,0	14,281	96,50	6,7572	0,8681	17,3617	1,2157	17,9917	0,8143
3	40	3,8875	4,4	12,895	77,75	6,0295	0,6446	12,8924	0,9998	16,5814	0,6697
4	44	3,3375	4,4	12,895	66,75	5,1765	0,3701	7,4017	0,5740	11,0891	0,3845
5	48	3,0000	4,8	11,761	60,00	5,1016	0,3891	7,7828	0,6617	12,9700	0,4432
6	52	2,9750	4,9	11,508	59,50	5,1703	0,4166	8,3324	0,7240	14,0034	0,4850
7	56	2,6085	5,3	10,602	53,25	5,0226	0,3335	6,6708	0,6292	12,5258	0,4215
8	60	2,5125	5,5	10,201	50,25	4,9260	0,1959	3,9188	0,3842	7,7970	0,2574
9	64	2,4500	5,6	10,012	49,00	4,8941	0,2000	4,0000	0,3995	8,1633	0,2676
10	68	2,4375	5,9	9,485	48,75	5,1397	0,2200	4,3997	0,4639	9,0256	0,3107
11	72	2,3000	6,2	9,012	46,00	5,1043	0,2268	4,5356	0,5033	9,8609	0,3371
12	76	2,2500	6,5	8,585	45,00	5,2417	0,2204	4,4078	0,5134	9,7956	0,3439
13	80	2,0750	6,8	8,196	41,50	5,0634	0,1488	2,9761	0,3631	7,1710	0,2432
14	84	2,1500	6,9	8,075	43,00	5,3251	0,2330	4,6599	0,5771	10,8372	0,3866
15	88	2,0000	7,1	7,842	40,00	5,1007	0,2204	4,4078	0,5621	11,0200	0,3765
16	92	1,8250	7,3	7,623	36,50	4,7881	0,2121	4,2426	0,5565	11,6219	0,3728
17	96	1,5875	7,4	7,517	31,75	4,2238	0,1356	2,7124	0,3608	8,5417	0,2417

Rozmery cievky: $r_1 = 28$ mm
 $r_2 = 100,5$ mm

Tab.12: Radiálny tlak v závislosti na polomeru zmeraný prístrojom E-KVÚ a jeho základné štatistické parametre



Rozmery cievky: $r_1 = 28 \text{ mm}$

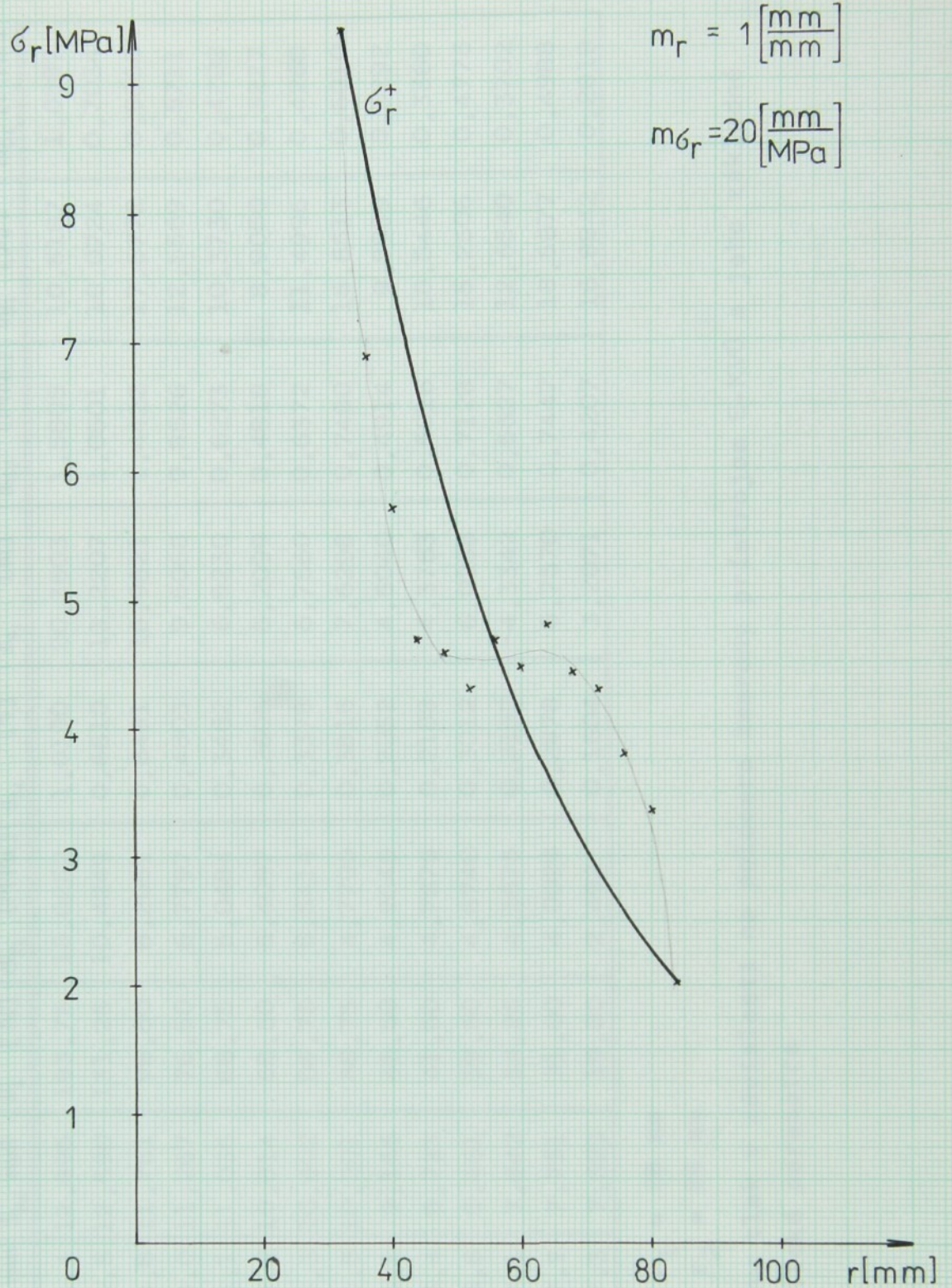
$r_2 = 100,5 \text{ mm}$

Obr.17a Priebeh radiálneho tlaku v cievke

i	r_i [mm]	$\Delta \bar{L}_i$ [1]	e_i [mm]	S_{hi} [$m m^2$]	F_i [N]	σ_{ri} [MPa]	s_{ti} [1]	s_{Ft} [N]	ε_{ti} [%]	δ_{ti} [MPa]
1	32	6,0750	4,4	12,895	121,50	9,4222	1,2407	24,8136	1,9243	20,4231
2	36	4,4375	4,4	12,895	88,75	6,8825	0,6989	13,9770	1,0839	15,7499
3	40	3,4375	4,7	12,024	68,75	5,7177	0,5731	11,4611	0,9532	16,6720
4	44	2,7625	4,8	11,761	55,25	4,6977	0,2774	5,5485	0,4718	10,0424
5	48	2,6250	4,9	11,508	52,50	4,5621	0,2053	4,1057	0,3568	7,8210
6	52	2,3375	5,2	10,814	46,75	4,3231	0,2387	4,7734	0,4414	10,2118
7	56	2,2750	5,8	9,654	45,50	4,7131	0,2315	4,6291	0,4795	10,1758
8	60	2,1250	5,9	9,485	42,50	4,4808	0,2375	4,7509	0,5009	11,1765
9	64	2,0685	6,5	8,585	41,25	4,8049	0,1847	3,6936	0,4302	8,9552
10	68	1,8750	6,6	8,451	37,50	4,4374	0,2053	4,1057	0,4858	10,9493
11	72	1,7675	6,8	8,196	35,25	4,3009	0,1923	3,8452	0,4692	10,9106
12	76	1,5500	6,9	8,075	31,00	3,8389	0,2000	4,0000	0,4954	12,9032
13	80	1,3685	6,9	8,075	27,25	3,3746	0,1188	2,3755	0,2942	8,7193
14	84	0,8000	7,1	7,842	16,00	2,0403	0,1927	3,8545	0,4915	24,0875

Rozmery cievky: $r_1 = 28$ mm
 $r_2 = 86,5$ mm

Tab. 13: Radiálny tlak v závislosti na polomeru zmeraný prístrojom E-KVÚ a jeho základné štatistické parametre



Rozmery cievky: $r_1 = 28$ mm

$r_2 = 86,5$ mm

Obr.17b Priebeh radiálneho tlaku v cievke

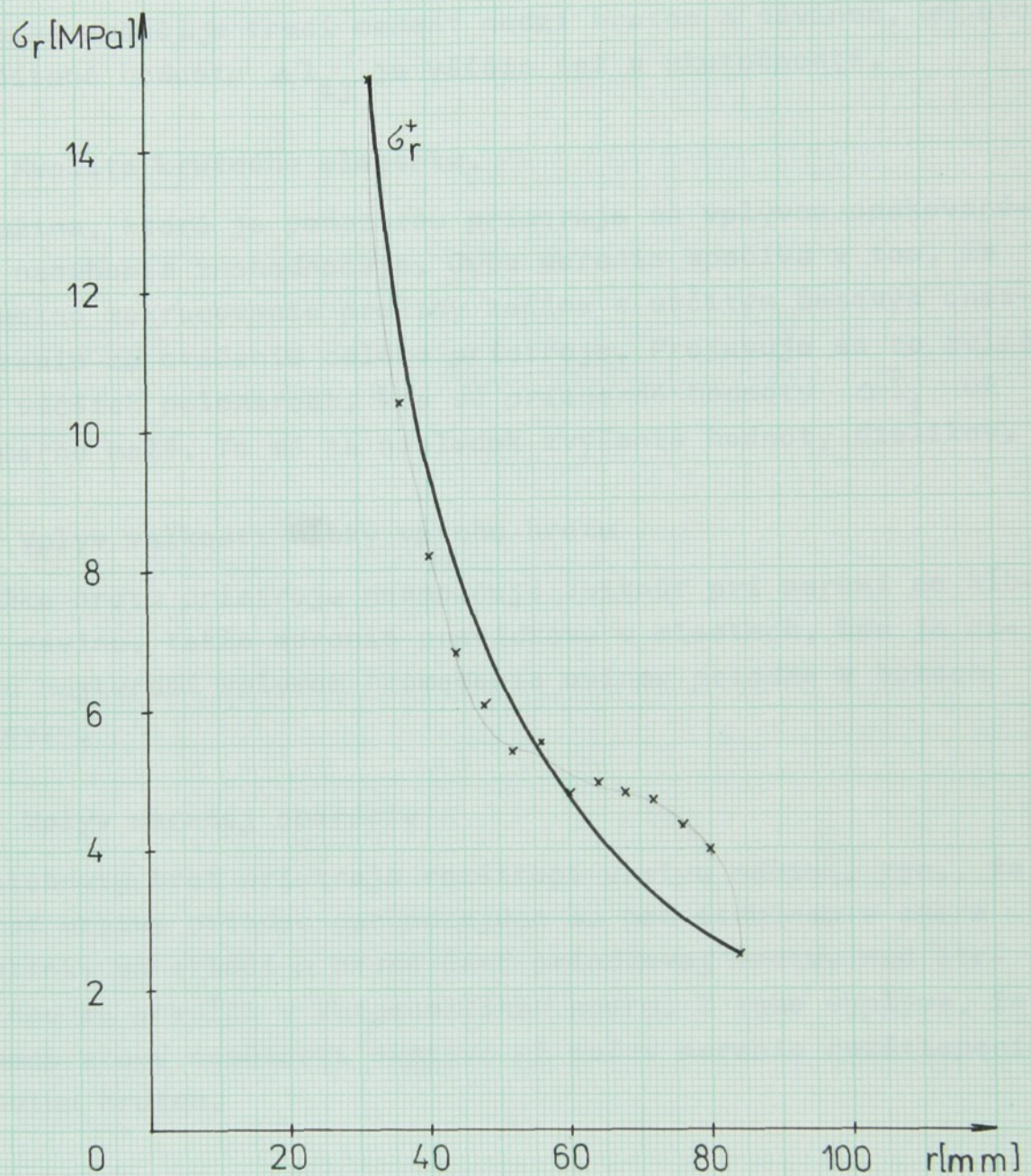
i	r_i mm	Δl_i 1	e_i mm	S_{h_i} mm ²	F_i [N]	σ_{r_i} [MPa]	s_{t_i} [1]	s_{r_i} [N]	s_{g_i} [MPa]	v_{g_i} [%]	d_{f_i} [MPa]
1	32	9,6875	4,4	12,895	193,75	15,0252	1,0190	20,3803	1,5805	10,5187	1,0587
2	36	6,5025	4,5	12,590	131,25	10,4249	0,6610	13,2207	1,0501	10,0724	0,7034
3	40	4,8250	4,8	11,761	96,50	8,2051	0,8481	16,9621	1,4422	17,5772	0,9660
4	44	3,8250	5,0	11,267	76,50	6,7797	0,4803	9,6065	0,8526	12,5569	0,5711
5	48	3,3375	5,1	11,036	66,75	6,0484	0,3462	6,9230	0,6273	10,3730	0,4202
6	52	2,9250	5,2	10,814	58,50	5,4097	0,2605	5,2099	0,4818	8,9050	0,3227
7	56	2,9575	5,3	10,602	58,75	5,5414	0,3378	6,7560	0,6372	11,4996	0,4268
8	60	2,4575	5,5	10,201	48,75	4,7790	0,3815	7,6298	0,7480	15,6513	0,5010
9	64	2,2750	6,1	9,165	45,50	4,9646	0,2252	4,5040	0,4914	9,8989	0,3292
10	68	2,0750	6,4	8,723	41,50	4,7575	0,2188	4,3753	0,5016	10,5446	0,3360
11	72	1,9750	6,6	8,451	39,50	4,6740	0,3012	6,0238	0,7128	15,2506	0,4775
12	76	1,7125	7,1	7,842	34,25	4,3675	0,2167	4,3342	0,5527	12,6540	0,3702
13	80	1,5500	7,2	7,731	31,00	4,0099	0,2878	5,7570	0,7447	18,5677	0,4988
14	84	0,9500	7,3	7,623	19,00	2,492	0,1604	3,2071	0,4207	16,8842	0,2818

Rozmery cievky: $r_1 = 28$ mm
 $r_2 = 86$ mm

Tab. 14: Radiálny tlak v závislosti na polomerre zmeraný prístrojom E-KVÚ a jeho základné štatistické parametre

$$m_r = 1 \left[\frac{\text{mm}}{\text{mm}} \right]$$

$$m_{\sigma_r} = 10 \left[\frac{\text{mm}}{\text{MPa}} \right]$$



Rozmery cievky: $r_1 = 28 \text{ mm}$

$r_2 = 86 \text{ mm}$

Obr.17c Priebeh radiálneho tlaku v cievke

Konštantnú hĺbku vpichu hrotu sám si zabezpečila nadstavovacím krúžkom a práve ten sa stáva zdrojom chýb pri meraní. Medzi ním a vlákenným materiálom totiž dochádza k treniu, tým sa zväčšuje tretí moment medzi hrotom a návinom, a potom odčítaná hodnota Δl_{ij} je väčšia než v skutočnosti.

2. Kvalita krutného elementu.

Pružina, ktorá je podstatou prístroja sa vplyvom opakovaného namáhania znehodnocuje. Chyba merania spočíva v tom, že samotné zakrúcovanie pružiny začína s určitým časovým oneskorením za otáčaním celého prístroja. Prejavuje sa to zvlášť na väčších polomeroch, kde sú priemerné hodnoty $\Delta \bar{l}_i$ už pomerne malé. To má za následok zvýšenie hodnoty dielikov.

3. Vplyv veľkosti hĺbky vpichu hrotu

Dĺžka hrotu prístroja neumožňuje vniknúť pri meraní do hĺbky návinu, takže meranie prevádzkame v miestach, kde je návin najtvrdší vplyvom hromadenia ovinov priadze v bokoch cievky.

4. Vplyv meracej operácie

Vpichnutý hrot prístroja rozštiepi vrstvu návinu, tzn., že časť vrstvy priadze nachádzajúca sa pod štrbinou v smere dutinky sa stlačí a druhá časť priadzovej vrstvy nad štrbinou sa predĺži v tangensiálnom smere. Z toho vyplýva, že zmena stavu napäťosti nastáva už počas merania rozštiepením návinu hrotom.

5. Vplyv merania dĺžky štrbiny

Vpichnutím hrotu prístroja vznikne v návine rozštiepený útvar - štrbina, ktorej dĺžka e sa nedá presne zistiť. Čažko sa dá rozoznať bod, ktorý určuje hranicu medzi útvaram a priadzovým telesom.

Aj napriek týmto nedostatkom je táto metóda dostatočne presná a napomáha vyriešiť problém stanovenia radiálneho tlaku v koncovom návine a umožňuje zrovnanie experimentálnych výsledkov s teoretickými.

10. 3. Miera anizotropie válcového krížového návinu

Miera anizotropie k telesa návinu sa môže určiť dvoma spôsobmi. Prvý spôsob pre určenie tejto hodnoty vychádza zo vzťahu (5) a druhý spôsob vychádza z približného porovnávania nameraných hodnôt radiálneho napäťia s teoretickými hodnotami.

10. 3. 1. Porovnanie priebehu nameraného radiálneho napäťia s teoretickými hodnotami

K zostrojeniu konečného priebehu radiálneho tlaku valcového návinu zo stroja BD 200 M-69 si zhrniem hodnoty, ktoré poznám z predchádzajúcich kapitol. Previedla som experimentálne meranie radiálneho tlaku koncového návinu σ_r^+ a k tomu poznám ešte teoretické hodnoty $\frac{\sigma_r}{q}$ a $\frac{\sigma_t}{q}$, čo sú pomerné hodnoty radiálneho tlaku a obvodového napäťia vztihnuté na hodnotu navijacieho napäťia q .

Pretože zatiaľ nie som schopná určiť mieru anizotropie k experimentálne, budem pri porovnávaní teoretických hodnôt radiálneho tlaku v cievke $\frac{\sigma_r}{q}$ s experimentálnymi σ_r^+ vychádzať z experimentálneho priebehu radiálneho tlaku vo vnútri cievky. Tieto hodnoty budem porovnávať s teoretickými $\frac{\sigma_r}{q}$ a tým som schopná určiť mieru anizotropie k odpovedajúce pomerné obvodové napätie v návine $\frac{\sigma_t}{q}$.

Obidve hodnoty sa menia so zmenou polomeru návinu.

10. 3. 1. 1. Hodnoty potrebné k porovaniu priebehu nameraného napäťia s teoretickým napäťím

1. Hodnota σ^t , ktorá pretrváva v cievke po dobu jej tvorby

Okrem osových síl, ktoré pôsobia v jednotlivých fázach odťahovej cesty, má tiež na stav vnútornej napäťosti priadzového telesa návinu vplyv skutočného napäťia σ^t . Toto napätie ešte pretrváva v priadzi po jej uložení na cievku a pôsobí celú dobu až do okamžiku využitia priadze. Pri porovnávaní nameraného napäťia s teoretickým priebehom pomeru $\frac{\sigma_r}{\sigma}$ postupujeme takto:

- hľadáme teoretické hodnoty $\frac{\sigma_r}{\sigma}$ tak, aby tieto hod-

noty boli čo najviac približné s nameranými hodnotami

$$\sigma_r^+ \frac{m \sigma^+}{m \sigma}$$

- na ose polomeru r majú teoretické i namerané hodnoty rovnaký modul, ale na ose úsečiek je pre σ_r^+ a $\frac{\sigma_r}{\sigma}$

rozdielny modul. Tento násobok polomeru modulov medzi dvoma súradnicovými osami vyjadruje pretrvávajúce napätie σ^t v cievke, pre ktoré platí:

$$\frac{\sigma_r}{q} \cdot \frac{m \sigma}{m_r} = \sigma_r^+ \cdot \frac{m \sigma^+}{m_r}$$

kde $\frac{\sigma_r}{q}$... teoretické hodnoty [1]

σ_r ... teoretické napätie [MPa]

σ_r^+ ... namerané napätie [MPa]

$m\sigma$... modul na ose pomeru hodnôt $\frac{\sigma_r}{q}$ [— mm —]
q

$m\sigma^+$... modul na ose nameraného napätia σ_r^+ [— mm —]
MPa

m_r ... modul na ose polomeru r [— mm —]
mm

Ak je $\sigma_r^+ = \sigma_r$, potom hľadaná hodnota q^+ pretrvávajúceho napätia v návine má tvar:

$$q^+ = \frac{m\sigma}{m\sigma^+}$$

Pretrvávajúce napäťie pôsobí omnoho dlhšie, než je doba odpovedajúca pôsobeniu navijacieho napätia pri navijaní. Zásadný tvar priebehov $\frac{\sigma_r^+}{q}$ a $\frac{\sigma_r}{q}$ nie je ovplyv-

nený veľkosťou hodnoty navijacieho napätia, lebo hodnoty q^+ majú vplyv len na rozdiel zvoleného modulu na osách meraných napätií σ_r^+ a teoretických hodnôt $\frac{\sigma_r}{q}$,

ale veľkosť navijacieho napätia je spojená s mierou anizotropie telesa skutočnej cievky. To vedie k nepresnosti pri porovnaní priebehov medzi nameraným a teoretickým napätiím.

2. Podľa práce [5] súčinieľ μ_{rt} ovplyvňuje priebeh $\frac{\sigma_r}{q}$ len u malých polomerov, preto je možné približné porovnanie priebehu σ_r^+ a σ_r pri konštantnej hodnote μ_{rt} .

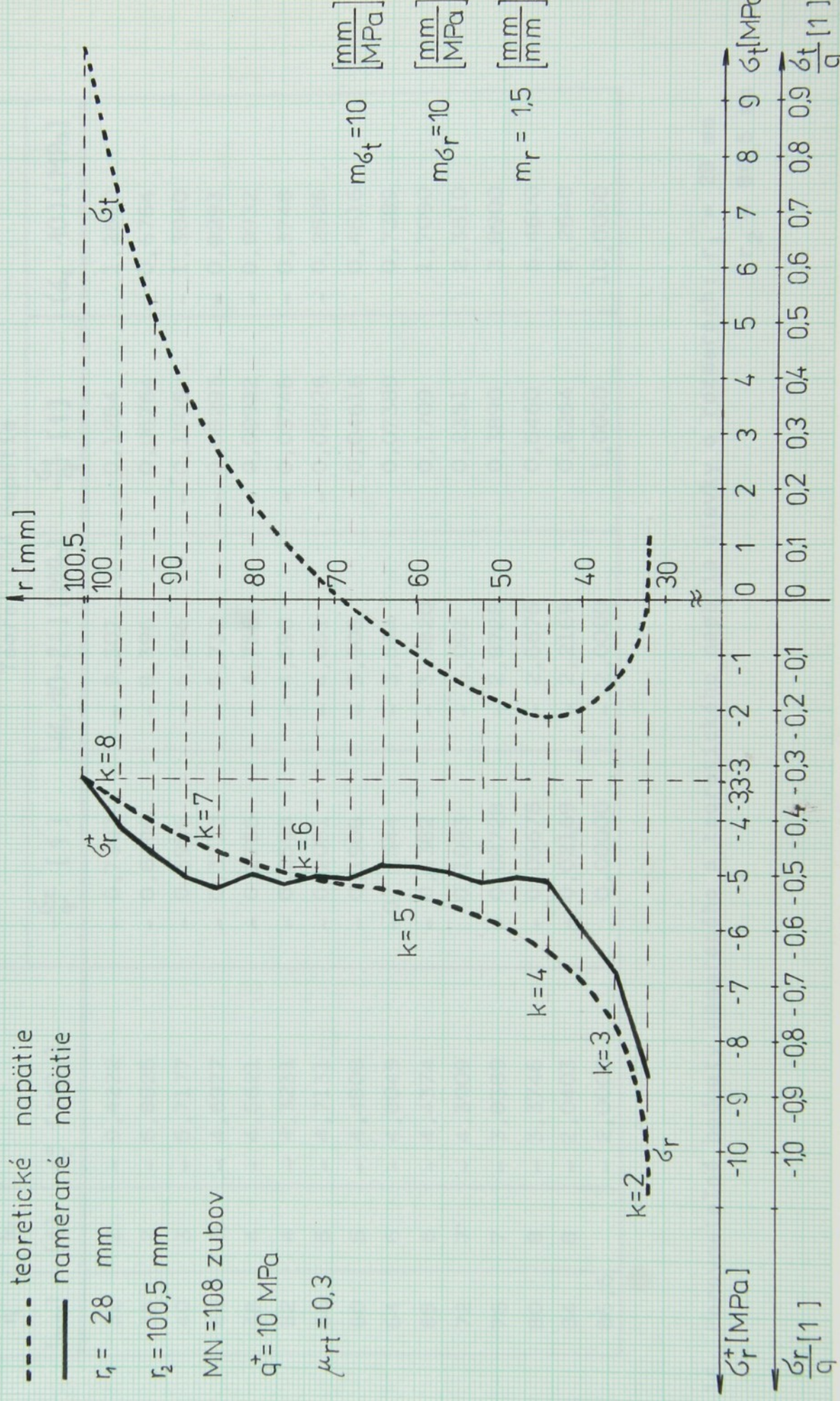
V tomto prípade je najlepšie použiť $\mu_{rt} = 0,2 \div 0,3$.

3. Podľa teoretických výsledkov povrchu cievky je napätie $\sigma_r = 0$. Aby porovnanie priebehov napätia vzhľadom k mierre anizotropie telesa návinu prebehlo čo najlepšie, je nutné premiestniť os polomeru k hodnote 3,3 (podľa obr. 18c) k hodnote 2,4 (podľa obr. 18c) k hodnote 2 (podľa obr. 18b).

r_t [mm]	k_t [1]	σ_r^t [MPa]	$\frac{\sigma_r}{q}$ [1]	$k_r \cdot 10 + 3,3$ [MPa]	Teoretické napätie $\frac{\sigma_t}{q}$ [1]	$(\sigma_t \cdot 10) [MPa]$
32	2	- 8,7098	- 0,7486	- 10,786	0,1145	1,145
36	3	- 6,7572	- 0,4388	- 7,688	- 0,2861	- 2,861
40	3	- 6,0295	- 0,4218	- 7,518	- 0,2409	- 2,409
44	4	- 5,1765	- 0,3044	- 6,344	- 0,2236	- 2,236
48	4	- 5,1016	- 0,2962	- 6,262	- 0,1877	- 1,877
52	4	- 5,1703	- 0,2863	- 6,163	- 0,1460	- 1,460
56	4	- 5,0226	- 0,2747	- 6,047	- 0,0997	- 0,997
60	5	- 4,9260	- 0,2176	- 5,476	- 0,0881	- 0,881
64	5	- 4,8941	- 0,2080	- 5,380	- 0,0403	- 0,403
68	5	- 5,1397	- 0,1965	- 5,265	0,0173	0,173
72	6	- 5,1043	- 0,1613	- 4,913	0,0323	0,323
76	6	- 5,2417	- 0,1493	- 4,793	0,1043	1,043
80	6	- 5,0634	- 0,1344	- 4,644	0,1933	1,933
84	7	- 5,3251	- 0,1081	- 4,381	0,2433	2,433
88	7	- 5,1007	- 0,0892	- 4,1924	0,3753	3,753
92	7	- 4,7881	- 0,0656	- 3,956	0,5410	5,410
96	8	- 4,2238	- 0,0355	- 3,655	0,7163	7,163
100,5		- 3,3000	0,0000	- 3,300	1,0000	10 p 00

Tab. 15: Porovnatelné hodnoty nápravky o rozmeroch: $r_1 = 28$ mm
 $r_2 = 100,5$ mm

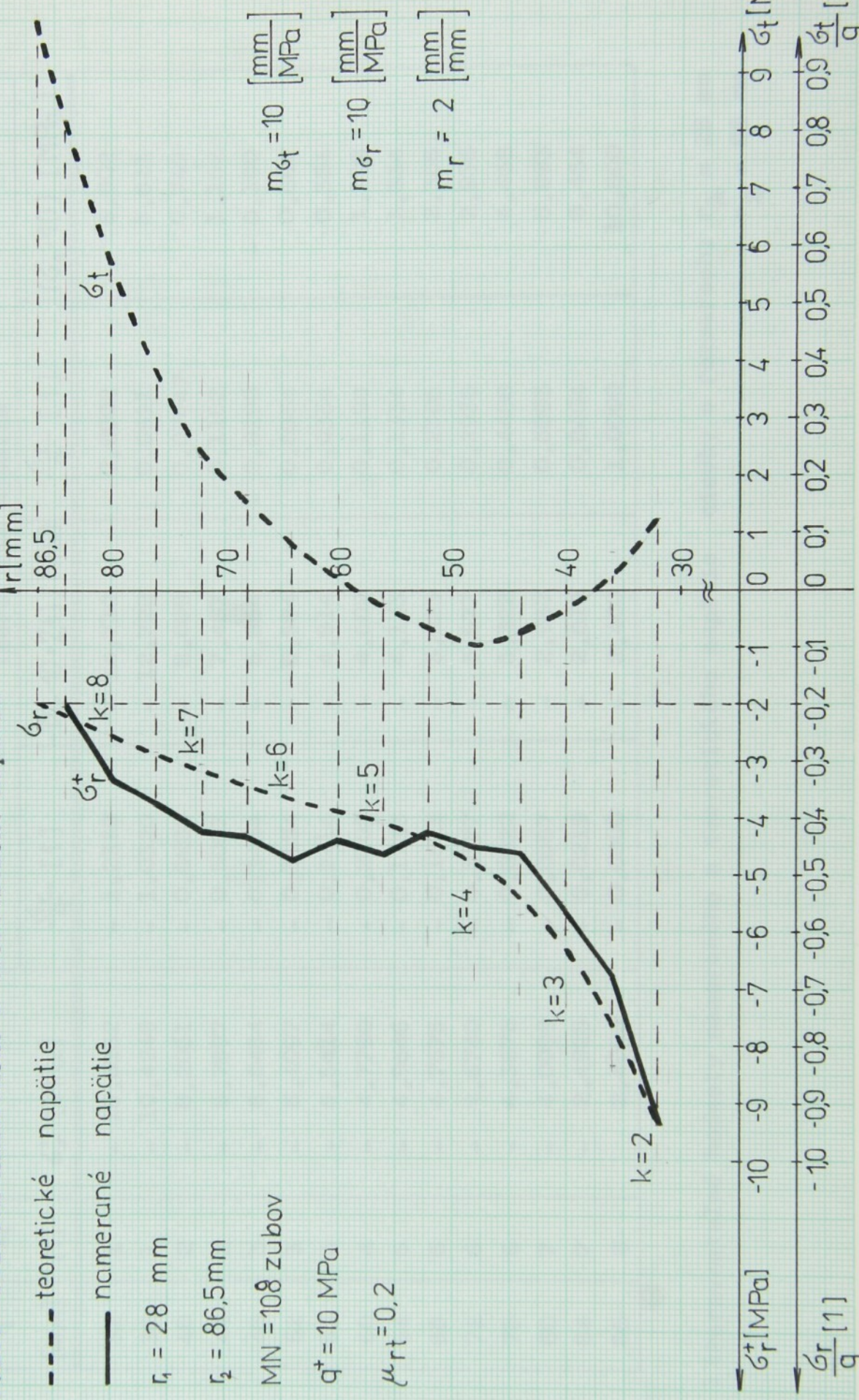
Obr. 18a Priebeh nameraného a teoretického napätie



r [mm]	k_t [1]	ζ_r^* [MPa]	Teoretické napätie		
			$\frac{\zeta_r}{q}$ [1]	$-(\zeta_r \cdot 10 + 2)$ [MPa]	$\frac{\zeta_t}{q}$ [1]
32	2	- 9,4222	- 0,7307	- 9,307	0,1254
36	2	- 6,8825	- 0,6396	- 8,396	0,06764
40	3	- 5,7177	- 0,3996	- 5,996	- 0,1305
44	3	- 4,6977	- 0,3732	- 5,732	- 0,08293
48	4	- 4,5621	- 0,2756	- 4,756	- 0,09932
52	4	- 4,3231	- 0,2598	- 4,598	- 0,03748
56	5	- 4,7131	- 0,2051	- 4,051	- 0,02526
60	5	- 4,4808	- 0,1908	- 3,908	0,04616
64	6	- 4,8049	- 0,1544	- 3,544	0,07389
68	6	- 4,4374	- 0,1382	- 3,3820	0,1709
72	7	- 4,3009	0,1093	- 3,093	0,2351
76	7	- 3,8389	- 0,08728	- 2,8728	0,3890
80	8	- 3,3746	- 0,05675	- 2,5675	0,5460
84	8	- 2,0403	- 0,02169	- 2,2169	0,8264
86,5		- 2,0000	0,00000	- 2,0000	1,0000
					10,0000

Tab. 16: Porovnatelné hodnoty nameraného a teoretického napäťia cievky o rozmeroch: $r_1 = 28$ mm
 $r_2 = 86,5$ mm

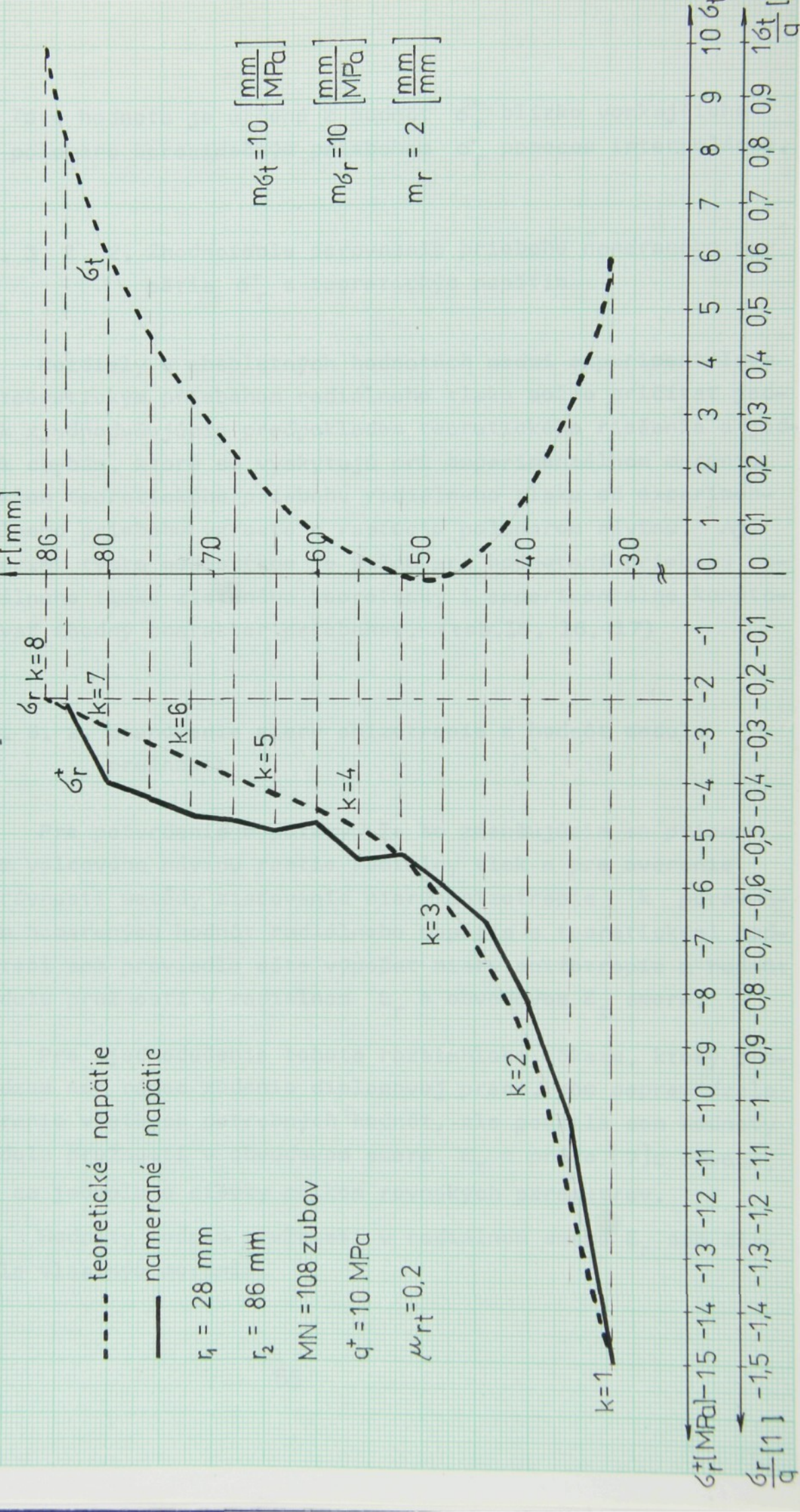
Obr. 18b Priebeh nameraného a teoretického napäťia



r_i [mm]	k_i	σ_r^t [MPa]	Teoretické napätie		
			$\frac{\sigma_r}{q}$ [1]	$-(\sigma_r \cdot 10 + 24)$ [MPa]	$\frac{\sigma_t}{q}$ [1]
32	1	- 15,0252	- 1,2330	- 14,730	0,0002
36	1	- 10,4249	- 1,0320	- 12,720	0,5611
40	2	- 8,2051	- 0,5689	- 8,089	0,07447
44	2	- 6,7897	- 0,5087	- 7,487	0,1162
48	3	- 6,0484	- 0,3464	- 5,864	- 0,0190
52	3	- 5,4097	- 0,3184	- 5,584	0,0564
56	4	- 5,5414	- 0,2414	- 4,814	0,0354
60	4	- 4,7790	- 0,2202	- 4,602	0,1198
64	5	- 4,9646	- 0,1733	- 4,133	0,1334
68	5	- 4,7575	- 0,1523	- 3,923	0,2306
72	6	- 4,6740	- 0,1177	- 3,577	0,2936
76	6	- 4,3675	- 0,0922	- 3,322	0,4468
80	7	- 4,0099	- 0,0587	- 2,987	0,5893
84	7	- 2,4925	- 0,0219	- 2,619	0,8464
86	8	2,4000	- 0,0000	- 2,400	1,0000
					10,000

Tab. 17 Porovnatelné hodnoty nameraného a teoretického napäťia cievky o rozmeroch: $r_1 = 28$ mm
 $r_2 = 86$ mm

Obr. 18c Priebeh namenaného a teoretického napäťia



Táto hodnota je určená z hodnôt σ_r^t blízko vonkajšieho polomeru aproximačným priebehom σ_r^t pomocou interpolácie.

10. 3. 1. 2. Zhodnotenie porovnania priebehu nameraného napäťia σ_r^t s teoretickým napäťím

Rozdiely v absolutných hodnotách medzi experimentálnym a teoretickým priebehom radiálneho tlaku možno pričítať jednak zjednodušujúcim predpokladom teoretického riešenia a jednak chybám, ktoré sa vyskytujú pri experimentálnom meraní. Odklon teoretického priebehu radiálneho tlaku od experimentálneho priebehu vzrástá s rastúcim polomerom návinu. Aj napriek týmto nedostatkom je možno pri hodnotení priebehu radiálneho tlaku zisteného teoreticky i experimentálne konštatovať zhodný charakter priebehov. (tab.15, 16, 17)

10. 3. 2. Stanovenie miery anizotropie z hodnôt modulu pružnosti

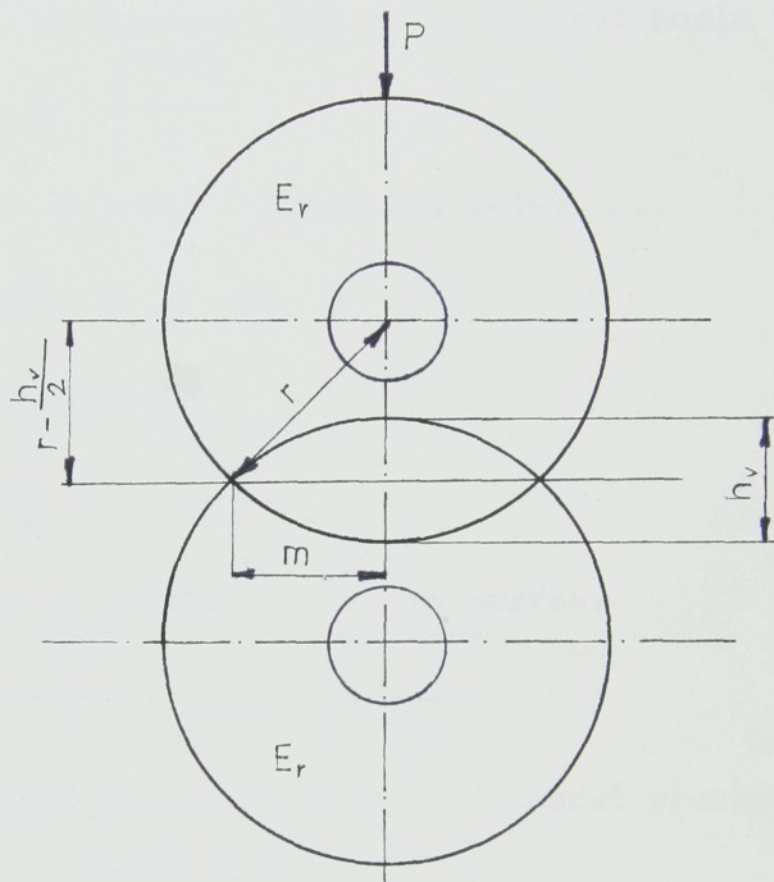
Pre potvrdenie hypotezy, že so zmenšujúcim sa priemerom valcového návinu rastie radiálny tlak a pre overenie správnosti metódy zisťovania miery anizotropie k porovnaním nameraných hodnôt radiálneho napäťia s teoretickými hodnotami som previedla ešte výpočet miery anizotropie z hodnôt modulu pružnosti v radiálnom E_r a obvodovom E_t smere.

Pre zjednodušenie tohto rozsiahleho dôkazu, ktorý prevádzam nad rámcem zadania diplomovej práce, som neprevádzala meranie všetkých potrebných hodnôt, ale použila som hodnoty modulu pružnosti v obvodovom smere E_t z práce [7] z dôvodu, že sa jednalo o cievky celkom rovnakých parametrov.

Hodnoty modulu pružnosti v radiálnom smere E_r som získaťa vlastným meraním.

10. 3. 2. 1. Teória zistenia modulu pružnosti návinu v radiálnom smere E_r .

Na základe aplikácie Hertzovej teórie možno určiť závislosť hĺbky prieniku h_v dvoch cievok do seba vplyvom prítlačnej sily P : $h_v = f(P)$, ktorá je základom stanovenia modulu pružnosti E_r cievky.



Obr. 19: Schéma prieniku dvoch telies do seba

kde r ... obecný polomer [mm]

P ... prítlačná sila [N]

E_r ... modul pružnosti cievok [MPa]

h_v ... hĺbka prieniku dvoch cievok do seba [mm]

m ... polovica šírky stykovej plochy [mm]

Dve valcové cievky s rovnakými polomermi a rovnakého materiálu sú zaťažené silou P rozloženou rovnomerne po dĺžke. Styková plocha dvoch cievok:

$$Sp = 2m \cdot l \quad (54)$$

kde $2m$... šírka stykovej plochy

l ... dĺžka stykovej plochy (dĺžka valcov)

Polovica šírky stykovej plochy sa stanovi podľa vzťahu:

$$m = 1,52 \sqrt{\frac{Pr}{El}} \quad (55)$$

a z obrázku 19. podľa Pytagorovej vety:

$$r^2 = m^2 + \left(r - \frac{h_v}{2}\right)^2 \quad (56)$$

Po úprave dostaneme:

$$m = \sqrt{r^2 - \frac{h_v^2}{4}} \quad (57)$$

a dosadením do vzťahu (55) získame vzťah:

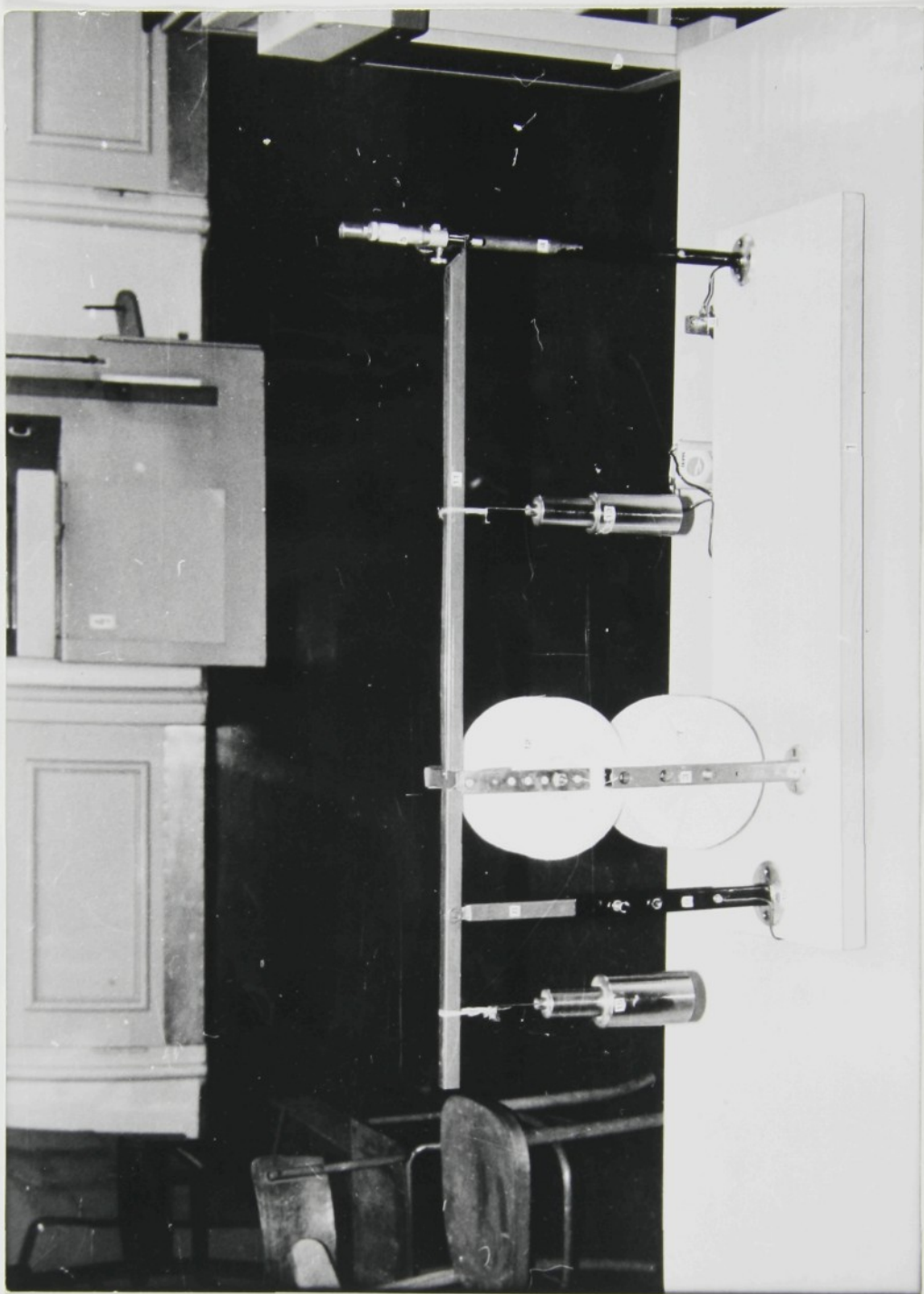
$$\sqrt{rh_v - \frac{h_v^2}{4}} = 1,52 \sqrt{\frac{Pr}{El}} \quad (58)$$

Zo vzťahu (58) po úprave vypočítame modul pružnosti:

$$E_r = \frac{2,314 \cdot P \cdot r}{1 \cdot h_v \cdot \left(r - \frac{h_v}{4}\right)} \quad (59)$$

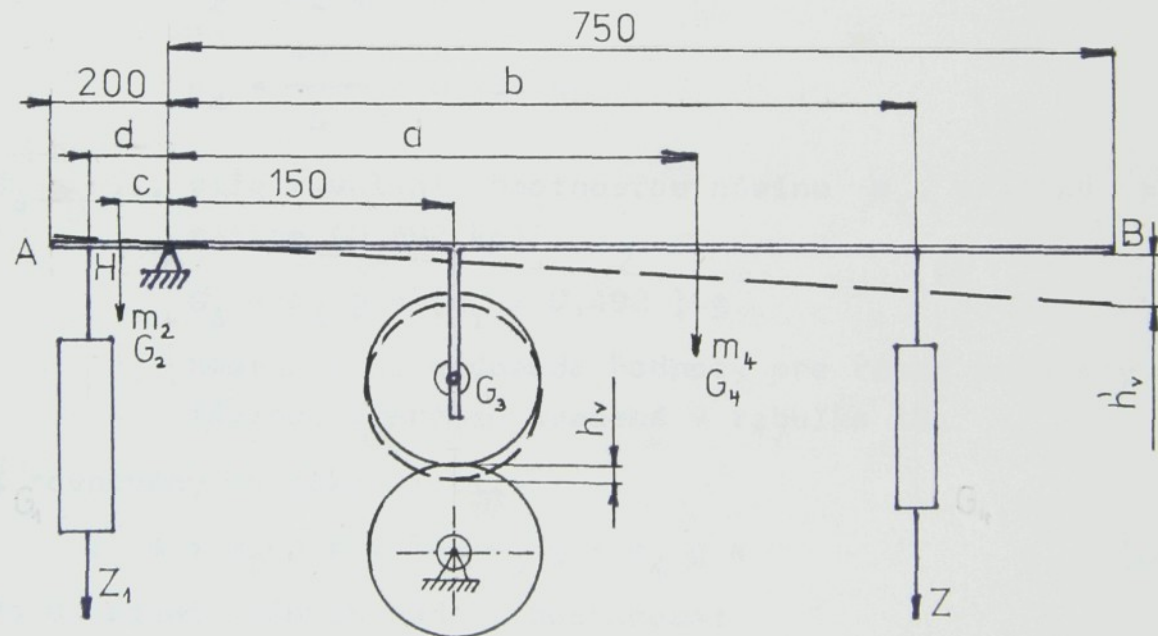
10. 3. 2. 1. 1. Meranie modulu pružnosti v radiálnom smere vo valcovej cievke s križovým vinutím

K meraniu modulu pružnosti v radiálnom smere koncového návinu som použila prístroj, ktorý je znázornený na obr. 20. a popísaný podľa práce [5].



Obr. 20: Prístroj na meranie radiálneho modulu pružnosti E_r .

Na základnej doske 1 je upevnený stojan 2, na ktorom je upevnený stojan 9. Meranú cievku drží držiak 3, držiak 4 nesie mikrometer 5, z ktorého odčítame hodnotu s absolutnou presnosťou 0,002 mm. Nastavenie požadovanej výšky tlakového stojanu umožňuje vnútorná pohyblivá časť stojanu 8, ktorý je umiestnený v stojane 9. Nastavená výška stojanu sa fixuje šróbmami 10. Pri meraní postupujeme tak, že na páku 11, na ktorej je upevnená horná cievka 12, sa zavesí závažie 13. Na ľavej strane páky je zavesené protizávažie 15 slúžiace k vyrovnaniu síl na páke, ktoré sú vyvolané tiažou páky, hornej cievky a ostatných prídavných telies na pravej strane páky. V okamžiku dotyku mikrometra s pákou pri meraní sa uzavrie elektrický obvod a zasieti kontrolná žiarovka 6, čo vylučuje subjektívny faktor pri meraní s mikrometrom. Pre presné stanovenie rovnováhy na páke možno meniť vzdialenosť protizávažia od otočného bodu H.



Obr. 21: Princíp prístroja pre určovanie modulu pružnosti E_r

- ... stav merania bez zaťaženia
 — ... stav merania pri zaťažení
 Z ... závažie, $Z = 20 \text{ N}$
 Z_1 ... sila vyvolaná protizávažím, $Z_1 = 30 \text{ N}$
 a, c ... vzdialenosť ťažiska ľavej a pravej časti páky od otočného bodu H
 $a = 310 \text{ mm}; c = 100 \text{ mm}$
 b ... vzdialenosť závažia od otočného bodu H [mm]
 m ... celková hmotnosť páky AB; $m = 0,980 \text{ kg}$
 g ... gravitačné zrýchlenie; $g = 9,8066 \text{ ms}^{-2}$
 G_2 ... sila vyvolaná hmotnosťou páky od bodu H do A;
 $G_2 = m_2 g \quad [\text{N}]$
 $m_2 = \frac{m}{5} = 0,196 \text{ kg}$
 G_4 ... sila vyvolaná hmotnosťou páky od bodu H do bodu B;
 $G_4 = m_4 g \quad [\text{N}]$
 $m_4 = \frac{4m}{5} = 0,784 \text{ kg}$
 G_3 ... sila vyvolaná hmotnosťou návinu m_i , valčeku a matice ($0,492 \text{ kg}$)
 $G_3 = m_3 g = (m_i + 0,492) \cdot g$
 hmotnosť m_3 nadobúda hodnoty pre rôzne polomery r_i návinu, ktoré sú uvedené v tabuľke 18.

Z rovnováhy na páke platí:

$$Z_1 \cdot d + m_2 \cdot g \cdot c = 150 \cdot m_3 \cdot g + m_4 \cdot g \cdot a \quad (60)$$

Po dosadení známych hodnôt dostaneme:

$$30 \cdot d + 9,80665 \cdot 0,196 = 150 \cdot m_3 \cdot 9,80665 + 0,784 \cdot 9,80665 \cdot 3 \quad (61)$$

Po úprave vzdialenosť d protizávažia Z_1 od bodu H stanovíme nasledujúcim vzťahom:

$$d = 9,80665 (5 \cdot m_3 + 7,488) \quad (62)$$

Tlaková sila pôsobiaca cez horné teleso na spodné sa určí vztahom:

$$P = \frac{b \cdot Z}{150} \quad (63)$$

Tab. 18: Hodnoty vzdialnosti protizávažia od bodu H

r_i [mm]	36	48	68	86
m_3 [kg]	0,585	0,717	0,981	1,244
d [mm]	102	108	121	134

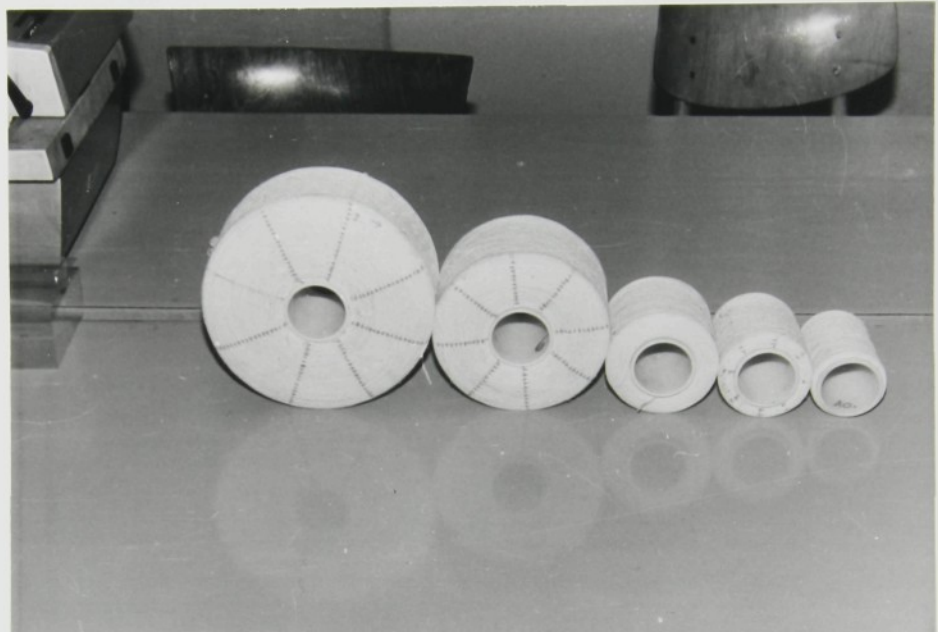
r_i ... príslušné vonkajšie polomery cievok, na ktorých bolo prevádzané meranie

Radiálny modul pružnosti E_{r_i} navinutých vrstiev sa mení následkom tlaku vonkajších vrstiev, preto je dôležité ho zmerať v závislosti na polomere návinu. Odvinieme cievky s predpokladom, že trvalá deformácia anizotropného telesa vplyvom tlaku vonkajších vrstiev ešte zostáva na odvinatej cievke. Tým môžeme veľmi približne sledovať závislosť $E_r = f(r_i)$

Pri zaťažení sa prejaví chyba z rôznych deformácií namáhaných časti prístroja (prieby páky, zmeny v uložení páky, upevnenie hornej cievky atď). Tieto chyby sa určia tzv. slepým pokusom, čo znamená, že namiesto pružnej cievky sa upevní materiál považovaný za dokonale pružný, v našom prípade

pevné valce a určia sa príslušné chyby h_s pre také zaťaženie dôľže sa bude používať pri meraní.

K meraniu som zvolila závažie $Z = 20 \text{ N}$, vzdialenosť $b = 450 \text{ mm}$ a potom podľa vzťahu (63) sa tlaková sila $P = 60 \text{ N}$



Obr. 22: Odvinuté cievky

Hodnoty získané slepým pokusom uvádzam v tabuľke 19.

Po slepom pokuse som prevádzala samotné meranie cievok o rovnakom polomere r_i a to tak, že som na seba tlačila dve cievky o rovnakom polomere namiesto pevných valcov, ako to bolo u slepého pokusu. Celkom som premerala štyri dvojice cievok o polomeroch uvedených v tabuľke 18. Na každom polomere som previedla štyri merania a to na rôznych miestach príslušného polomeru. Na mikrometri som najskôr odčítala hodnotu pri nulovom zaťažení h_0 . Potom som v zodpovedajúcej vzdialenosťi od bodu H zavesila závažie

$Z = 20 \text{ N}$ a odčítala hodnotu, ktorá predstavovala päťnásobok prieniku h_1' cievok do seba. K presnejšiemu určeniu hodnoty pri nulovom zaťažení som ešte po odlahčení odčítala hodnotu h_o . Obidve hodnoty som spriemerovala.

Tab. 19: Hodnoty získané slepým pokusom

pred zaťažením [mm]	po zaťažení [mm]	h_s [mm]	\bar{h}_s [mm]
12,09	10,76	1,33	0,985
12,38	11,89	0,49	
13,28	11,79	1,13	
13,36	12,37	0,99	

10. 3. 2. 1. 2. Spracovanie nameraných hodnôt

Dosiaľ získané hodnoty (h_s , h_o , h_1' , P , r_i , l) už umožňujú podľa vzťahu (59) určiť modul pružnosti v radiálnom smere cievky.

Z dĺžkových pomerov na páke sa určí hĺbka prieniku cievok do seba podľa vzťahu:

$$h_v = \frac{150 h_v'}{750} = \frac{h_v'}{5} \quad (64)$$

$$h_v = h_l - \bar{h}_s \quad (65)$$

$$h_l = h_o - h_1 \quad (66)$$

kde h_l ... pätnásobok prieniku cievok do seba

h_v ... pätnásobok deformácie cievky zahrňujúci v sebe
i chyby prístroja zmerané slepým pokusom

h_v ... skutočný prienik cievok do seba

Priemerné hodnoty modulu pružnosti v radiálnom smere cievky na danom polomere vypočítame zo vzťahu:

$$\bar{E}_r(r) = \frac{1}{k} \sum_{j=1}^k E_{r_j}(r) \quad (67)$$

k ... počet meraní na jednom polomere

Získané hodnoty (namerané a vypočítané) uvádzam v prílohe 5. Výsledné hodnoty modulu pružnosti v radiálnom smere koncového návinu na príslušných polomeroch uvádzam v tabuľke 20.

Tab. 20

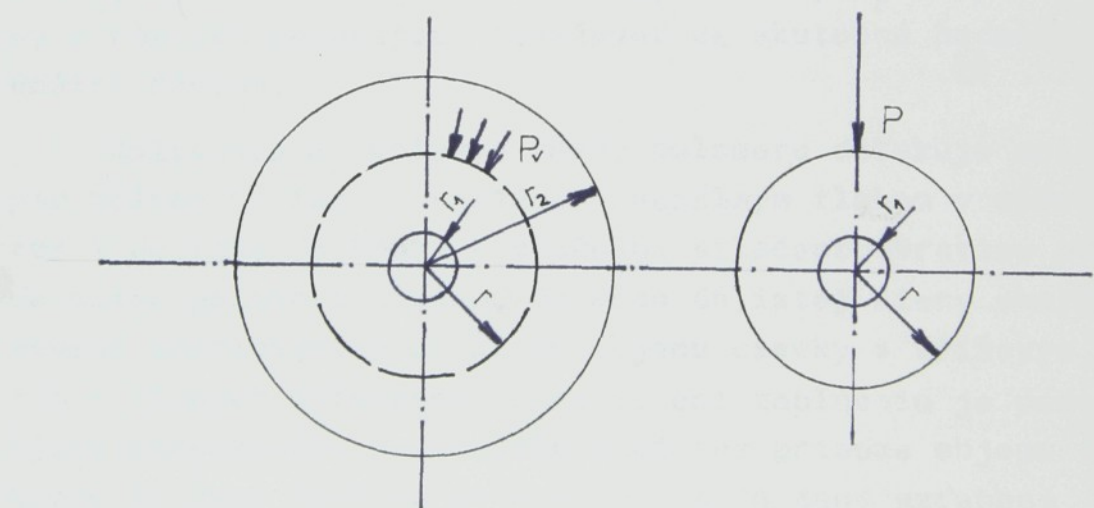
r [mm]	E_r [MPa]	s_{E_r} [MPa]	v_{E_r} [%]
34	1,7273	0,1300	7,5262
48	1,1780	0,4069	34,5416
68	0,9603	0,6714	69,9157
86	0,5275	0,1816	34,4265

- kde r ... polomery cievky
 E_r ... modul pružnosti v radiálnom smere cievky
 s_{E_r} ... smerodatná odchylka modulu pružnosti
 v_{E_r} ... variačný koeficient modulu pružnosti

10. 3. 2. 1. 3. Zhodnotenie merania modulu pružnosti E_r

Hertzová teória tlakov, ktorá tvorí základ odvodenia merania vychádza z lineárnej závislosti medzi napäťím a deformáciou, pričom modul pružnosti v radiálnom smere cievky je funkciou jej polomeru. U experimentálneho merania používam tlakové napätie $\frac{P}{Sp}$ vyvolávajúce deformáciu cievky $\frac{h_v}{2}$

ktoré vlastne nahradzuje tlak P_v , čo je tlak spôsobený vonkajšími vrstvami cievky na polomeru $r_2 - r$ ako zobrazuje obr. 23, keby nedošlo k odvinutiu návinu.



Obr. 23: Meranie E_r na menších polomeroch cievky

Pred odvinutím na obecný polomer cievky r pôsobi tlak p_v a po odvinutí $\frac{P}{Sp}$. Potom z Hookovho zákona sa dá stanoviť skutočná deformácia návinu podľa vzťahu:

$$H_v = \frac{p_v}{\frac{h_v}{2}} \quad (68)$$

kde H_v ... skutočná deformácia cievky na obecnom polomere r, spôsobená tlakom p_v

$\frac{h_v}{2}$... deformácia cievky spôsobená tlakovou silou P

p_v ... tlak vyvolaný vonkajšími vrstvami cievky

Sp ... styková plocha cievok

Z toho vyplýva, že pre obidve tlaky $(\frac{P}{Sp}, p_v)$ existuje

na danom polomere zhodný modul pružnosti v radiálnom smere cievky E_r . Preto môžeme z meranej hodnoty E_r na povrchu cievky o rôznych polomeroch považovať za skutočné hodnoty E_r vo vnútri návinu.

Kolisanie E_r vplyvom zmeny polomeru dokažuje anizotropiu telesa návinu. S rastúcim radiálnym tlakom v cievke smerom k dutinke dochádza k značnému stlačeniu vrstiev priadze na malom polomere návinu, čo máme do istej miery charakterizované koeficientom zaplnenia objemu cievky s krížovým vynutím o rôznych polomeroch. Koeficient zaplnenia je pomer objemu kompaktného navinutého množstva priadze objemu cievky, ktorý priadza zaujíma po navinutí a je daný vzťahom:

$$\chi_i = \frac{m_i \cdot 10^6}{\pi \bar{l}_i \cdot (r_2^2 - r_1^2) \rho} \quad (69)$$

kde α_i ... koeficient zaplnenia na i-tom polomerze

m_i ... hmotnosť cievky

\bar{l}_i ... priemerná dĺžka telesa návinu

$$\bar{l}_i = \frac{1}{j} \sum_{j=1}^j l_j \quad (70)$$

j ... počet meraných dĺžok

$\sum l_j$... súčet meraných dĺžok

ρ ... merná hmotnosť bavlny

r_1 ... vnútorný polomer cievky

r_2 ... vonkajší polomer cievky

π ... Ludolfovo číslo

Hodnoty pre stanovenie koeficientu zaplnenia a samotné hodnoty koeficientu zaplnenia uvádzam v tabuľke 21.

Tab. 21

j	r_2 [mm]	l_j [mm]	\bar{l}_i [mm]	m_i [g]	α_i [1]
1	34	90	90	58,5	0,268
2	48	94	92	219	0,254
3	68	92	92	556	0,251
4	86	91	91,75	850	0,244

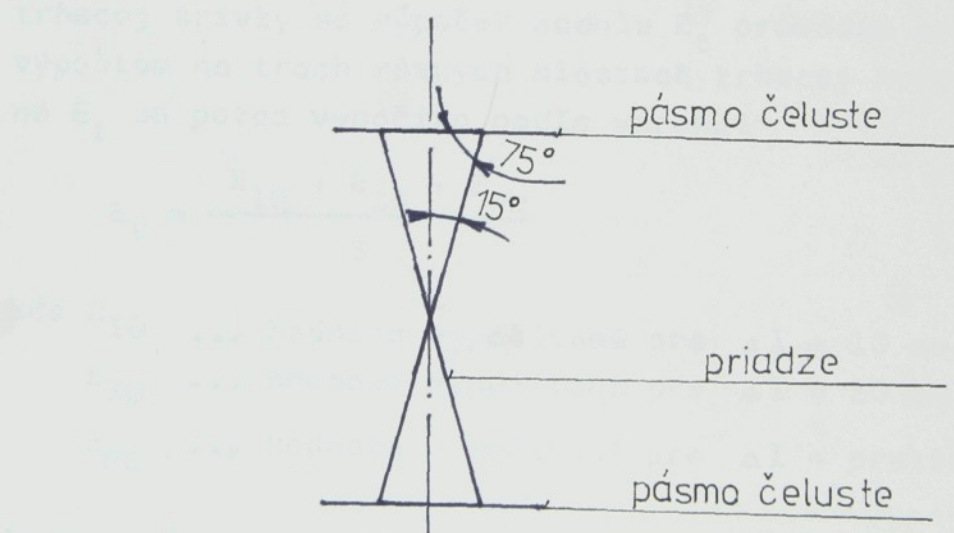
Smerom k menšiemu polomeru rastie koeficient zaplnenia, to znamená, že stlačenie návinu je väčšie na menších polomeroch.

10. 3. 2. 2. Zistovanie modulu pružnosti v obvodovom smere E_t

Modul pružnosti v obvodovom smere sa stanovi z modulu pružnosti niťového materiálu, ktorý sa zistí ďahovou skúškou.

10. 3. 2. 2. 1. Stanovenie E_t pomocou ďahovej skúšky

K stanoveniu E_t pre lepšie stimulovanie podmienok navijania priadze pri navijacom procese sa používa upravená ďahová, resp. trhacia skúška a to tak, že materiál sa námaha pod rovnakým uhlom ako sa navíjal, čo charakterizuje obrázok 24.



Obr. 24: Schéma upnutia priadze pri trhacej skúške

Pri stanovení E_t z trhacej skúšky sa vychádza z grafického záznamu závislosti $F - \Delta l$, pričom sa podľa Hookovho zákona sily a príslušné predĺženie odčíta v tom mieste, kde končí lineárna časť grafického záznamu. Potom E_t sa vypočíta podľa vzťahu:

$$E_t = \frac{F \cdot L \cdot \rho \cdot \cos 15^\circ}{n T + \Delta L} \quad (71)$$

kde F ... sila odčítaná z grafického záznamu

L ... upínacia dĺžka; $L = 500$ mm

ρ ... merná hmotnosť bavlny; $\rho = 15\ 200$ kg m^{-3}

$\cos 15^\circ$. uhol, pod ktorým sa mení prierez priadze z kruhového na elipsovity v ose trhacieho prístroja

ΔL ... predĺženie nite

T ... jemnosť skúšanej priadze

n ... počet nítí pri jednom pokuse; $n = 2$

Pre obtiažne určovanie lineárneho tvaru z celkovej trhacej krivky sa výpočet modulu E_t prevádzza približným výpočtom na troch rôznych miestach trhacej krivky. Výsledné E_t sa potom vypočíta podľa vzťahu:

$$E_t = \frac{E_{10} + E_{30} + E_{PR}}{3} \quad (72)$$

kde E_{10} ... hodnota vypočítaná pre $\Delta l = 10$ mm

E_{30} ... hodnota vypočítaná pre $\Delta l = 30$ mm

E_{PR} ... hodnota vypočítaná pre $\Delta l =$ pretrhnutie priadze

Priemerná hodnota E_t podľa práce [7] činí 1 094 MPa.

10. 3. 2. 3. Výpočet miery anizotropie

Miera anizotropie sa vypočíta podľa vzťahu (5), ale tento vzťah nie je úplný, pretože nezahrňa rozdielne podmienky merania E_r a E_t . Modul pružnosti v radiálnom smere E_r je meraný priamo na cievke, ktorá má koeficient zaplnenia objemu α a modul pružnosti v obvodovom smere E_t bol meraný na kompaknej jednotlivej priadzi.

Z dôvodu aspoň približného stanovenia mieri anizotropie sa vzťah (5) upravuje pomocou koeficientu zaplnenia objemu α a potom má vzťah (5) tvar:

$$k = \sqrt{\frac{E_t \cdot \alpha}{E_r}} \quad (73)$$

Tým sa docieli toho, že E_t nie je tvorený len kompaktným priadzovým materiálom.

Vypočítané hodnoty mieri anizotropie sú uvedené v tabuľke 22.

Tab. 22

r_2 [mm]	E_r [MPa]	α [1]	E_t [MPa]	k [1]
34	1,7273	0,268	1094	13,027
48	1,1780	0,254	1094	15,359
68	0,9603	0,251	1094	16,910
86	0,5275	0,244	1094	22,495

Takto určená miera anizotropie k dokazuje anizotropiu valcového návinu s križovým vinutím.

10. 3. 3. Zhodnotenie metód určovania miery anizotropie

Obidve metódy stanovenia miery anizotropie telesa návinu majú zhodný charakter priebehu. Miera anizotropie telesa návinu sa zväčšuje od jeho dutinky smerom k povrchu návinu, ale samotné číselné hodnoty sa nezhodujú. Hodnota miery anizotropie zistená porovnaním grafov je menšia než hodnota miery anizotropie, ktorá sa stanoví z merania modulov pružnosti E_r a E_t . Tento rozdiel hodnôt miery anizotropie telesa stanovenej obidvoma metódami je zapríčinený:

- teoretické poňatie riešenia sa vymedzuje na základe zjednodušených predpokladov,
- namerané hodnoty σ_r^+ sú väčšie než v skutočnosti,
- pri meraní sú určité nepresnosti (napr. chyba prístroja)

Podľa práce [5] sa môže tvrdiť, že hodnota miery anizotropie valcového návinu zistená približným porovnaním nameraných hodnôt rádiálneho napäťia σ_r^+ s teoretickými hodnotami σ_r presnejšie odráža zmeny miery anizotropie telesa návinu od jeho dutinky k povrchu.

11. ZÁVER

Princíp riešenia vychádza z teórie pružnosti a pevnosti pre stav napäťosti valcových hrubostenných nádob. Jeho výsledky spočívajú v zistení priebehu napäti v závislosti na nasledujúcich faktoroch: miera anizotropie telesa k , Poissonovom čísle μ_{rt} , navijacím napätiom, koefficientom zaplnenia χ , geometrických rozmerov (r_1, r_2) cievok a tiež na druhu spracovanej suroviny a použitej jemnosti vypriadanej priadze.

V prvej časti som sa zaoberala, či prístroj E-KVÚ má vplyv na pevnosť a tiažnosť priadze. Ako vyplýva z kapitoly 7., kde som previedla štatistické výhodnotenie, môžem konštatovať, že prístroj E-KVÚ nemá podstatný vplyv na uvedené vlastnosti priadze.

V druhej časti som sa zaoberala zistením radiálneho nepäťia, kde z výsledkov z kapitoly 10. je vidno, že v návine cievky je najväčší radiálny tlak na povrchu dutinky cievky. Výsledky experimentálneho merania radiálneho tlaku v návine sú približne rovnaké s výsledkami dosiahnutými teoreticky.

Touto diplomovou prácou som sa snažila prispieť k rozšíreniu informácií o štruktúre návinu a ich využití v praxi.

ZOZNAM POUŽITÝCH SKRATIEK A SYMBOLOV

A	... merací bod (miesto vpichnutia hrotu)
A^2	... konštanta [mm^{2k}]
B	... operný bod prístroja
C_1	... konštanta [Nmm^{-k-1}]
C_2	... konštanta [Nmm^{k-1}]
Cs	... tiažisko páky
E_r	... modul pružnosti v radiálnom smere [MPa]
\bar{E}_r	... priemerná hodnota modulu pružnosti v radiálnom smere cievky [MPa]
E_t	... modul pružnosti v obvodovom smere [MPa]
\bar{E}_t	... priemerná hodnota modulu pružnosti v obvodovom smere cievky [MPa]
E_{10}	... hodnota modulu pružnosti v obvodovom smere pre $\Delta l = 10 \text{ mm}$
E_{30}	... hodnota modulu pružnosti v obvodovom smere pre $\Delta l = 30 \text{ mm}$
E_{pr}	... hodnota modulu pružnosti v obvodovom smere pre $\Delta l = \text{pretrhnutie priadze}$
\hat{EF}	... dĺžka oblúka [mm]
F	... testová charakteristika $F \sim \text{test}$
F	... sila odčítaná z grafického záznamu z ľahovej skúšky [N]
$F_{\frac{k}{2}}$... kritická hodnota F-testu
F_i	... sila pôsobiaca na hrot prístroja E-KVÚ
$F(r_x)$... napínacia sila pri navíjaní [N]
G	... tiažová sila páky [N]
G_2	... sila vyvolaná hmotnosťou páky od bodu H do bodu A [I]
G_3	... sila vyvolaná hmotnosťou návinu, válčeka, matice [I]
G_4	... sila vyvolaná hmotnosťou páky od bodu H do bodu B [I]
H_0	... nulové hypotéza
H_1	... alternatívna hypotéza

H_v	... skutočná deformácia cievky na obecnom polomeru r , spôsobená tlakom p_v
L	... upínacia dĺžka [mm]
ΔL	... predĺženie nite [mm]
P	... prítlačná sila [N]
S	... plocha priečného rezu nite [mm^2]
S_h	... tretia plocha hrotu [mm^2]
S_M	... plocha plášťa kužela [mm^2]
Sp	... styková plocha cievok [mm^2]
S_1	... dĺžka strany kužela hrotu [mm]
Z	... sila vyvolaná závažím [N]
Z_1	... sila vyvolaná protizávažím [N]
$a, c,$... vzdialenosť ťažiska ľavej a pravej časti páky od otočného bodu H [mm]
b	... vzdialenosť závažia od otočného bodu H [mm]
d	... vzdialenosť protizávažia od bodu H [mm]
d_h	... priemer hrotu [mm]
e	... priemerná dĺžka vzniknutého otvoru v priadzovom telesu návinu [mm]
a, b, f	... vzdialenosť sôl k bodu B na prístroji E-KVÚ [mm]
g	... gravitačné zrýchlenie [ms^{-2}]
h_o	... hodnota na mikrometri pri nulovom zaťažení [mm]
h_1	... päťnásobok prieniku cievok do seba
h_s	... namerané hodnoty mikrometrom [mm]
\bar{h}_s	... priemerná hodnota nameraných hodnôt mikrometrom [mm]
h_v	... skutočný prienik cievok do seba
\bar{h}_v	... päťnásobok deformácie cievky zahrňujúci v sebe chyby prístroja zmerané slepým pokusom
h_{vp}	... hĺbka vpichu prístroja E-KVÚ [mm]
$\frac{h_v}{2}$... deformácia cievky spôsobená tlakovou silou P
k	... miera anizotropie [1]
l	... dĺžka stykovej plochy [mm]
\bar{l}_1	... priemerná dĺžka telesa [mm]

Δl_{ij}	... jednotlivé hodnoty namerané prístrojom E-KVÚ [1]
\bar{l}_i	... priemerná hodnota počtu dielikov [1]
m	... celková hmotnosť páky AB [kg]
$2m$... šírka stykovej plochy [mm]
m_i	... hmotnosť návinu [kg]
m_i	... hmotnosť stometrového úseku [g]
m_2	... hmotnosť páky od bodu H do bodu A [kg]
m_3	... hmotnosť návinu, valčeka, matice [kg]
m_4	... hmotnosť páky od bodu H do bodu B [kg]
m_r	... modul na ose polomeru r [$\frac{mm}{mm}$]
$m\sigma^+$... modul na ose nameraného napätia σ_r^+ [$\frac{mm}{MPa}$]
$m\sigma$... modul na ose pomeru hodnôt $\frac{\sigma_r}{q}$ [$\frac{mm}{l}$]
m_g	... hmotnosť páky [kg]
m_z	... hmotnosť závažia [kg]
n	... počet meraní [1]
p	... vnútorný tlak dutinky [MPa]
p_v	... tlak vyvolaný vonkajšími vrstvami cievky [MPa]
r	... obecný polomer návinu [mm]
r_1	... vnútorný polomer návinu [mm]
r_2	... vonkajší polomer návinu [mm]
r_x	... okamžitá hodnota polomeru [mm]
Δr	... elementárna hrúbka, ktorou sa mení polomer r_x [mm]
s	... smerodatná odchylka
$\Delta s(r_x)$... elementárny radiálny tlak [MPa]
t	... testová charakteristika t - testu
u	... absolútny radiálny posuv priadze na polomere r [mm]
v	... variačný koeficient [%]
q_v	... vonkajší prítlač [MPa]
$q(r_x)$... napätie pri navíjaní [MPa]
q^+	... hodnota napätia, ktorá pretrváva v cievke po dobu jej tvorby [MPa]
$q(r)$... navíjacie napätie pri navíjaní na obecný polomer

\bar{x}	... priemerná hodnota pevnosti, ťažnosti
β_r	... uhol stúpania krivky navíjanej nite
β_{hyp}	... uhol stúpania cejchovacej krivky
β_{vp}	... uhol vpichu hrotom
E_t	... pomerné predĺženie v obvodovom smere [1]
σ_a	... axiálne napätie [MPa]
σ_r	... radiálny tlak priadzového telesa [MPa]
σ_t	... namerané hodnoty radiálneho napäťia v cievke [MPa]
σ_{ri}	... radiálny tlak na rôznych polomeroch návinu [MPa]
σ_t	... obvodové napätie priadzového telesa [MPa]
σ_1^2	... rozptyl pevnosti, ťažnosti priadze z cievky, na ktorej nebolo prevádzané vpichovanie
σ_2^2	... rozptyl pevnosti, ťažnosti priadze z cievky, na ktorej bolo prevádzané vpichovanie
μ_{rt}	... Poissonovo číslo charakterizujúce preťaženie telesa návinu v obvodovom smere pri stlačení v radiálnom smere na polomere r
μ_1	... aritmetický priemer pevnosti, ťažnosti priadze z cievky, na ktorej nebolo prevádzané vpichovanie
ν	... stupeň voľnosti
2τ	... uhol opásania
π	... Ludolfovo číslo
ρ	... merná hmotnosť bavlny [kg m^{-3}]
α	... koeficient zaplnenia na i-tom polomere
$\cos 15^\circ$... uhol, pod ktorým sa mení prierez priadze z kru- hového na elipsovity v ose trhacieho prístroja

POUŽITÁ LITERATÚRA

- [1] Hes, L.; Ursíny, P.; Usenko, V. A.; Vieth, H.: Stroje a technológia tvarovania, II. diel skripta VŠST Liberec, 1982
- [2] Lechnickij, S. G.: Teorija uprugosti anizotropnovo těla, GITTL Moskva, 1950
- [3] Ursíny, P.: Teória pradenia, I. diel, skripta VŠST Liberec, 1980
- [4] Proskurjakov, S. A.; Olehla, M.; Tišer, J.: Základy numerických metód a programovania, skripta VŠST Liberec, 1982
- [5] Ninh, T. M.: Mechanické štruktúra koncových návinov, Kandidatská práca, VŠST Liberec, 1984
- [6] Černý, J.: Teória spolahlivosti a riadenia akostí prednášky
- [7] Tomiček, L.: Mechanická štruktúra koncových návinov, Diplomová práca, VŠST Liberec, 1984

ZOZNAM PRÍLOH

1. Namerané a teoretické hodnoty radiálneho tlaku
2. Hodnoty z prístroja Multimat pre cievky, kde nebolo prevedené vpichovanie
3. Hodnoty z prístroja Multimat pre cievky, kde bolo prevádzané vpichovanie
4. Určenie počtu dielikov pre výpočet prítlačnej sily telesa návinu na hrot prístroja E-KVÚ v radiálnom smere
5. Hodnoty modulu pružnosti v radiálnom smere

Príloha 1: Teoretické hodnoty radiálneho napäťia pre cievku $r_2 = 100,5$ mm

$r_2 \backslash K$	1	2	3	4	5	6	7	8	9	10
32	-1,4480	-0,7957	-0,4845	-0,3312	-0,2474	-0,1967	-0,1635	-0,1401	-0,1227	-0,1093
	0,5306	0,0477	-0,1602	-0,2273	-0,2369	-0,2245	-0,2047	-0,1835	-0,1632	-0,1450
36	-1,2320	-0,7072	-0,4522	-0,3211	-0,2458	-0,1982	-0,1657	-0,1423	-0,1247	-0,1109
	0,4763	-0,0308	-0,2143	-0,2469	-0,2290	-0,1996	-0,1716	-0,1481	-0,1292	-0,1142
40	-1,0620	-0,6405	-0,4286	-0,3134	-0,2436	-0,1978	-0,1659	-0,1425	-0,1249	-0,1111
	0,4611	-0,042	-0,2124	-0,2377	-0,2180	-0,1896	-0,1636	-0,1421	-0,1249	-0,1112
44	-0,9232	-0,5851	-0,4078	-0,3056	-0,2406	-0,1966	-0,1654	-0,1424	-0,1248	-0,1110
	0,4693	-0,0163	-0,1834	-0,2150	-0,2031	-0,1808	-0,1586	-0,1395	-0,1235	-0,1103
48	-0,8063	-0,5359	-0,3874	-0,2968	-0,2367	-0,1949	-0,1646	-0,1420	-0,1246	-0,1110
	0,4919	0,0295	-0,1394	-0,1835	-0,1836	-0,1696	-0,1525	-0,1362	-0,1218	-0,1096
52	-0,7053	-0,4902	-0,3663	-0,2866	-0,2317	-0,1924	-0,1634	-0,1414	-0,1243	-0,1108
	0,5232	0,0877	-0,0859	-0,1446	-0,1386	-0,1544	-0,1436	-0,1311	-0,1190	-0,1080
56	-0,6162	-0,4467	-0,3441	-0,2749	-0,2254	-0,1890	-0,1615	-0,1404	-0,1238	-0,1105
	0,5508	0,1533	-0,0241	-0,0988	-0,1270	-0,1339	-0,1307	-0,1231	-0,1141	-0,1051
60	-0,5365	-0,4043	-0,3205	-0,2614	-0,2176	-0,1844	-0,1589	-0,1389	-0,1229	-0,1100
	0,5995	0,2235	0,4345	-0,0450	-0,0880	-0,1067	-0,1122	-0,1109	-0,1061	-0,0998
64	-0,4642	-0,3628	-0,2955	-0,2460	-0,2080	-0,1785	-0,1552	-0,1366	-0,1215	-0,1091
	0,6408	0,2968	-0,1166	-0,0164	-0,0402	-0,0711	-0,0865	-0,0926	-0,0933	-0,0911
68	-0,3980	-0,3218	-0,2960	-0,2285	-0,1965	-0,1709	-0,1502	-0,1332	-0,1193	-0,1077
	0,6828	0,3720	-0,1951	0,0861	0,1173	-0,0255	-0,0513	-0,0651	-0,0735	-0,0765
72	-0,3368	-0,2811	-0,2409	-0,2089	-0,1828	-0,1613	-0,1434	-0,1285	-0,1160	-0,1053
	0,7249	0,4486	-0,2786	-0,1654	-0,0860	-0,0322	-0,0041	-0,0282	-0,0437	-0,0533
76	-0,2798	-0,2407	-0,2112	-0,1870	-0,1666	-0,1493	-0,1345	-0,1219	-0,1111	-0,1017
	0,7666	0,5261	0,3670	0,2521	0,1671	0,1043	0,0852	0,0246	0,0003	-0,0170
80	-0,2265	-0,2004	-0,1800	-0,1627	-0,1476	-0,1344	-0,1230	-0,1129	-0,1040	-0,0962
	0,8077	0,6043	0,4604	0,3493	0,2621	0,1933	0,1363	0,0960	0,0639	0,0381
84	-0,1762	-0,1602	-0,1472	-0,1357	-0,1255	-0,1163	-0,1081	-0,1007	-0,9400	-0,0880
	0,8481	0,6829	0,5587	0,4570	0,3724	0,3020	0,2433	0,1945	0,1540	0,1204

4 ml 40

r_2^K	1	2	3	4	5	6	7	8	9	10
88	- 0,1288	- 0,1201	- 0,1128	- 0,1062	- 0,1001	- 0,0944	- 0,0892	- 0,0845	- 0,0800	- 0,0759
	0,8875	0,7619	0,6618	0,5754	0,4997	0,4334	0,3763	0,3244	0,2768	0,2408
92	- 0,0838	- 0,0800	- 0,0768	- 0,0738	- 0,0709	- 0,0682	- 0,0656	- 0,0631	- 0,0608	- 0,0586
	0,9260	0,8411	0,7697	0,7050	0,6456	0,5911	0,5410	0,4950	0,4527	0,4139
96	- 0,0409	- 0,0400	- 0,0391	- 0,0384	- 0,0376	- 0,0369	- 0,0362	- 0,0355	- 0,0348	- 0,0341
	0,9655	0,9205	0,8825	0,8464	0,8119	0,7787	0,7469	0,7163	0,6870	0,6589
100	- 0,0099	- 0,0099	- 0,0099	- 0,0098	- 0,0098	- 0,0098	- 0,0097	- 0,0097	- 0,0096	- 0,0096
	0,9910	1,9803	0,9704	0,9607	0,9510	0,9801	0,9320	0,9226	0,9133	0,9041

Poznámka : 32 1,2330 teoretické hodnoty radiálneho napäťia
 0,6002 teoretické hodnoty bvodového napäťia

Príloha 1: Teoretické hodnoty radiálneho a obvodového napäťia pre cievku $r_2 = 86$ mm

$r_2 \backslash r$	1	2	3	4	5	6	7	8	9	10
32	- 1,2330	- 0,7307	- 0,4644	- 0,3247	- 0,2452	- 0,1960	- 0,1632	- 0,1400	- 0,1227	- 0,1093
	0,6002	0,1254	0,1122	0,2033	0,2260	0,2199	0,2028	0,1827	0,1629	0,1448
36	- 1,0320	- 0,6396	- 0,4281	- 0,3121	- 0,2423	- 0,1968	- 0,1652	- 0,1421	- 0,1246	- 0,1109
	0,5611	0,06764	0,1497	0,2119	0,2116	0,1914	0,1679	0,1464	0,1285	0,1139
40	- 0,8733	- 0,5689	- 0,3996	- 0,3011	- 0,2383	- 0,1955	- 0,1648	- 0,1421	- 0,1247	- 0,1110
	0,5568	0,07447	0,1304	0,1892	0,1915	0,1758	0,1565	0,1386	0,1323	0,1103
44	- 0,7427	- 0,5087	- 0,3732	- 0,2893	- 0,2329	- 0,1929	- 0,1636	- 0,1415	- 0,1244	- 0,1108
	0,5731	0,1162	0,0829	0,1502	0,1644	0,1585	0,1462	0,1326	0,1198	0,1085
48	- 0,6319	- 0,4542	- 0,3464	- 0,2756	- 0,2257	- 0,1891	- 0,1616	- 0,1404	- 0,1238	- 0,1105
	0,6018	0,1775	0,0189	0,0993	0,1287	0,1352	0,1315	0,1236	0,1144	0,1053
52	- 0,5357	- 0,4029	- 0,3184	- 0,2598	- 0,2166	- 0,1838	- 0,1585	- 0,1386	- 0,1128	- 0,1099
	0,6379	0,2509	0,0564	0,0379	0,08290	0,1031	0,1097	0,1091	0,1049	- 0,0991
56	- 0,4504	- 0,3534	- 0,2886	- 0,2414	- 0,2051	- 0,1766	- 0,1540	- 0,1358	- 0,1212	- 0,1088
	0,6783	0,3301	0,1408	0,0354	0,0253	0,0595	0,0778	0,0861	0,0886	- 0,0877
60	- 0,3737	- 0,3059	- 0,2570	- 0,2202	- 0,1908	- 0,1669	- 0,1479	- 0,1314	- 0,1180	- 0,1068
	0,7210	0,4142	0,2330	0,1198	0,04616	0,0016	0,0321	0,0509	0,0618	0,0676
64	- 0,3040	- 0,2574	- 0,2233	- 0,1960	- 0,1733	- 0,1544	- 0,1384	- 0,1248	- 0,1132	- 0,1033
	0,7648	0,5011	0,3325	0,2164	0,1334	0,07389	0,0315	0,0016	0,0192	- 0,0333
68	- 0,2398	- 0,2102	- 0,1875	- 0,1686	- 0,1523	- 0,1382	- 0,1259	- 0,1153	- 0,1059	- 0,0977
	0,8089	0,5899	0,4389	0,3259	0,2386	0,1709	0,1185	0,0779	0,0469	0,0231
72	- 0,1803	- 0,1632	- 0,1496	- 0,1377	- 0,1273	- 0,1177	- 0,1093	- 0,1017	- 0,0948	- 0,0887
	0,8527	0,6799	0,5520	0,4491	0,3641	0,2936	0,2351	0,1866	0,1465	0,1153
76	- 0,1248	- 0,1165	- 0,1095	- 0,1033	- 0,0975	- 0,0922	- 0,0873	- 0,0127	- 0,0785	- 0,0796
	0,8959	0,7707	0,6718	0,5869	0,5124	0,4468	0,3890	0,3382	0,2935	0,2541
80	- 0,07270	- 0,0698	- 0,0673	- 0,0650	- 0,0628	- 0,0607	- 0,0587	- 0,0568	- 0,0549	- 0,0532
	0,9383	0,8621	0,7982	0,7400	0,6860	0,6359	0,5893	0,5460	0,5058	0,4684
84	- 0,02357	- 0,0233	- 0,0229	- 0,0227	- 0,0235	- 0,0222	- 0,0219	- 0,0217	- 0,0215	- 0,0212
	0,9797	0,9540	0,9511	0,9091	0,8877	0,8668	0,8464	0,8264	0,8070	0,7879

Poznámka: 32 1,2330 : teoretické hodnoty radiálneho napäťia
0,6002 : teoretické hodnoty obvodového napäťia

RECORD OF BREAKING LOAD AND EXTENSION VALUES

NO. OF RECORD: 3

SPECIMEN:

BA

ZKOUSKA

NOM. COUNT: 29.5 TEX

RANGE: 30 N
 CLAMPING LENGTH: 500 MM
 DET. OF BREAK: 50 %
 LIMITS 1: 0.5 - 30 N
 LIMITS 2: 10 - 80 MM
 N = 150

	1.		2.		3.		4.		5.		6.
	N	MM	N	MM	N	MM	N	MM	N	MM	N
1.	3.38	40.0	1.68	18.8	3.10	33.4	1.20	20.4	2.66	12.4	2.58
2.	3.32	39.1	2.73	32.4	3.27	36.7	3.21	44.1	3.30	16.7	2.72
3.	3.30	39.0	2.83	35.2	3.02	35.2	3.27	42.4	1.31	13.3	2.71
4.	0.14*	41.0	2.71	32.8	3.11	32.4	3.16	40.7	3.37	16.7	2.82
5.	0.10*	58.3	2.85	34.2	2.52	30.6	2.17	31.8	3.12	15.2	2.70
6.	0.08*	44.3	3.14	36.7	2.85	35.0	2.34	34.7	3.17	15.0	2.55
7.	0.10*	57.5	2.95	36.7	2.62	33.9	0.22*	7.2*	2.74	12.2	2.61
8.	0.08*	49.1	2.59	29.0	2.65	33.4	3.34	42.1	3.46	16.3	2.70
9.	0.08*	32.7	3.56	37.4	2.83	32.4	3.04	39.9	3.48	16.7	2.82
10.	3.45	38.2	2.92	33.0	2.59	30.7	2.87	37.5	3.51	16.2	2.98
11.	3.33	38.5	3.06	34.2	2.65	32.9	3.30	40.6	3.68	19.0	0.10*
12.	3.86	42.8	2.86	32.7	2.79	32.8	2.78	38.3	3.46	16.3	0.10*
13.	3.45	38.1	3.00	32.5	3.28	37.2	2.78	38.7	3.85	19.7	0.09*
14.	2.75	34.5	2.69	29.2	3.25	35.0	3.24	42.2	3.31	14.9	0.12*
15.	3.24	37.7	3.39	36.2	3.19	35.9	3.19	41.7	3.57	16.8	0.16*
16.	2.45	29.6	2.31	26.6	2.78	32.2	2.95	39.6	0.35*	11.0	0.09*
17.	3.56	40.7	3.02	35.9	2.63	32.3	2.95	38.5	0.25*	50.9	0.10*

N =	150	N =	150
MEAN =	2.86 N	MEAN =	7.14 % (18.2 S)
STD.DEV =	0.51	STD.DEV =	5.13
VAR.COEFF =	17.86 %	VAR.COEFF =	14.37 %
CONF.INTV = +/-	2.89 %	CONF.INTV = +/-	2.32 %
XMIN =	0.97 N	XMIN =	13.3 MM
XMAX =	3.89 N	XMAX =	59.6 MM

RANGE = 102.10 % RANGE = 129.76 %

ON VALUES

	5.		6.		7.		8.		9.		10.	
MM	N	MM	N	MM	N	MM	N	MM	N	MM	N	MM
20.4	2.66	32.4	2.58	38.3	3.45	38.0	2.80	38.2	2.73	35.3	0.97	59.6
44.1	3.30	36.7	2.72	39.6	3.01	34.9	2.79	40.4	2.84	36.4	2.81	36.8
42.4	1.31	13.3	2.71	39.5	3.13	34.8	2.47	38.5	2.90	36.0	0.19*	55.9
40.7	3.37	36.7	2.82	40.1	3.13	35.4	0.11*	55.1	1.42	18.2	0.08*	36.9
31.8	3.12	35.2	2.70	39.5	3.57	41.0	0.11*	41.5	3.61	40.2	2.76	36.9
34.7	3.17	35.0	2.55	35.2	3.62	37.7	2.86	39.9	2.88	35.3	2.93	37.7
7.2*	2.74	32.2	2.61	39.1	2.48	29.1	1.38	24.2	2.77	32.3	2.79	36.9
42.1	3.46	36.3	2.70	41.2	3.15	35.7	2.35	37.8	2.87	34.6	2.55	33.9
39.9	3.48	36.7	2.82	42.0	2.89	35.5	2.57	37.7	2.88	35.3	2.49	34.9
37.5	3.51	36.2	2.98	42.4	2.70	33.8	1.58	27.1	3.07	37.5	2.69	38.3
40.6	3.68	39.0	0.10*	59.1	2.76	33.9	2.77	39.9	3.03	34.7	2.40	35.1
38.3	3.46	36.3	0.10*	33.5	3.09	36.8	2.68	41.9	3.31	38.6	2.68	34.5
38.7	3.85	38.7	0.09*	40.0	3.15	37.5	1.54	26.6	2.98	34.0	2.48	32.8
42.2	3.31	34.9	0.12*	45.0	3.17	35.4	2.51	38.9	2.74	32.6	2.63	34.5
41.7	3.57	36.8	0.16*	56.3	3.89	38.7	2.56	38.0	2.92	36.2	1.60	22.2
39.6	0.35*	41.0	0.09*	41.9	3.22	36.1	2.39	37.3	2.61	34.5	2.19	32.0
38.5	0.25*	50.9	0.10*	51.9	2.85	35.4	2.84	41.6	2.43	30.7	2.55	35.3

150

7.14 % (18.2 S)

5.13

14.37 %

2.32 %

13.3 MM

59.6 MM

129.76 %

RECORD OF BREAKING LOAD AND EXTENSION VALUES

NO. OF RECORD: 2

SPECIMEN:
BA

ZKOUSKA

NOM. COUNT: 29.5 TEX

RANGE: 30 N
 CLAMPING LENGTH: 500 MM
 DET. OF BREAK: 50 %
 LIMITS 1: 0.5 - 30 N
 LIMITS 2: 10 - 80 MM
 N = 150

	1.		2.		3.		4.		5.		6
	N	MM	N	MM	N	MM	N	MM	N	MM	N
1.	3.13	38.6	2.93	36.2	1.55	19.4	2.98	41.5	0.37*	45.8	1.98
2.	0.15*	54.0	2.67	33.3	3.37	38.2	3.04	41.1	3.64	35.4	2.69
3.	2.59	36.2	2.27	27.6	3.19	36.0	0.15*	55.1	3.26	33.8	2.42
4.	2.94	39.3	2.89	34.0	3.73	40.4	2.99	43.0	3.65	36.9	2.55
5.	0.15*	53.2	1.60	19.3	1.39	15.9	3.13	41.9	3.49	36.1	2.76
6.	3.05	40.7	2.90	35.8	2.42	30.5	3.17	41.5	3.40	36.6	2.37
7.	2.66	35.3	3.04	35.2	3.09	34.7	3.01	41.7	2.80	32.0	2.74
8.	2.95	38.4	2.64	32.1	3.01	33.8	3.13	39.2	2.79	32.2	2.67
9.	3.42	40.9	2.73	32.6	3.18	35.9	3.52	41.2	3.00	33.5	2.42
10.	3.49	39.9	2.90	35.3	2.99	33.7	1.42	19.8	3.02	34.7	2.47
11.	3.31	36.8	2.59	30.9	3.34	36.0	3.03	38.8	3.11	35.8	2.32
12.	2.87	35.7	2.46	31.2	3.38	36.6	3.43	40.6	3.37	35.4	2.30
13.	3.07	39.0	1.98	25.3	2.87	35.1	3.45	41.6	2.53	27.4	2.78
14.	3.02	37.4	2.41	28.1	3.01	36.9	2.90	37.0	3.66	38.6	2.75
15.	3.34	38.3	2.71	30.6	3.15	37.9	3.43	41.6	2.64	28.7	2.60
16.	3.13	37.3	2.96	32.6	2.91	33.0	2.98	41.5	3.17	34.5	2.26

N =	150	N =	150
MEAN =	2.90 N	MEAN =	7.23 % (19.0 S)
STD.DEV =	0.48	STD.DEV =	5.47
VAR.COEFF =	16.67 %	VAR.COEFF =	15.13 %
CONF.INTV = +/-	2.69 %	CONF.INTV = +/-	2.45 %
XMIN =	1.27 N	XMIN =	13.4 MM
XMAX =	3.98 N	XMAX =	48.8 MM
RANGE =	93.45 %	RANGE =	97.93 %

BREAKING TENACITY = MN/TEX

VALUES

	5.		6.		7.		8.		9.		10.	
	N	MM	N	MM	N	MM	N	MM	N	MM	N	MM
.5	0.37*	45.8	1.98	31.9	3.48	38.9	2.87	44.9	1.27	16.3	0.11*	57.4
.1	3.64	35.4	2.69	40.7	3.11	34.0	2.99	42.5	3.27	38.8	0.07*	36.9
.1	3.26	33.8	2.42	41.0	3.31	35.1	3.10	44.5	2.56	33.3	2.84	35.4
.0	3.65	36.9	2.55	40.0	3.24	36.3	3.14	42.4	2.76	36.1	2.84	35.9
.9	3.49	36.1	2.76	42.2	2.83	35.4	2.92	42.2	2.24	31.0	3.09	36.3
.5	3.40	36.6	2.37	37.2	3.33	36.4	3.25	42.9	2.19	29.7	0.17*	45.8
.7	2.80	32.0	2.74	42.1	3.29	35.9	3.03	42.4	2.54	34.3	2.73	32.5
.2	2.79	32.2	2.67	43.1	3.58	36.6	2.60	37.4	2.53	34.3	0.15*	54.6
.2	3.00	33.5	2.42	41.3	3.66	36.8	2.80	40.5	2.70	34.6	0.12*	55.6
.8	3.02	34.7	2.47	40.7	3.67	37.2	2.67	40.4	2.69	37.7	2.61	35.0
.8	3.11	35.8	2.32	37.5	3.81	36.2	1.70	29.3	2.76	35.8	2.69	35.3
.6	3.37	35.4	2.30	36.8	3.98	39.7	2.65	39.1	2.59	35.7	2.24	13.4
.6	2.53	27.4	2.78	41.8	3.76	39.2	3.01	39.5	2.68	36.0	2.71	37.2
.0	3.66	38.6	2.75	38.5	3.59	37.4	3.02	42.4	2.51	35.2	3.11	41.8
.6	2.64	28.7	2.60	38.3	3.17	35.6	3.65	40.8	2.79	34.5	2.91	41.0
.5	3.17	34.5	2.26	35.1	3.09	33.4	3.03	40.6	2.64	32.2		

150
.23 % (19.0 S).47
.13 %
.45 %
3.4 MM
3.8 MM
.93 %

DET. OF BREAK% : 50 %
 LIMITS 1: 0.5 - 30 N
 LIMITS 2: 10 - 80 MM
 N = 150

(2nd analysis) 2nd analysis

	1.	2.	3.	4.	5.	6.					
	N	MM	N	MM	N	MM	N	MM	N	MM	N
1.	3.32	36.8	2.38	29.0	2.64	46.2	3.45	42.6	0.22*	44.3	2.39
2.	2.31	23.7	2.50	27.7	2.71	35.7	3.15	38.6	3.41	36.7	1.07
3.	2.99	33.1	2.86	30.5	2.71	33.4	3.07	39.1	3.24	34.0	1.10
4.	3.10	33.8	2.86	31.5	2.65	32.1	2.61	34.2	3.37	32.1	2.87
5.	2.89	33.9	3.32	36.4	2.88	34.2	2.95	36.3	3.32	35.9	2.73
6.	3.07	35.6	2.91	34.0	3.23	36.6	3.04	36.2	3.64	38.8	2.68
7.	3.10	34.7	2.68	31.8	3.16	35.1	3.68	41.0	1.01	10.0	2.67
8.	2.98	33.3	1.44	16.1	3.05	37.4	1.73	22.5	3.24	34.4	2.98
9.	3.10	35.0	3.03	33.6	2.99	34.0	2.73	34.8	3.03	33.7	2.59
10.	2.62	29.8	3.03	33.8	2.82	36.2	2.97	39.4	3.01	34.2	2.89
11.	3.32	35.2	1.05	10.8	3.06	36.6	3.05	40.4	3.07	34.4	1.96
12.	3.24	36.4	3.11	35.5	3.12	36.6	2.92	36.6	3.19	35.6	2.88
13.	2.84	32.5	2.92	32.7	3.18	36.7	2.63	38.4	1.05	9.7*	2.62
14.	2.89	33.3	2.48	30.3	3.02	34.2	3.07	41.9	2.98	34.6	2.59
15.	2.83	32.3	1.01	10.8	3.02	37.4	3.14	40.5	3.66	38.5	2.56
16.	2.83	33.5	3.18	35.2	3.15	37.5					

N =	150	N =	150
MEAN =	2.94 N	MEAN =	7.20 % (21.1 S)
STD.DEV =	0.61	STD.DEV =	6.22
VAR.COEFF =	20.75 %	VAR.COEFF =	17.27 %
CONF.INTV = +/-	3.35 %	CONF.INTV = +/-	2.79 %
XMIN =	1.01 N	XMIN =	10.0 MM
XMAX =	6.74 N	XMAX =	47.7 MM
RANGE =	194.90 %	RANGE =	104.72 %

BREAKING TENACITY = MN/TEX

LIBEREC 27.9

TKI COMPUTING TECHNIQUE

4.

	5.	6.		7.		8.		9.		10.	
MM	N	MM	N	MM	N	MM	N	MM	N	MM	N
42.6	0.22*	44.3	2.39	39.9	3.28	42.9	6.74	39.4	4.88	37.6	2.80
38.6	3.41	36.7	1.07	17.0	3.31	41.2	2.79	37.6	2.66	39.1	2.85
39.1	3.24	34.0	1.10	16.5	3.06	36.0	2.98	41.1	2.98	41.1	2.91
34.2	3.37	32.1	2.87	40.8	2.98	35.4	3.20	41.2	2.97	40.0	3.37
36.3	3.32	35.9	2.73	37.2	3.44	36.5	3.35	44.5	3.31	41.3	0.08*
36.2	3.64	38.8	2.68	37.5	3.26	36.6	2.86	38.5	3.33	39.2	2.95
41.0	1.01	10.0	2.67	37.9	3.72	38.5	3.11	38.9	3.20	37.9	2.92
22.5	3.24	34.4	2.98	41.1	3.54	37.8	2.93	42.8	2.76	37.5	2.86
34.8	3.03	33.7	2.59	38.6	3.41	36.2	2.67	38.7	2.83	37.5	3.16
39.4	3.01	34.2	2.89	41.6	3.70	39.2	2.29	33.2	2.77	36.9	2.80
40.4	3.07	34.4	1.96	29.7	3.23	34.9	3.19	43.2	3.01	39.8	3.34
36.6	3.19	35.6	2.88	40.9	3.65	36.6	3.11	41.1	2.98	38.3	2.43
38.4	1.05	9.7*	2.62	38.7	1.54	18.1	2.80	36.9	2.78	37.5	2.71
41.9	2.98	34.6	2.59	38.7	3.42	35.9	3.21	40.7	3.13	38.9	2.96
40.5	3.66	38.5	2.56	37.7	3.33	37.6	2.67	37.1	2.77	35.0	2.67
											38.9

150

7.20 % (21.1 S)

6.22

17.27 %

2.79 %

10.0 MM

47.7 MM

104.72 %

11

RECORD OF BREAKING LOAD AND EXTENSION VALUES

NO. OF RECORD: 2

SPECIMEN:
BA

ZKOUSKA

NOM. COUNT: 29.5 TEX

RANGE: 30 N
CLAMPING LENGTH: 500 MM
DET. OF BREAK: 50 %
LIMITS 1: 0.5 - 30 N
LIMITS 2: 10 - 80 MM
N = 150

	1.	2.	3.	4.	5.	6.						
	N	MM	N									
1.	2.44	29.1	2.72	31.2	2.98	36.6	3.17	40.4	3.40	36.0	2.33	
2.	2.69	32.3	2.76	32.8	2.88	33.9	3.02	39.3	3.30	34.1	2.41	
3.	2.68	32.6	3.08	35.5	3.11	36.8	3.20	44.8	2.89	20.8	2.61	
4.	2.88	33.4	2.47	30.8	3.09	37.0	1.04	15.9	3.46	38.5	1.20	
5.	3.12	34.7	2.29	27.4	2.74	34.1	3.26	40.6	3.18	34.6	2.90	
6.	1.97	22.8	2.68	29.8	3.03	36.5	3.41	41.6	3.17	34.4	2.92	
7.	3.24	35.9	3.25	35.5	2.50	32.3	3.36	40.1	3.67	38.7	2.68	
8.	3.45	36.1	3.04	33.6	2.99	35.7	1.38	18.8	3.29	34.4	3.11	
9.	2.81	31.6	3.23	33.9	3.47	38.3	3.15	37.5	3.26	33.4	2.83	
10.	3.57	37.9	2.74	30.3	3.45	37.1	2.98	38.9	3.22	36.0	3.04	
11.	3.38	37.6	2.85	31.9	3.50	38.0	3.03	40.3	2.75	30.8	3.00	
12.	3.05	34.9	2.75	31.4	3.04	37.4	2.36	31.9	3.18	32.7	2.93	
13.	3.37	36.1	3.05	34.4	3.00	35.4	3.14	38.5	3.13	33.7	3.55	
14.	2.75	35.5	2.76	31.9	3.24	38.7	3.30	39.6	3.23	33.0	3.15	
15.	3.32	39.9	3.00	35.8	2.58	33.2	3.54	41.0	3.72	38.2	2.79	

N = 150 N = 150
MEAN = 2.96 N MEAN = 7.23 % (20.1 S)
STD.DEV = 0.48 STD.DEV = 5.10
VAR.COEFF = 16.20 % VAR.COEFF = 14.12 %
CONF.INTV = +/- 2.62 % CONF.INTV = +/- 2.28 %
XMIN = 1.04 N XMIN = 15.9 MM
XMAX = 3.72 N XMAX = 45.0 MM
RANGE = 90.54 % RANGE = 80.52 %

VALUES

		5.		6.		7.		8.		9.		10.
MM	N	MM										
40.4	3.40	36.0	2.33	36.2	3.32	36.8	3.07	37.0	3.00	37.8	2.63	39.9
39.3	3.30	34.1	2.41	38.3	3.15	36.3	2.92	38.7	2.45	34.0	2.32	34.5
44.8	2.89	20.8	2.61	39.7	3.20	36.0	3.07	40.0	3.30	41.3	3.07	41.9
15.9	3.46	38.5	1.20	19.6	3.42	38.6	3.21	40.1	3.61	41.6	2.68	37.8
40.6	3.18	34.6	2.90	39.9	2.87	33.4	2.77	36.1	1.37	19.6	2.84	41.8
41.6	3.17	34.4	2.92	41.0	3.21	36.6	1.58	24.3	3.31	40.0	2.63	38.3
40.1	3.67	38.7	2.68	38.5	3.17	36.1	2.22	33.3	3.24	41.1	3.32	44.0
18.8	3.29	34.4	3.11	41.7	3.15	37.1	2.28	32.8	3.36	41.6	1.71	26.7
37.5	3.26	33.4	2.83	38.8	3.13	34.3	2.50	33.8	3.70	43.8	2.93	41.9
38.9	3.22	36.0	3.04	39.1	3.18	36.4	3.17	39.0	3.42	41.1	2.91	39.3
40.3	2.75	30.8	3.00	40.1	3.19	34.1	3.00	37.9	3.31	39.2	3.09	42.6
31.9	3.18	32.7	2.93	40.3	3.32	34.6	3.04	39.9	3.38	39.9	3.09	41.6
38.5	3.13	33.7	3.55	43.9	3.69	40.2	2.87	36.7	3.50	42.8	2.35	34.7
39.6	3.23	33.0	3.15	42.2	3.23	36.0	2.92	38.9	2.93	35.8	2.76	40.4
41.0	3.72	38.2	2.79	39.6	3.34	36.4	3.34	45.0	3.25	39.4	1.64	25.4

150

7.23 % (20.1 S)

5.10

14.12 %

2.28 %

15.9 MM

45.0 MM

80.52 %

RANGE: 30 N
 CLAMPING LENGTH: 500 MM
 DET. OF BREAK: 50 %
 LIMITS 1: 0.5 - 30 N
 LIMITS 2: 10 - 80 MM
 N = 150

	1.	2.	3.	4.	5.	6.							
	N	MM	N	MM	N	MM	N	MM	N	MM	N	MM	N
1.	42.8	2.93	34.2	2.95	41.5	3.19	37.7	6.83	42.0	2.72	35.3	3.0	
2.	3.48	41.6	3.38	35.5	2.87	33.4	3.45	41.9	3.26	37.2	3.11		
3.	3.73	41.2	2.79	33.9	3.05	37.2	1.90	25.3	3.11	34.5	2.52		
4.	3.69	39.7	2.29	28.6	2.91	36.4	2.77	36.4	3.33	39.3	2.65		
5.	3.39	41.2	2.50	31.7	2.93	35.9	3.09	39.0	3.17	26.9	2.82		
6.	3.32	39.3	2.18	28.3	3.19	38.0	3.20	39.5	3.15	36.9	2.69		
7.	1.16	17.2	2.39	26.6	3.31	41.6	1.10	17.1	1.10	12.4	2.41		
8.	3.22	39.3	1.35	13.0	3.02	38.4	3.03	39.2	0.29*	46.8	2.80		
9.	3.49	39.9	2.93	32.2	3.02	37.2	3.20	39.2	0.24*	40.3	2.72		
10.	3.08	37.1	2.21	27.8	3.24	39.6	3.25	41.3	0.23*	40.8	3.09		
11.	3.18	38.6	2.38	27.4	2.54	33.6	3.35	40.8	3.15	34.0	1.19		
12.	3.14	36.0	2.65	31.6	2.78	35.8	2.77	35.3	2.89	33.2	2.53		
13.	3.48	39.7	3.13	32.4	3.31	36.9	3.06	35.9	3.18	35.0	2.79		
14.	3.15	37.2	2.65	28.6	3.33	38.1	3.09	36.5	3.04	35.0	2.83		
15.	3.28	37.5	3.02	33.3	3.10	36.6	3.30	38.5	2.89	28.5	2.78		
16.	2.33	27.5	3.11	33.2	3.09	37.6	3.71	42.3	3.45	38.1	2.71		

N =	150	N =	150
MEAN =	2.88 N	MEAN =	7.16 % (19.6 S)
STD.DEV =	0.65	STD.DEV =	6.67
VAR.COEFF =	22.39 %	VAR.COEFF =	18.62 %
CONF.INTV = +/-	3.62 %	CONF.INTV = +/-	3.01 %
XMIN =	1.10 N	XMIN =	12.4 MM
XMAX =	6.83 N	XMAX =	45.2 MM
RANGE =	198.96 %	RANGE =	91.65 %

BREAKING TENACITY = MN/TEX

LIBEREC C

TKI COMPUTING TECHNIQUE

	5.	6.	7.	8.	9.	10.				
	N	MM	N	MM	N	MM	N	MM	N	MM
0	2.72	35.3	3.01	42.0						
3.26	37.2	3.11	43.7	3.02	35.1	2.60	37.9	2.71	33.9	2.86
3.11	34.5	2.52	36.9	3.38	39.9	2.69	39.5	2.93	37.0	2.85
3.33	39.3	2.65	39.4	3.31	37.2	2.45	36.0	2.92	35.7	3.23
3.17	26.9	2.82	41.4	1.23	15.9	2.20	34.1	2.56	32.5	0.25*
3.15	36.9	2.69	39.6	3.27	37.6	3.32	43.0	2.66	33.2	3.00
1.10	12.4	2.41	38.3	3.08	34.5	1.53	22.8	2.90	35.2	2.68
0.29*	46.8	2.80	39.3	2.71	35.2	3.47	43.5	2.81	35.8	3.02
0.24*	40.3	2.72	39.7	3.28	37.9	3.15	39.3	2.50	35.0	2.99
0.23*	40.8	3.09	42.0	3.42	39.2	0.24*	33.0	2.60	33.8	3.45
3.15	34.0	1.19	19.5	3.61	40.4	2.95	40.9	2.58	34.1	3.24
2.89	33.2	2.53	40.6	3.73	40.3	0.23*	9.8*	2.62	33.1	3.27
3.18	35.0	2.79	43.7	2.92	33.1	2.75	37.8	3.13	37.1	2.86
3.04	35.0	2.83	42.0	1.27	15.4	2.59	36.1	2.85	35.4	3.00
2.89	28.5	2.78	43.2	1.39	15.7	3.05	44.5	2.72	33.6	1.45
3.45	38.1	2.71	42.0							

% (19.6 S)

%
%
MM
MM
%

(číslo sítě) - 3

RECORD OF BREAKING LOAD AND EXTENSION VALUES

NO. OF RECORD: 3

SPECIMEN:

BA

ZK

NOM. COUNT: 29.5 TEX

RANGE: 30 N
CLAMPING LENGTH: 500 MM
DET. OF BREAK: 50 %
LIMITS 1: 0.5 - 30 N
LIMITS 2: 10 - 80 MM
N = 150

	1.	2.	3.	4.	5.	6.
	N	MM	N	MM	N	MM
1.	3.63	39.8	3.27	34.6	3.16	35.3
2.	2.72	32.8	3.45	36.4	3.15	35.5
3.	3.53	41.9	3.33	33.0	3.30	38.3
4.	2.96	38.3	3.06	29.5	2.54	30.8
5.	3.12	39.5	3.41	34.2	3.03	34.6
6.	2.94	36.9	2.34	25.9	3.07	36.4
7.	2.99	36.2	2.67	30.7	3.06	35.9
8.	1.70	22.8	2.81	33.2	2.80	33.8
9.	3.11	40.0	3.05	31.5	3.15	38.1
10.	3.24	40.6	2.76	31.3	2.85	35.9
11.	2.99	39.5	1.72	18.5	3.17	37.4
12.	2.77	37.9	2.98	30.3	2.80	33.5
13.	0.33*	39.5	2.79	31.1	3.30	37.7
14.	2.67	37.3	2.55	28.8	3.75	40.6
15.	2.55	33.3	3.06	33.6	3.73	39.9
16.	1.70	22.1	2.91	31.0	3.59	38.7
17.	2.88	36.1			3.22	38.9

N = 150 N = 150
MEAN = 2.89 N MEAN = 7.26 % (18.8 S)
STD.DEV = 0.52 STD.DEV = 6.19
VAR.COEFF = 17.85 % VAR.COEFF = 17.05 %
CONF.INTV = +/- 2.88 % CONF.INTV = +/- 2.76 %
XMIN = 1.00 N XMIN = 10.7 MM

XMAX = 3.90 N XMAX = 57.6 MM
RANGE = 100.35 % RANGE = 129.13 %

BREAKING TENACITY = MN/TEX

5.		6.		7.		8.		9.		10.	
N	MM	N	MM	N	MM	N	MM	N	MM	N	MM
5.39	36.9	2.71	40.4	3.68	39.5	0.19*	50.2	3.02	39.3	2.74	43.1
5.05	36.9	2.84	40.8	3.58	39.1	1.47	27.7	2.84	36.7	1.70	27.8
5.35	43.2	3.02	43.7	3.29	35.9	2.46	36.9	2.72	35.6	2.48	37.1
5.33*	43.1	2.63	39.0	3.17	37.9	2.83	41.3	2.88	34.6	0.09*	24.4
5.21*	40.3	2.70	40.2	3.23	39.2	2.20	34.6	3.11	36.4	2.94	41.5
5.19*	39.7	3.12	40.9	2.57	31.7	0.16*	56.3	3.03	37.0	2.83	39.6
5.21*	50.1	2.89	41.6	3.00	38.5	2.31	35.9	2.74	33.8	2.75	40.5
5.95	34.2	2.96	42.2	3.33	37.6	2.17	33.6	2.91	36.8	2.98	39.8
5.39	37.3	2.80	42.1	3.26	36.8	2.60	38.3	3.25	38.2	3.26	41.7
5.99	34.1	1.24	22.0	3.24	36.2	3.02	44.7	3.02	37.4	3.51	45.0
5.18	35.1	2.52	40.4	2.93	34.5	3.04	41.7	2.56	31.6	3.54	43.3
5.00	10.7	2.56	40.5	2.89	35.2	0.17*	35.8	2.65	34.1	3.41	42.4
5.93	32.6	2.69	41.2	1.09	13.4	2.60	36.5	2.87	35.5	2.87	40.7
5.29*	58.9	2.33	12.1	2.89	35.2	2.49	38.6	3.20	36.0	3.07	43.4
5.26*	39.5	1.39	57.6	1.27	15.0	2.35	35.6	3.19	36.7	2.75	40.2
5.94	35.2	2.79	40.0	3.30	35.8	2.54	38.6	3.12	36.7	2.81	41.0

(S polsky) . & analog
RECORD OF BREAKING LOAD AND EXTENSION VALUES

NO. OF RECORD: 1

SPECIMEN:
BA

ZKOUSKA 7

NOM. COUNT: 29.5 TEX

RANGE: 30 N
CLAMPING LENGTH: 500 MM
DET. OF BREAK: 50 %
LIMITS 1: 0.5 - 30 N
LIMITS 2: 10 - 80 MM
N = 150

	1.	2.	3.	4.	5.	6.					
	N	MM	N	MM	N	MM					
1.	2.95	35.1	0.46*	30.9	1.13	14.5	2.68	37.8	3.09	35.3	2.57
2.	3.15	34.2	2.57	31.3	3.29	38.2	2.71	36.5	3.40	38.4	3.11
3.	3.28	35.1	2.90	32.0	2.71	34.7	3.18	41.9	2.87	32.3	3.10
4.	2.91	33.2	2.63	32.0	3.02	38.3	3.22	41.7	2.94	33.6	3.11
5.	3.20	36.0	2.35	29.1	2.98	37.1	3.13	41.2	3.32	36.4	2.99
6.	3.24	33.3	2.68	30.2	1.93	26.3	3.21	43.1	3.66	38.0	3.02
7.	3.40	35.5	2.64	27.9	3.19	40.3	2.97	40.7	3.12	35.3	3.02
8.	3.45	37.7	2.47	27.8	3.37	39.5	3.02	41.9	6.86	39.2	3.12
9.	2.86	33.7	2.39	25.9	3.70	41.4	3.09	39.8	3.38	36.7	2.84
10.	1.75	20.1	2.53	28.9	3.05	36.5	2.89	36.9	3.68	40.7	3.04
11.	2.90	33.0	3.07	33.4	3.62	40.3	3.50	40.6	3.33	36.2	3.27
12.	0.21*	43.5	3.11	34.1	2.91	34.7	2.78	35.2	3.01	35.1	2.90
13.	0.08*	39.2	3.17	32.5	3.12	38.8	2.72	36.2	3.30	38.2	2.88
14.	0.52	46.3	3.11	32.2	3.33	39.7	3.05	40.1	3.32	39.9	2.94
15.	0.13*	38.4	3.50	38.1	3.22	37.6	3.39	43.7	2.57	31.1	2.87
16.	1.40	25.7	3.07	33.1	3.20	37.0	3.22	42.2	3.23	35.9	

N =	150	N =	150
MEAN =	3.05 N	MEAN =	7.56 % (24.2 S)
STD.DEV =	0.73	STD.DEV =	5.55
VAR.COEFF =	23.94 %	VAR.COEFF =	14.68 %
CONF.INTV = +/-	3.87 %	CONF.INTV = +/-	2.37 %
XMIN =	0.52 N	XMIN =	14.5 MM
XMAX =	8.38 N	XMAX =	48.2 MM

RANGE = 257.70 % RANGE = 89.15 %

BREAKING TENACITY = MN/TEX

VALUES

		5.		6.		7.		8.		9.		10.	
MM	N	MM	N	MM	N	MM	N	MM	N	MM	N	MM	N
37.8	3.09	35.3	2.57	39.7	2.81	34.6	2.28	35.1	8.38	29.5	2.94	40.1	
36.5	3.40	38.4	3.11	45.9	3.18	36.2	1.13	22.0	3.30	40.7	2.77	40.5	
41.9	2.87	32.3	3.10	43.8	3.43	40.2	2.34	36.5	3.34	40.3	2.86	40.6	
41.7	2.94	33.6	3.11	42.1	3.52	40.3	3.07	42.4	1.86	25.2	2.73	40.0	
41.2	3.32	36.4	2.99	40.6	0.26*	37.5	2.81	42.3	3.27	39.6	3.19	45.5	
43.1	3.66	38.0	3.02	42.6	3.28	37.4	3.19	42.5	3.06	37.6	3.21	44.0	
40.7	3.12	35.3	3.02	43.0	3.20	38.2	2.75	38.1	2.90	36.8	1.45	24.3	
41.9	6.86	39.2	3.12	44.5	3.34	37.9	2.72	39.6	2.98	37.5	3.47	48.2	
39.8	3.38	36.7	2.84	40.7	3.27	40.7	3.29	43.7	3.39	39.3	2.93	46.2	
36.9	3.68	40.7	3.04	45.6	3.61	41.6	3.42	45.9	3.98	43.7	2.81	42.3	
40.6	3.33	36.2	3.27	46.7	3.26	34.7	2.98	42.9	2.92	35.7	2.79	45.3	
35.2	3.01	35.1	2.90	43.2	3.41	40.5	3.03	40.6	2.41	32.5	2.83	41.5	
36.2	3.30	38.2	2.88	42.8	3.61	39.1	3.01	37.5	3.28	39.1	3.15	44.5	
40.1	3.32	39.9	2.94	43.8	2.89	35.6	3.57	45.8	3.46	40.0	3.33	44.6	
43.7	2.57	31.1	2.87	43.5	3.32	39.1	3.24	42.3	3.18	38.4	2.91	41.2	
42.2	3.23	35.9											

150
 7.56 % (24.2 S)
 5.55
 14.68 %
 2.37 %
 14.5 MM
 48.2 MM

89.15 %

Príloha 4: Určenie počtu dielikov pre výpočet pritlačnej sily telesa návinu na hrot
prístroja E-KVÚ v radiálnom smere

i	r_i [mm]	Δl_{i1}	Δl_{i2}	Δl_{i3}	Δl_{i4}	Δl_{i5}	Δl_{i6}	Δl_{i7}	Δl_{i8}	$\Delta \bar{l}_i$ [1]
1	32	5,6	5,8	7,2	5,5	6,6	7,5	7,4	7,1	6,575
2	36	3,5	4,6	5,0	5,4	3,7	6,0	4,9	5,5	4,825
3	40	2,9	3,9	3,7	3,3	4,0	4,6	4,9	3,8	3,888
4	44	3,0	3,2	3,7	3,5	2,9	4,0	3,2	3,2	3,338
5	48	3,2	2,4	2,8	3,2	2,9	3,4	2,6	3,5	3,000
6	52	3,2	3,0	2,5	3,0	2,2	3,4	3,2	3,3	2,975
7	56	2,4	3,0	2,5	2,7	2,3	3,1	3,0	2,3	2,663
8	60	2,3	2,6	2,5	2,7	2,5	2,8	2,2	2,5	2,513
9	64	2,3	2,6	2,3	2,7	2,2	2,5	2,3	2,7	2,450
10	68	2,2	2,6	2,2	2,5	2,4	2,7	2,2	2,7	2,438
11	72	2,2	2,1	2,2	2,0	2,4	2,7	2,5	2,3	2,300
12	76	2,0	2,2	2,2	2,3	2,3	2,7	2,0	2,3	2,250
13	80	1,9	2,3	1,9	2,0	2,2	2,0	2,2	2,1	2,075
14	84	1,8	2,5	2,2	2,2	2,3	2,3	1,9	2,0	2,150
15	88	1,7	1,7	2,2	2,1	2,3	2,1	1,9	2,0	2,000
16	92	2,0	1,7	2,0	2,1	1,6	1,9	1,8	1,5	1,825
17	96	1,5	1,7	1,6	1,7	1,4	1,8	1,5	1,5	1,588

Data cievyky:
 $r_2 = 100,5$ mm
 $h_{vp} = 34$ mm
 $d_{vp} = 1,8$ mm

$\beta_{vp} = 90^\circ$
 $\Delta r = 4$ mm

$T = 29,79$ tex
 $MN = 108$ zbov

VYSOKA SKOLA STROJNÍ A TEXTILNÍ
KATEDRA PRÁDELNICTVÍ A EKONOMIKY
L I B E R E C

(8 okruhy) č. odolnosti

RECORD OF BREAKING LOAD AND EXTENSION VALUES

NO. OF RECORDS: 2

SPECIMEN:
BA

ZKOUSKA 7

NOM. COUNT: 29.5 TEX

RANGE: 30 N
CLAMPING LENGTH: 500 MM
DET. OF BREAK: 50 %
LIMITS 1: 0.5 - 30 N
LIMITS 2: 10 - 80 MM
N = 150

	1.	2.	3.	4.	5.	6.					
	N	MM	N								
1.	3.05	33.9	3.30	34.5	3.51	41.5	3.41	43.5	3.41	35.1	1.07
2.	3.32	36.5	3.33	34.1	2.75	35.8	2.92	37.8	3.40	35.8	2.33
3.	2.82	32.9	3.00	29.6	2.70	36.8	2.97	39.1	3.33	35.0	3.04
4.	2.95	35.1	2.76	29.1	3.00	38.3	3.22	40.1	3.45	36.0	2.94
5.	3.15	35.7	1.05	9.6*	2.82	36.2	3.07	39.7	3.09	35.9	3.03
6.	3.63	38.1	3.15	34.2	3.14	38.7	2.85	40.1	3.49	38.7	3.03
7.	3.55	38.8	2.97	33.3	2.97	38.1	3.17	41.0	3.00	34.2	2.98
8.	1.78	19.6	3.00	32.4	2.81	35.8	3.04	42.6	3.39	39.2	2.65
9.	3.32	36.3	2.61	28.3	3.36	39.6	3.35	43.1	3.70	40.1	2.91
10.	3.17	37.5	3.09	33.7	3.26	39.7	3.20	40.3	3.64	37.9	2.34
11.	2.04	19.8	3.04	32.7	3.44	40.8	3.40	42.7	3.68	40.9	2.66
12.	2.60	32.1	3.06	31.9	3.15	38.6	3.49	42.2	3.62	38.4	2.88
13.	2.73	31.7	3.21	28.9	2.72	34.6	3.68	41.7	3.43	35.6	2.90
14.	3.36	35.9	2.69	27.2	3.20	40.4	3.85	43.1	3.17	35.8	2.83
15.	1.73	18.8	3.28	35.2	3.35	40.3	2.09	27.7	3.45	35.6	3.00
16.	3.62	36.7	3.20	34.8							

N =	150	N =	150
MEAN =	3.00 N	MEAN =	7.51 % (22.3 S)
STD.DEV =	0.50	STD.DEV =	5.99
VAR.COEFF =	16.73 %	VAR.COEFF =	15.94 %
CONF.INTV = +/-	2.70 %	CONF.INTV = +/-	2.58 %
XMIN =	1.07 N	XMIN =	14.9 MM
XMAX =	4.01 N	XMAX =	49.9 MM

RANGE = 98.00 % RANGE = 93.16 %

IN VALUES

		5.		6.		7.		8.		9.		10.	
		N	MM	N	MM								
5	3.41	35.1	1.07	18.6	3.08	36.7	2.93	42.2	2.20	49.9	2.98	41.1	
8	3.40	35.8	2.33	34.7	2.94	34.9	2.59	38.4	3.79	43.4	3.02	44.0	
1	3.33	35.0	3.04	43.3	3.06	36.0	2.65	39.7	3.47	39.7	0.22*	46.2	
1	3.45	36.0	2.94	46.4	2.68	35.7	2.83	40.8	3.62	42.4	1.30	22.3	
7	3.09	35.9	3.03	45.6	3.02	38.2	2.58	38.8	3.69	41.0	3.32	46.4	
1	3.49	38.7	3.03	45.0	3.02	36.5	3.24	45.9	3.93	42.8	2.91	41.4	
0	3.00	34.2	2.98	41.8	2.92	38.7	2.79	40.3	4.01	42.2	2.95	42.2	
6	3.39	39.2	2.65	40.2	3.18	40.4	2.97	41.9	3.55	41.4	2.62	37.6	
1	3.70	40.1	2.91	40.4	1.51	20.6	3.23	45.7	3.00	35.8	2.61	40.5	
3	3.64	37.9	2.34	33.2	3.01	36.8	2.99	44.3	3.39	39.4	2.92	44.5	
7	3.68	40.9	2.66	38.5	1.14	14.9	2.90	42.0	3.48	41.1	1.28	21.6	
2	3.62	38.4	2.88	43.9	2.58	32.5	2.60	38.7	2.82	33.5	2.99	42.8	
7	3.43	35.6	2.90	45.1	3.33	39.5	2.69	40.9	3.39	41.1	2.72	40.2	
1	3.17	35.8	2.83	46.2	3.37	38.6	3.02	43.3	2.87	37.4	2.81	42.8	
7	3.45	35.6	3.00	45.8	3.08	35.7	2.84	36.5	2.80	36.3	2.56	43.2	

50
 51 % (22.3 S)
 99
 94 %
 58 %
 19 MM
 19 MM

6 %

Príloha 4: Určenie počtu dielikov pre výpočet pritlačnej sily telesa návinu na hrot
 pristroja E-KVÚ v radiálnom smere

i	r [mm]	Δl_{i1}	Δl_{i2}	Δl_{i3}	Δl_{i4}	Δl_{i5}	Δl_{i6}	Δl_{i7}	Δl_{i8}	$\bar{\Delta} l_i [1]$
1	32	4,3	4,6	6,0	7,0	7,6	5,6	7,5	6,0	6,0750
2	36	3,8	3,8	4,2	4,2	4,3	4,3	5,0	5,9	4,4375
3	40	3,8	2,6	3,3	3,4	3,2	3,0	4,5	3,7	3,4375
4	44	3,2	2,6	2,5	2,8	2,8	2,4	2,7	3,1	2,7625
5	48	3,0	2,6	2,5	2,6	2,4	2,4	2,7	2,8	2,6250
6	52	2,8	2,0	2,3	2,2	2,2	2,2	2,4	2,5	2,3375
7	56	2,7	2,4	2,0	2,0	2,2	2,2	2,4	2,0	2,2750
8	60	2,3	1,8	2,0	2,0	2,1	2,3	2,4	1,8	2,1250
9	64	2,2	1,8	2,0	2,1	2,3	2,2	1,8	2,1	2,0625
10	68	1,8	1,6	1,8	2,3	1,8	2,0	1,8	1,9	1,8750
11	72	1,4	1,6	1,9	1,8	2,0	1,8	1,7	1,9	1,7652
12	76	1,3	1,6	1,3	1,8	1,8	1,4	1,6	1,6	1,5500
13	80	1,3	1,2	1,3	1,4	1,4	1,3	1,6	1,4	1,3625
14	84	0,4	0,8	0,8	1,0	0,8	0,9	1,0	0,7	0,8000

Data cievky:
 $r_2 = 86,5 \text{ mm}$
 $h_{vp} = 34 \text{ mm}$
 $d_{vp} = 1,8 \text{ mm}$

$\beta_{vp} = 90$
 $\Delta r = 4 \text{ mm}$
 $T = 29,79 \text{ tex}$
 $M_N = 108 \text{ zubov}$

Príloha 4: Určenie počtu dielikov pre výpočet prítlačnej sily telesa návinu na hrot
prístroja E-KVÚ v radiálnom smere

i	r [mm]	Δl_{i1}	Δl_{i2}	Δl_{i3}	Δl_{i4}	Δl_{i5}	Δl_{i6}	Δl_{i7}	Δl_{i8}	$\bar{\Delta l}_i [1]$
1	32	8,9	11,2	10,9	9,5	8,2	10,2	9,1	9,5	9,6875
2	36	7,6	7,2	5,8	6,8	6,8	5,9	5,9	6,5	6,5025
3	40	5,4	5,9	3,5	4,4	5,8	4,1	4,5	5,0	4,8250
4	44	9,3	9,5	3,3	3,2	3,4	3,9	3,9	4,1	3,8250
5	48	3,0	3,9	3,1	3,2	3,4	3,3	3,8	3,0	3,3375
6	52	3,0	2,4	2,8	2,8	3,2	3,2	3,0	3,0	2,9250
7	56	3,0	2,6	2,3	3,2	3,3	2,9	3,2	3,0	2,9357
8	60	3,0	2,5	2,0	2,0	2,1	2,4	2,7	2,8	2,4375
9	64	1,9	2,5	2,3	2,2	2,1	2,4	2,6	2,2	2,2750
10	68	1,7	2,3	2,2	2,2	1,8	2,2	2,2	2,0	2,0750
11	72	1,7	2,3	1,5	2,2	2,2	2,2	2,0	1,7	1,9750
12	76	1,6	2,0	1,4	1,5	2,0	1,7	1,8	1,7	1,7185
13	80	1,5	1,7	1,4	1,5	2,0	1,6	1,0	1,7	1,5500
14	84	0,7	1,0	0,8	0,9	1,1	1,0	0,9	1,2	0,9500

Data cievky: $r_2 = 86 \text{ mm}$
 $h_{vp} = 34 \text{ mm}$
 $d_{vp} = 1,8 \text{ mm}$

$\beta_{vp} = 90^\circ$

$\Delta r = 4 \text{ mm}$
 $T = 29,79 \text{ tex}$
 $MN = 108 \text{ zubov}$

Príloha 5: Hodnoty modulu pružnosti v radiálnom smere

r [mm]	l [mm]	h_0 [mm]	h_1 [mm]	h_v [mm]	$h_{\dot{v}}$ [mm]	\dot{h}_v [mm]	E_r [MPa]
34	89	20,13	14,79	5,34	4,355	0,871	1,799
		20,73	15,41	5,32	4,335	0,867	1,808
		31,65	15,55	6,10	5,115	1,023	1,534
		21,77	16,35	5,42	4,435	0,887	1,768
48	87	14,53	5,17	9,36	8,375	1,675	0,959
		17,14	6,38	10,76	9,775	1,955	0,823
		11,74	3,88	7,76	6,775	1,355	1,184
		10,51	4,94	5,57	4,585	0,917	1,746
68	84	17,85	7,72	10,13	9,145	1,829	1,958
		23,83	6,68	17,15	16,165	3,233	0,517
		21,67	7,35	14,32	13,335	2,667	0,625
		20,03	7,82	12,21	11,225	2,245	0,741
86	82	22,96	5,94	17,02	16,035	3,207	0,532
		21,08	2,60	18,48	17,035	3,407	0,501
		19,91	2,99	16,92	15,935	3,187	0,535
		18,75	2,02	16,73	15,745	3,149	0,542